

4

Del M-10.1 al M-35.8

MODELOS CORPÓREOS



UNIVERSIDAD DE SEVILLA



601280225

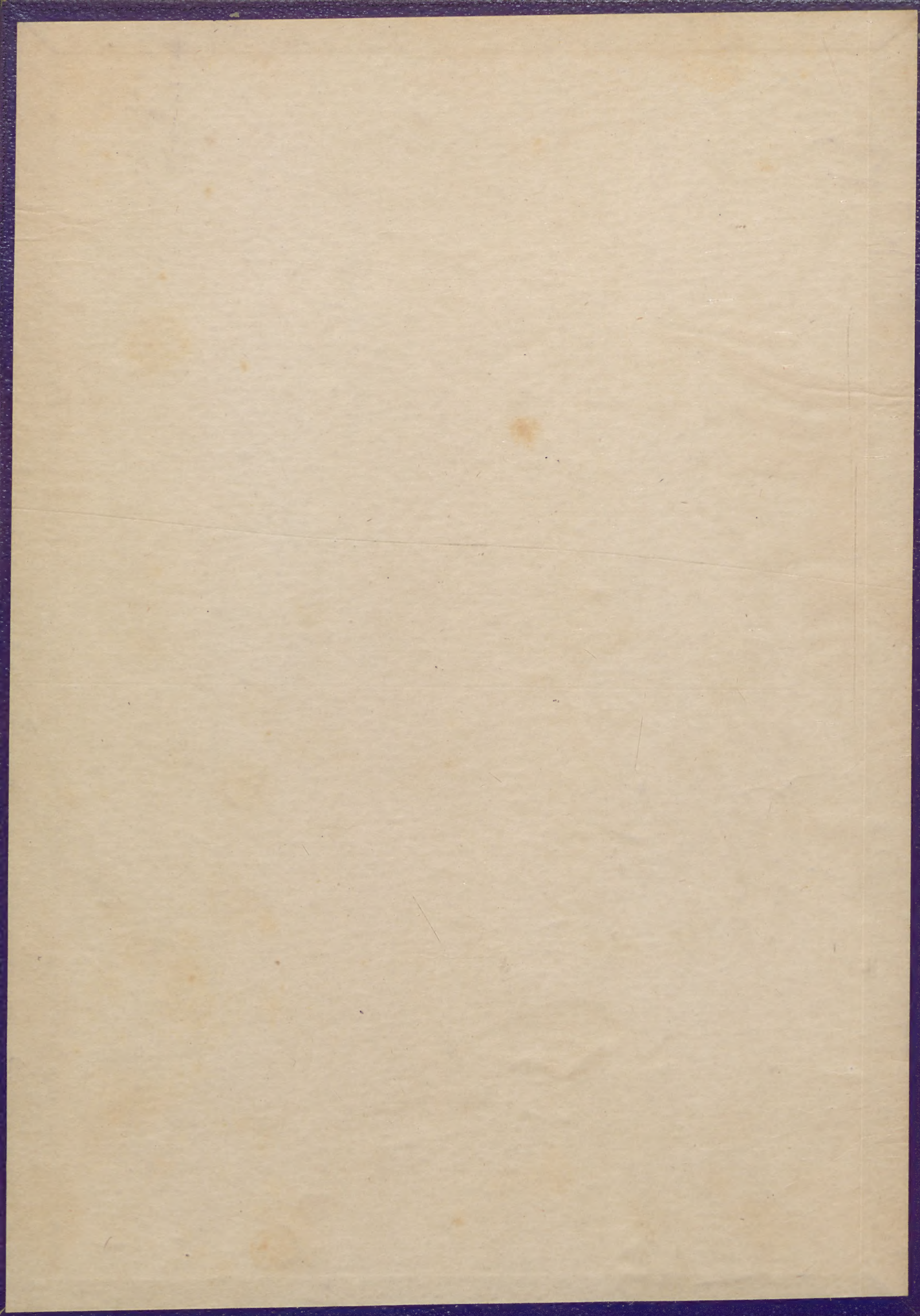
UNIVERSIDAD DE SEVILLA
Facultad de Matemáticas
Biblioteca

127382

i. 3121 09 03

- Bib. -

C
TAP/006



EJECUTADO

MODELO CORPÓREO DEL DODECAEDRO REGULAR

CONVEXO, CONJUGADO DE UN ICOSAEDRO REGULAR

CONVEXO, (GENERADOR) SIENDO LOS VÉRTICES DEL

PRIMERO, LOS CENTROS DE LAS CARAS DEL SE-

GUNDO.- EL ICOSAEDRO GENERADOR, SERÁ DE CARAS

VACIADAS, Y EL DODECAEDRO GENERADO, DE CA-

RAS MACIZAS.

Radio de la esfera circunscrita al icosaedro
generador:

$$r_{ec}^{20} = 76.1 \text{ m m.}$$

ENUNCIADO: Construir el modelo corpóreo del dodecaedro regular convexo, conjugado de un icosaedro regular convexo generador, siendo los vértices del primero, los centros de las caras del segundo. El icosaedro generador, se construirá con sus caras vaciadas, y el dodecaedro generado, con sus caras macizas.

DATO ÚNICO DE ESTE EJERCICIO:

r_{ec}^{20} = Radio de la esfera circunscrita al icosaedro generador:

$$r_{ec}^{20} = 76.1 \text{ mm}$$

En los ejercicios G.E. n^{os} ---- Láminas 6 al 10, hemos estudiado la representación de los poliedros conjugados de los regulares convexos, en los que las aristas de los primeros son los segmentos rectilíneos obtenidos al unir los centros de dos caras contiguas de los poliedros regulares generadores.

Los poliedros conjugados son a su vez poliedros regulares convexos, y según se dedujo de dicho estudio, el dodecaedro e icosaedro regulares convexos, son mutuamente conjugados; (cada uno lo es del otro). Igualmente son mutuamente conjugados el exaedro y octaedro regulares convexos, el tetraedro regular es conjugado de sí mismo.

También obtuvimos en los mencionados ejercicios G.E. n^{os} ----

<p>100</p>	<p>100</p>	<p>100</p>
<p>100</p>	<p>100</p>	<p>100</p>

Láminas 6 al 10, los valores analíticos de las magnitudes de los poliedros conjugados, en función de los respectivos poliedros generadores, cuyos valores no servirán para la construcción de los modelos correspondientes.

Para la construcción de este modelo M-10.1, calcularemos previamente las siguientes magnitudes, en función del único dato del problema (radio r_{ec}^{20} de la esfera circunscrita al icosaedro generador).

1) Arista " a_{20} " del icosaedro generador (en función de r_{ec}^{20})

Se deduce de la fórmula " $r_{ec}^{20} = \frac{\sqrt{10+2\sqrt{5}}}{4} a_{20}$ ", obtenida en el ejercicio G.E. n°... Lámina 5. Despejando en ella " a_{20} ", tendremos:

$$\begin{aligned} a_{20} &= r_{ec}^{20} : \frac{\sqrt{10+2\sqrt{5}}}{4} = 1 : \frac{\sqrt{10+2\sqrt{5}}}{4} r_{ec}^{20} = \frac{4}{\sqrt{10+2\sqrt{5}}} r_{ec}^{20} = \\ &= \sqrt{\frac{16}{10+2\sqrt{5}}} r_{ec}^{20} = \sqrt{\frac{8}{5+\sqrt{5}}} r_{ec}^{20} = 2 \times \sqrt{\frac{2}{5+\sqrt{5}}} r_{ec}^{20} = 2 \times \sqrt{\frac{2(5-\sqrt{5})}{20}} r_{ec}^{20} \\ &= \boxed{2 \times \sqrt{\frac{5-\sqrt{5}}{10}}} r_{ec}^{20} \quad (1) \end{aligned}$$

2) Arista " a'_{12} " del dodecaedro conjugado

Se deduce de la fórmula " $a'_{12} = \frac{\sqrt{5}+1}{6} a_{20}$ " (ver fórmula

(2) del ejercicio G.E. n°... Lámina 10), substituyendo en ella el

The first part of the paper is devoted to a discussion of the general principles of the theory of the structure of the atom. It is shown that the structure of the atom is determined by the laws of quantum mechanics, and that the laws of quantum mechanics are in agreement with the experimental facts.

The second part of the paper is devoted to a discussion of the application of the theory of the structure of the atom to the study of the properties of the elements of the periodic table. It is shown that the theory of the structure of the atom can be used to explain the periodicity of the properties of the elements, and that it can be used to predict the properties of the elements which have not yet been discovered.

The third part of the paper is devoted to a discussion of the application of the theory of the structure of the atom to the study of the properties of the compounds of the elements. It is shown that the theory of the structure of the atom can be used to explain the properties of the compounds of the elements, and that it can be used to predict the properties of the compounds which have not yet been discovered.

The fourth part of the paper is devoted to a discussion of the application of the theory of the structure of the atom to the study of the properties of the solutions of the elements. It is shown that the theory of the structure of the atom can be used to explain the properties of the solutions of the elements, and that it can be used to predict the properties of the solutions which have not yet been discovered.

The fifth part of the paper is devoted to a discussion of the application of the theory of the structure of the atom to the study of the properties of the solids of the elements. It is shown that the theory of the structure of the atom can be used to explain the properties of the solids of the elements, and that it can be used to predict the properties of the solids which have not yet been discovered.

The sixth part of the paper is devoted to a discussion of the application of the theory of the structure of the atom to the study of the properties of the liquids of the elements. It is shown that the theory of the structure of the atom can be used to explain the properties of the liquids of the elements, and that it can be used to predict the properties of the liquids which have not yet been discovered.

valor (1), tendremos:

$$\begin{aligned}
 \boxed{a'_{12}} &= \frac{1+\sqrt{5}}{6} a_{20} = \frac{1+\sqrt{5}}{6} \times 2 \sqrt{\frac{5-\sqrt{5}}{10}} r_{ec}^{20} = \frac{1}{3} (1+\sqrt{5}) \times \sqrt{\frac{5-\sqrt{5}}{10}} r_{ec}^{20} = \\
 &= \frac{1}{3} \sqrt{\frac{5-\sqrt{5}}{10} \times (1+\sqrt{5})^2} r_{ec}^{20} = \frac{1}{3} \sqrt{\frac{5-\sqrt{5}}{10} \times (1+5+2\sqrt{5})} r_{ec}^{20} = \\
 &= \frac{1}{3} \sqrt{\frac{(5-\sqrt{5})(6+2\sqrt{5})}{10}} r_{ec}^{20} = \frac{1}{3} \times \sqrt{\frac{(5-\sqrt{5})(3+\sqrt{5})}{5}} r_{ec}^{20} = \\
 &= \frac{1}{3} \sqrt{\frac{15-3\sqrt{5}+5\sqrt{5}-5}{5}} r_{ec}^{20} = \boxed{\frac{1}{3} \times \sqrt{\frac{10+2\sqrt{5}}{5}} r_{ec}^{20}} \quad (2)
 \end{aligned}$$

3) Radio " r_{i-3} " de la circunferencia inscrita al triángulo equilátero de una cara del icosaedro generador

Se obtiene de la fórmula " $r_{i-3} = \frac{\sqrt{3}}{6} a_{20}$ " (ver fórmula (3) del ejercicio G.P. 1.400-42).:- Sustituyendo en ésta el valor (1), tendremos:

$$\begin{aligned}
 \boxed{r_{i-3}} &= \frac{\sqrt{3}}{6} a_{20} = \frac{\sqrt{3}}{6} \times 2 \sqrt{\frac{5-\sqrt{5}}{10}} r_{ec}^{20} = \frac{\sqrt{3}}{3} \times \sqrt{\frac{5-\sqrt{5}}{10}} r_{ec}^{20} = \\
 &= \frac{1}{3} \sqrt{\frac{5-\sqrt{5}}{10} \times 3} r_{ec}^{20} = \boxed{\frac{1}{3} \times \sqrt{\frac{15-3\sqrt{5}}{10}} r_{ec}^{20}} \quad (3)
 \end{aligned}$$

Las fórmulas (1), (2) y (3), aplicadas al caso particular estudiado, nos dan los siguientes resultados numéricos:

Calcular

Marzo 1981

$$d_{20} = 2 \times \sqrt{\frac{5-\sqrt{5}}{10}} r_{ec}^{20} \approx 1,051462224... \times 76,1 \approx 80,0 \text{ mm} \quad (1)$$

$$d'_{12} = \frac{1}{3} \times \sqrt{\frac{10+2\sqrt{5}}{5}} r_{ec}^{20} \approx 0,567100539... \times 76,1 \approx 43,2 \text{ mm} \quad (2)$$

$$r_{i-3} = \frac{1}{3} \times \sqrt{\frac{15-3\sqrt{5}}{10}} r_{ec}^{20} \approx 0,303530999... \times 76,1 \approx 23,1 \text{ mm} \quad (3)$$

La magnitud (3) nos permite efectuar la fijación de los vértices del icosaedro conjugado, mediante su unión material de los mismos a los puntos medios de las aristas del icosaedro generador.

Para la construcción de este modelo, son necesarias las siguientes piezas:

A) ICOSAEDRO GENERADOR DE CARAS VACIADAS

PIEZA N° 1

CARAS SUPERFICIALES

20 unidades

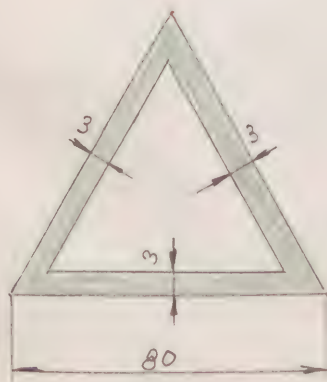


Figura 1

La forma y dimensiones se detallan en la figura 1

PIEZA N° 1

20 (u)

Figura 1



PIEZA N° 2

UNIONES ARISTAS

30 unidades

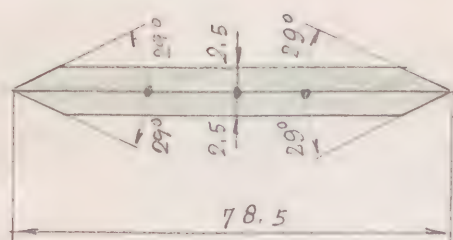


Figura 2

La forma y dimensiones se detallan en la figura 2

PIEZA N° 2 30 (u)

Figura 2

- B) DODECAEDRO CONJUGADO DE CARAS MACIZAS, CON PESTAÑAS DE FIJACIÓN DE SUS VÉRTICES A LOS PUNTOS MEDIOS DE LAS ARISTAS DEL ICOSAEDRO GENERADOR.

PIEZA N° 3 CARAS SUPERFICIALES, CON PESTAÑAS.

12 unidades

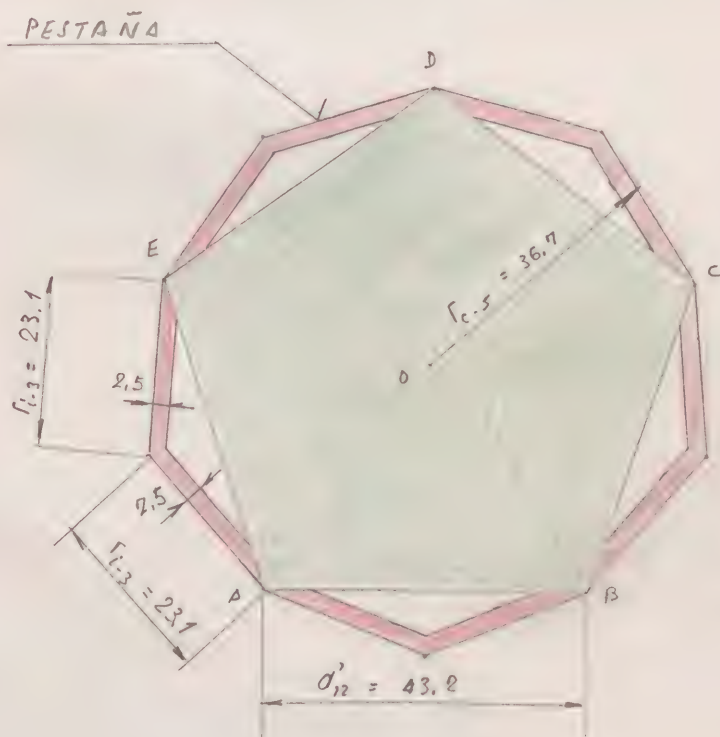


Figura 3

La forma y dimensiones se detallan en la figura 3

$$r_{c.s} = \frac{\sqrt{5 + \sqrt{5}}}{10} \times 43.2 = 36.7 \text{ mm}$$

$$\overline{AB} = \overline{BC} = \overline{CD} = \overline{DE} = \overline{EA} = 43.2 \text{ mm}$$

PIEZA N° 3 12 (u)

Figura 3



PIEZA N° 4 REFUERZO NORMAL EN CARAS SUPERFICIALES.

12 unidades

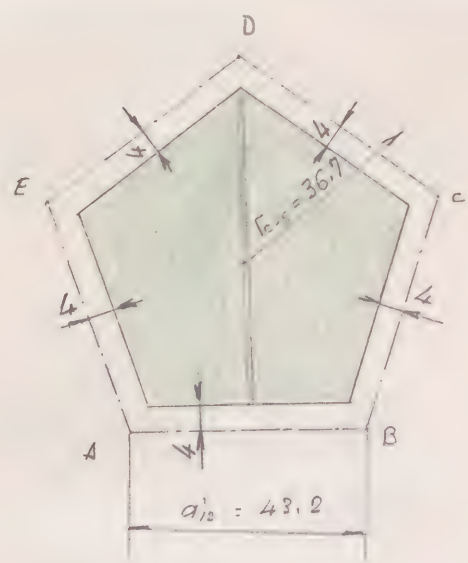


Figura 4

La forma y dimensiones se deducen de la del polígono regular convexo $ABCDE$ de la figura 3, y se detallan en la figura n° 4.

$$AB = BC = CD = DE = EA = 43.2 \text{ mm}$$

PIEZA N° 4 12 (u)

Figura 4

PIEZA N° 5 REFUERZO TRANSVERSAL INTERIOR EN CARAS SUPERFICIALES 24 unidades

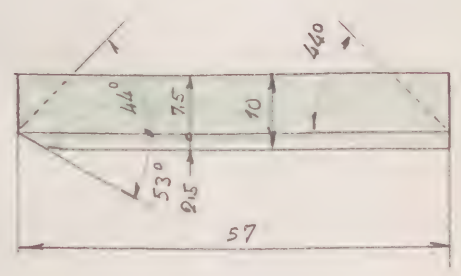


Figura 5

La forma y dimensiones se detallan en la figura 5; su colocación en la figura 4.

PIEZA N° 5 24 (u)

Figura 5

PIEZA N° 6 UNIONES ADISTAS 30 unidades

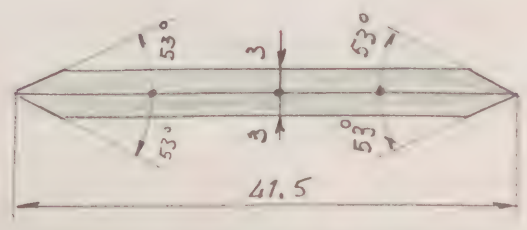


Figura 6

La forma y dimensiones se detallan en la figura 6

PIEZA N° 6 30 (u)

Figura 6

PIEZA N° 7FORRO COLOREADO12 unidades

La forma y dimensiones se deducen de las del pentágono ABCDE de la figura 3, y se detallan en la figura 7,

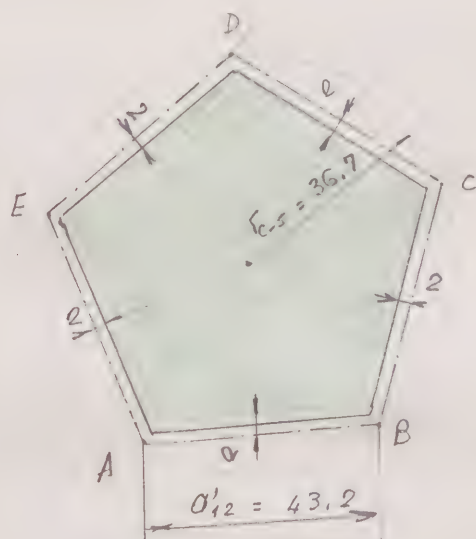


Figura 7

PIEZA N° 712 (u)

Figura 7

MODELO

MODELO CORPÓREO DEL DODECAEDRO REGULAR CONVEXO, OB-

TENIDO POR TRUNCADURA DE VÉRTICES DE UN ICOSAEDRO

REGULAR CONVEXO GENERADOR, DE ARISTA " a_{20} ", A

LA DISTANCIA " $x = \frac{2}{3} a_{20}$ ", SIENDO LA LONGITUD

" $a_{12} = \frac{1 + \sqrt{5}}{6} a_{20}$ " DEL DODECAEDRO GENERADO. EL DO-

DECAEDRO GENERADO, SE CONSTRUIRÁ CON LAS CARAS M4-

CIZAS, Y EL ICOSAEDRO GENERADOR, CON LAS CARAS

VACIADAS

Radio de la esfera circunscrita al icosaedro
generador:

$$r_{ec}^{20} = 110 \text{ mm.}$$



ENUNCIADO EQUIVALENTE

ENUNCIADO

MODELO CORPÓREO DEL DODECAEDRO REGULAR CONVEXO,
CONJUGADO DE UN ICOSAEDRO REGULAR CONVEXO, (GE-
NERADOR), CUANDO LOS VÉRTICES DEL PRIMERO,
 SON LOS CENTROS DE LAS CARAS DEL SEGUNDO. - EL
 ICOSAEDRO GENERADOR, SE CONSTRUIRÁ CON SUS CARAS
 VACIADAS, Y EL DODECAEDRO GENERADO, CON SUS
 CARAS MACIZAS.

Radio de la esfera circunscrita al icosaedro

generador :

$$r_{ee}^{20} = 110 \text{ m m.}$$



ENUNCIADO: Construir el modelo corpóreo del dodecaedro regular convexo, conjugado de un icosaedro regular convexo (generador), cuando los vértices del primero, son los centros de las caras del segundo. El icosaedro generador, se construirá con sus caras vacías, y el dodecaedro generador, con sus caras macizas.

DATO ÚNICO DE ESTE EJERCICIO:

$\underline{r_{ec}^{20}}$ = Radio de la circunferencia circunscrita al icosaedro generador:

$$r_{ec}^{20} = 110 \text{ m m}$$

Este modelo puede considerarse como una variante del modelo M-10.1, de igual forma que este, pero de mayor tamaño, por ser $r_{ec}^{20} = 110 \text{ mm} > 76.1 \text{ mm}$.

También hacemos destacar que este modelo puede ser generado de forma distinta al del enunciado dado, teniendo presente el estudio realizado en el modelo en el modelo M-39.7, en el que se estudió la posibilidad de obtención de algunos poliedros arquimedianos por el proceso de "truncadura de vértices" de los cinco poliedros regulares convexos. En

dicho estudio se analizó detalladamente los distintos poliedros (arquimedianos, regulares e irregulares) que pueden obtenerse por el mencionado proceso de "truncadura de vértices del tetraedro regular convexo", en todas las posibles posiciones del plano secante. Dicho proceso puede ser aplicado a los cuatro poliedros regulares restantes (hexaedro, octaedro, dodecaedro e icosaedro), con análogos resultados de los que se obtuvieron en el tetraedro regular convexo. Por consiguiente, para el caso particular de este modelo, podemos enunciar directamente la siguiente proposición:

"El dodecaedro regular convexo, puede ser engendrado por la truncadura de vértices de un icosaedro regular convexo, cuyo plano secante pasa por el centro "G" de las cinco caras triangulares regulares, concurrentes en cada uno de sus vértices. Este plano secante puede situarse por cinco puntos equidistantes de dicho vértice, y sobre las cinco aristas concurrentes en él, a la distancia " $x = \frac{2}{3} a_{20}$ " siendo " a_{20} " la arista del icosaedro generador. La longitud " a'_{12} " de la arista del dodecaedro generado, es:

$$a'_{12} = \frac{1 + \sqrt{5}}{6} a_{20}."$$

Las dos últimas fórmulas aún deducidas posteriormente (ver fórmulas (1) y (2')).

El dodecaedro generado, tiene sus vértices en los centros

"G" de las caras triangulares del icosaedro generador.

Como consecuencia de lo expuesto anteriormente, podemos establecer un nuevo enunciado al problema planteado en este ejercicio, equivalente al de este mismo modelo M-10.2, bajo el nuevo enfoque del mismo, que es el siguiente:

NUEVO ENUNCIADO: Construir el modelo corpóreo del dodecaedro regular convexo obtenido por truncadura de vértices del icosaedro regular convexo generador, a la distancia " $x = \frac{2}{3} a_{20}$ ", siendo " a_{20} " la arista del icosaedro generador. La longitud de la arista " a'_{12} " del dodecaedro generado, será: $a'_{20} = \frac{1 + \sqrt{5}}{6} a_{20}$

En esta nueva construcción, efectuaremos otra forma distinta a la del modelo M-10.1, para la fijación al icosaedro generador, del dodecaedro engendrado en su interior.

Como el dodecaedro generado, ha de construirse con sus caras macizas, y el icosaedro generador, con sus caras vaciadas, para poder situar en su posición correcta este último, construiremos sobre las doce caras pentagonales del mencionado dodecaedro conjugado, otras tantas pirámides auxiliares, rectas, regulares, de base pentagonal, cuyos vértices servirán de apoyo a los doce vértices del icosaedro generador.

Prerriamente, efectuaremos los cálculos de las longitudes siguientes:

- 1) Distancia " x " de la truncadura de vértices en el icosaedro generador, de arista " a_{20} " (en función de a_{20})

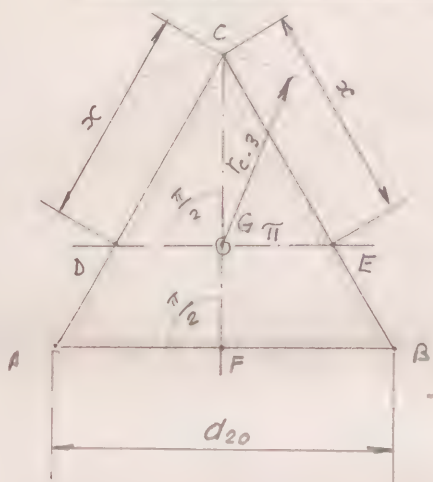


Figura 1

Sea (figura 1) ABC el triángulo regular de una cara del icosaedro generador, de arista $AB = a_{20}$, y G su centro.

Unamos C con G , y tracemos por G la perpendicular a GC , que cortará en D y E a los lados CA y CB concurrentes en C , y en el punto

F al lado AB .

De la construcción anterior se deduce que los triángulos rectángulos CDG y CAF , son semejantes, siendo a su vez $|CG| = \frac{2}{3} |CF|$, por lo que será:

$$\frac{|CD|}{|CG|} = \frac{|CA|}{|CF|} \quad \text{y de aquí:} \quad |CD| = \frac{|CA| \times |CG|}{|CF|} \quad \text{en la que}$$

sustituyendo valores, tendremos finalmente

$$x = \frac{a_{20} \times \frac{2}{3} \overline{CF}}{\overline{CF}} = \boxed{\frac{2}{3} a_{20}} \quad (1)$$



2) Arista " a_{20} " del icosaedro generador (en función de r_{ec}^{20})

El valor ha sido ya calculado en el ejercicio M-10.1, fórmula (1)

$$a_{20} = 2 \times \sqrt{\frac{5 - \sqrt{5}}{10}} r_{ec}^{20} \quad (2)$$

3) Arista " a_{12} " del dodecaedro conjugado (en función de r_{ec}^{20})

Refiriéndonos a la figura 1, destaquemos que "la truncadura de vértices del icosaedro generador" de arista a_{20} , usando el plano secante π para por el centro ' G ' de una cara del mismo. ABC , corta a ésta según la traza DE , perpendicular a la altura CF , y a las aristas CA y CB , en los puntos D y E , equidistantes de C , a la distancia $x = \frac{2}{3} a_{20}$. Igual ocurrirá en las cinco caras restantes concurrentes en C . Por consiguiente, el plano secante π de dicha truncadura de vértices, cortará a las cinco caras concurrentes en C , según un pentágono, cuyos lados son iguales al DE , y que a su vez formarían ángulos iguales en cada uno de los diedros formados por dos caras consecutivas; así pues dicho pentágono será regular y la unión de los puntos medios de sus lados, formarían a su vez otro pentágono regular, cara del dodecaedro conjugado al icosaedro generador, cuyos vértices estarán situados en los centros G de las caras de dicho icosaedro, según se adata en la figura 2, en la que $DE = x$ (ver fig. 1) y G es el centro de DE



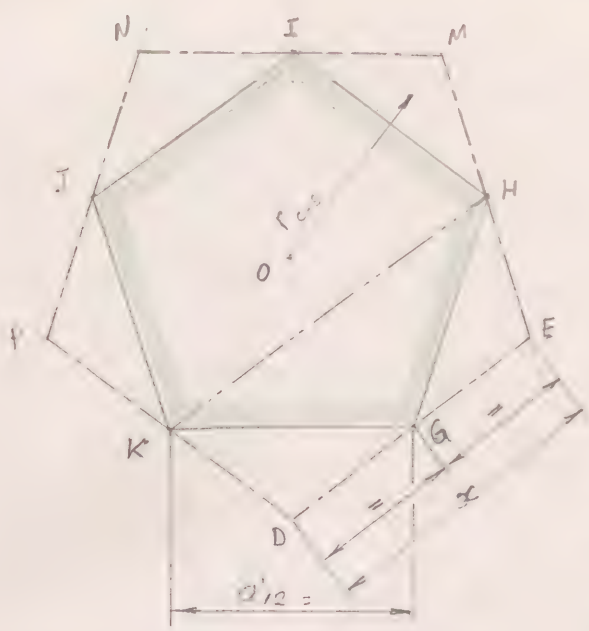


Figura 2

En la figura 2, tenemos el pentágono regular $GHIJK$, de lado a'_{12} obtenido al unir los puntos medios del pentágono regular $DEHNP$, de lado $DE = x$.

El pentágono regular $GHIJK$ es una de las caras del dodecaedro regular convexo, conjugado del icosaedro generador, cuyos vértices son los centros G

de sus caras. Así pues, llegamos a la conclusión final de que "La arista a'_k " del dodecaedro regular convexo, resultado de la truncadura de vértices de un icosaedro regular convexo de arista a_{20} , y a la distancia $x = \frac{2}{3} a_{20}$ (ver fórmula 1), tiene por longitud la del segmento KG (fig. 2)

De la semejanza de los triángulos isósceles HKG y GKD , se deduce

$$\frac{HK}{KG} = \frac{KG}{DG} \quad \text{por lo que} \quad KG^2 = HK \times DG \quad \text{en la que es}$$

$$KG = a'_{12} \quad ; \quad DG = \frac{x}{2} = \frac{2}{3} a_{20} : 2 = \left| \frac{1}{3} a_{20} \right| \quad \text{y} \quad HK = \text{diagonal}$$

de un pentágono de lado a'_{12} ; en valor es (ver fórmula (6) del ejercicio G.P. 1400-44)

$$HK = \frac{\sqrt{5} + 1}{2} \times a'_{12} = \left| \frac{\sqrt{5} + 1}{2} a'_{12} \right| \quad \text{y sustituyendo estos valores}$$

en $KG^2 = HK \times DG$, tendremos:



$$(a'_{12})^2 = \frac{\sqrt{5}+1}{2} \times a'_{12} \times \frac{1}{3} a_{20} \quad \text{"} \quad \boxed{a'_{12} = \frac{\sqrt{5}+1}{6} a_{20}} \quad ; \quad \text{fórmula (2')}$$

que nos da a'_{12} en función de a_{20} ; para obtenerla en función de r_{ec}^{20} (dato del ejercicio), sustituiremos a_{20} por su valor de la fórmula (2), ya obtenida, por lo que tendremos:

$$\begin{aligned} \boxed{a'_{12}} &= \frac{\sqrt{5}+1}{6} a_{20} = \frac{\sqrt{5}+1}{6} \times 2 \times \sqrt{\frac{5-\sqrt{5}}{10}} r_{ec}^{20} = \frac{1}{3} (\sqrt{5}+1) \sqrt{\frac{5-\sqrt{5}}{10}} r_{ec}^{20} = \\ &= \frac{1}{3} \sqrt{\frac{(5-\sqrt{5})(\sqrt{5}+1)^2}{10}} r_{ec}^{20} = \frac{1}{3} \sqrt{\frac{(5-\sqrt{5})(5+1+2\sqrt{5})}{10}} r_{ec}^{20} = \\ &= \frac{1}{3} \sqrt{\frac{(5-\sqrt{5})(6+2\sqrt{5})}{10}} r_{ec}^{20} = \frac{1}{3} \sqrt{\frac{(5-\sqrt{5})(3+\sqrt{5})}{5}} r_{ec}^{20} = \\ &= \frac{1}{3} \sqrt{\frac{15-3\sqrt{5}+5\sqrt{5}-5}{5}} r_{ec}^{20} = \boxed{\frac{1}{3} \sqrt{\frac{10+2\sqrt{5}}{5}} r_{ec}^{20}} \end{aligned}$$

de donde se obtiene finalmente:

$$\boxed{a'_{12} = \frac{1}{3} \sqrt{\frac{10+2\sqrt{5}}{5}} r_{ec}^{20}} \quad (3)$$

valor coincidente con el de la fórmula (2) del ejercicio M-10.1, obtenido por otro proceso diferente.

3) Radio " $r_{c.5}$ " de la circunferencia circunscrita al pentágono regular convexo de una cara del dodecaedro conjugado.

El valor se obtiene de la fórmula " $r_{c.5} = \sqrt{\frac{5 + \sqrt{5}}{10}} l_5$ " deducida en el ejercicio (3) G.P. 1400-44), haciendo en ella $l_5 = a'_{12} = \frac{1}{3} \sqrt{\frac{10 + 2\sqrt{5}}{5}} r_{ec}^{20}$ (ver fórmula (3)). Así pues, será:

$$\begin{aligned} \boxed{r_{c.5}} &= \sqrt{\frac{5 + \sqrt{5}}{10}} \times \frac{1}{3} \times \sqrt{\frac{10 + 2\sqrt{5}}{5}} r_{ec}^{20} = \frac{1}{3} \sqrt{\frac{(5 + \sqrt{5})(10 + 2\sqrt{5})}{50}} r_{ec}^{20} = \\ &= \frac{1}{3} \sqrt{\frac{2(5 + \sqrt{5})^2}{50}} r_{ec}^{20} = \frac{1}{3} \sqrt{\frac{(5 + \sqrt{5})^2}{25}} r_{ec}^{20} = \frac{1}{3} \times \frac{5 + \sqrt{5}}{5} r_{ec}^{20} = \\ &= \boxed{\frac{5 + \sqrt{5}}{15} r_{ec}^{20}} \quad (4) \end{aligned}$$

4) Radio " $r_{ei}^{12'}$ " de la esfera inscrita al dodecaedro conjugado

El valor se obtiene de la fórmula " $r_{ei}^{12} = \sqrt{\frac{25 + 11\sqrt{5}}{40}} a_{12}$ ", deducida en el ejercicio G.E. n.º... Lámina 4, en función de su arista " a_{12} "; haciendo en ella $r_{ei}^{12} = r_{ei}^{12'}$ y $a_{12} = a'_{12} = \frac{1}{3} \sqrt{\frac{10 + 2\sqrt{5}}{5}} r_{ec}^{20}$ (ver fórmula (3)), tendremos:

$$\begin{aligned} \boxed{r_{ei}^{12'}} &= \sqrt{\frac{25 + 11\sqrt{5}}{40}} a_{12} = \sqrt{\frac{25 + 11\sqrt{5}}{40}} \times \frac{1}{3} \times \sqrt{\frac{10 + 2\sqrt{5}}{5}} r_{ec}^{20} = \\ &= \frac{1}{3} \sqrt{\frac{(25 + 11\sqrt{5})(5 + \sqrt{5}) \times 2}{40 \times 5}} r_{ec}^{20} = \frac{1}{3} \sqrt{\frac{(25 + 11\sqrt{5})(5 + \sqrt{5})}{20 \times 5}} r_{ec}^{20} = \end{aligned}$$

$$\begin{aligned}
 &= \frac{1}{3} \sqrt{\frac{125 + 55\sqrt{5} + 25\sqrt{5} + 55}{100}} r_{ec}^{20} = \frac{1}{3} \sqrt{\frac{180 + 80\sqrt{5}}{100}} r_{ec}^{20} = \\
 &= \frac{1}{3} \sqrt{\frac{9 + 4\sqrt{5}}{5}} r_{ec}^{20} = \frac{1}{3} \times \frac{\sqrt{9 + 4\sqrt{5}}}{\sqrt{5}} r_{ec}^{20} = \frac{1}{3} \times \frac{\sqrt{\frac{10}{2}} + \sqrt{\frac{8}{2}}}{\sqrt{5}} r_{ec}^{20} = \\
 &= \frac{1}{3} \times \frac{\sqrt{5} + 2}{\sqrt{5}} r_{ec}^{20} = \frac{1}{3} \times \frac{5 + 2\sqrt{5}}{5} r_{ec}^{20} = \boxed{\frac{5 + 2\sqrt{5}}{15} r_{ec}^{20}}
 \end{aligned}$$

de donde se obtiene finalmente:

$$r_{ei}^{12'} = \frac{5 + 2\sqrt{5}}{15} r_{ec}^{20} \quad (5)$$

5) Altura " h_5 " de las pirámides auxiliares, rectas, pentagonales, regulares.

Se obtiene como diferencia del radio " r_{ec}^{20} " de la esfera inscrita al isoaedro generador (dato del ejercicio), y del radio " $r_{ei}^{12'}$ " (fórmula 5). Así pues, será:

$$h_5 = r_{ec}^{20} - r_{ei}^{12'} = r_{ec}^{20} - \frac{5 + 2\sqrt{5}}{15} r_{ec}^{20} = \left(1 - \frac{5 + 2\sqrt{5}}{15}\right) r_{ec}^{20} = \boxed{\frac{10 - 2\sqrt{5}}{15} r_{ec}^{20}} \quad (6)$$

6) Arista " a_5 " de las pirámides auxiliares, rectas, pentagonales, regulares

El valor es el de la hipotenusa de un triángulo rectángulo, cuyos catetos son: Uno, la altura " $h_5 = \frac{10 - 2\sqrt{5}}{15} r_{ec}^{20}$ " (ver fór-

mula (6), y el otro, el radio " $r_{c-s} = \frac{5 + \sqrt{5}}{15} r_{ec}^{20}$ " ver fórmula (4).- Así pues, tendremos:

$$\begin{aligned} a_5 &= \sqrt{(h_5)^2 + (r_{c-s})^2} = \sqrt{\left(\frac{10 - 2\sqrt{5}}{15} r_{ec}^{20}\right)^2 + \left(\frac{5 + \sqrt{5}}{15} r_{ec}^{20}\right)^2} = \\ &= \sqrt{\frac{(10 - 2\sqrt{5})^2}{15^2} + \frac{(5 + \sqrt{5})^2}{15^2}} r_{ec}^{20} = \sqrt{\frac{100 + 20 - 40\sqrt{5} + 25 + 5 + 10\sqrt{5}}{15^2}} r_{ec}^{20} = \\ &= \sqrt{\frac{150 - 30\sqrt{5}}{15^2}} r_{ec}^{20} = \sqrt{\frac{10 - 2\sqrt{5}}{15}} r_{ec}^{20} \quad (7) \end{aligned}$$

Las fórmulas (2), (3) y (7), aplicadas al caso particular estudiado, nos dan los siguientes valores numéricos: ($r_{ec}^{20} = 110 \text{ mm}$)

$$a_{20} = 2 \times \sqrt{\frac{5 - \sqrt{5}}{10}} r_{ec}^{20} \approx 1,051462224... \times 110 \approx 115,7 \text{ mm} \quad (2)$$

$$a'_{12} = \frac{1}{3} \sqrt{\frac{10 + 2\sqrt{5}}{5}} r_{ec}^{20} \approx 0,567100539... \times 110 \approx 62,4 \text{ mm} \quad (3)$$

$$a_5 = \sqrt{\frac{10 - 2\sqrt{5}}{15}} r_{ec}^{20} \approx 0,368524270... \times 110 \approx 60,8 \text{ mm} \quad (7)$$

La magnitud (7) nos permite efectuar la fijación de los vértices del dodecaedro conjugado, y situarlos en los centros de las caras del icosaedro generador.



NOTA. - El valor de la magnitud " a_5 " fórmula (7), puede calcularse más directamente, observando que dicho segmento une un vértice del icosaedro generador con otro vértice del dodecaedro generado, situado este último punto en el centro de una cara triangular del icosaedro generador. Por consiguiente dicho segmento " a_5 " es coincidente con el \overline{CG} de la figura 1. - Refiriéndonos a esta figura, tendremos:

$$a_5 = \overline{CG} = \frac{2}{3} \overline{CF} = \frac{2}{3} \sqrt{\overline{CA}^2 - \overline{AF}^2} = \frac{2}{3} \sqrt{(a_{20})^2 - \left(\frac{a_{20}}{2}\right)^2} =$$

$$= \frac{2}{3} \sqrt{1 - \frac{1}{4}} a_{20} = \frac{2}{3} \sqrt{\frac{3}{4}} a_{20} = \frac{\sqrt{3}}{3} a_{20}$$

y substituyendo a_{20} por su valor (2), será

$$a_5 = \frac{\sqrt{3}}{3} a_{20} = \frac{\sqrt{3}}{3} \times 2 \times \sqrt{\frac{5-\sqrt{5}}{10}} r_{ec}^{20} = \sqrt{\frac{5-\sqrt{5}}{10} \times \left(\frac{2\sqrt{3}}{3}\right)^2} r_{ec}^{20} =$$

$$= \sqrt{\frac{(5-\sqrt{5}) \times (4 \times 3)}{10 \times 3^2}} r_{ec}^{20} = \sqrt{\frac{(5-\sqrt{5}) \times 2}{5 \times 3}} r_{ec}^{20} = \sqrt{\frac{10-2\sqrt{5}}{15}} r_{ec}^{20}$$

Resultado idéntico al de la fórmula (7).

Para la construcción de este modelo, son necesarias las siguientes piezas:

4) ICOSAEDRO REGULAR CONVEXO, DE CARAS VACÍAS



PIEZA N° 1 CARAS SUPERFICIALES20 unidades

Iguales a la pieza n° 1 del modelo M-5.102

PIEZA N° 2 UNIONES ADISTAS30 unidades

Iguales a la pieza n° 2 del modelo M-5.102

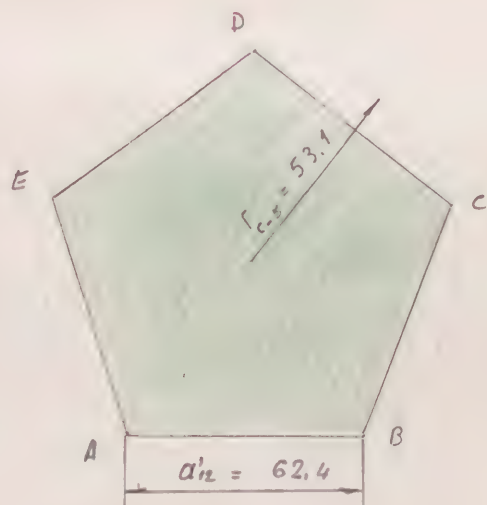
B) DODECAEDRO REGULAR CONVEXO, CONJUGADO, DE CARAS
MACIZAS.PIEZA N° 3 CARAS SUPERFICIALES12 unidadesSu forma y dimensiones
se detallan en la figura 3PIEZA N° 3 12 (u)

Figura 3

Figura 3

PIEZA N° 4 REFUERZO NORMAL INTERIOR DE LAS CARAS
SUPERFICIALES12 unidades

Su forma y dimensiones se deducen de las del pentágono ABCDE

(Alfonso)

Marzo 1981

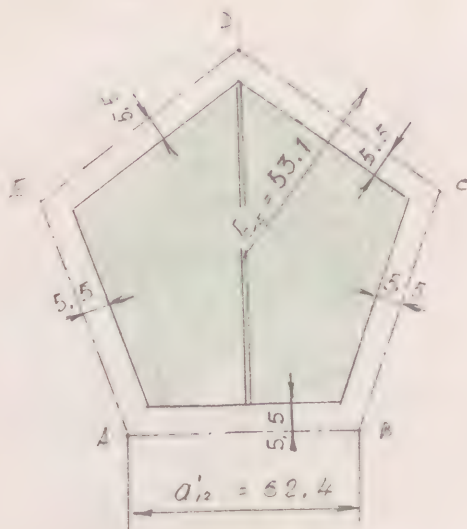


Figura 4

de la figura 3; y se detallan en la figura 2.

PIEZA N° 4 12 (u)

Figura 4

PIEZA N° 5 REFUERZO TRANSVERSAL INTERIOR DE LAS CARAS
SUPERFICIALES 24 unidades

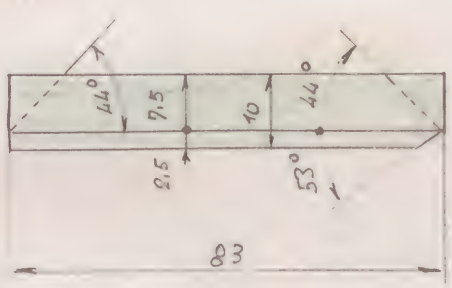


Figura 5

La forma y dimensiones se detallan en la figura 5; en colocación, en la figura 4.

PIEZA N° 5 24 (u)

Figura 5

PIEZA N° 6 UNIONES ARISTAS 30 unidades

La forma y dimensiones, se detallan en la figura 6

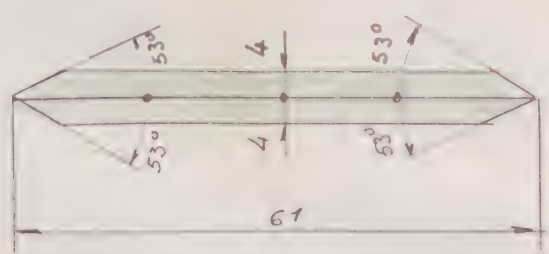


Figura 6

PIEZA N° 6 30 (u)

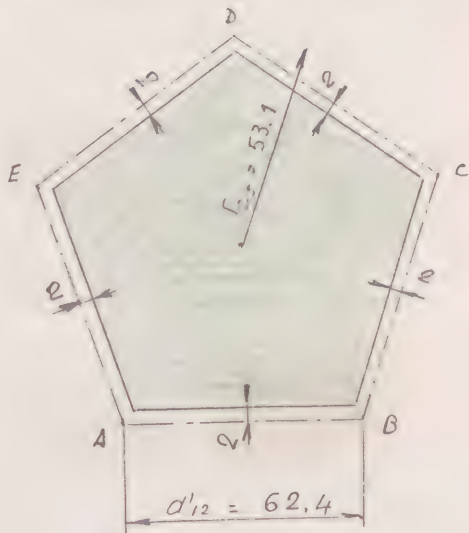
Figura 6



PIEZA N° 7

FOLIO DOLO SEADO

12 unidades



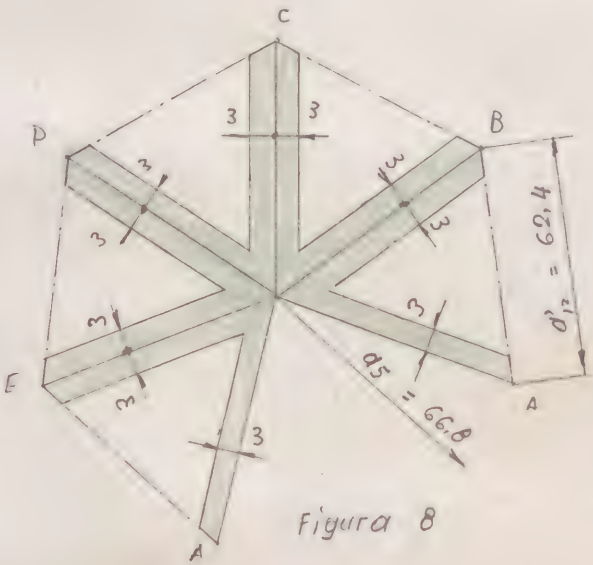
La forma y dimensiones se deducen de las del pentágono ABCDE de la figura 3, y se detallan en la figura 7.

PIEZA N° 7

12 (u)

Figura 7

C) PIRÁMIDES AUXILIARES PENTAGONALES, RECTAS, REGULARES, DE CARAS VACIADAS.



La forma y dimensiones se detallan en la figura 8

PIEZA N° 8

DESCAROLLO

LATELAL

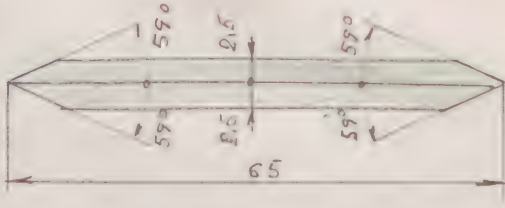
12 unidades

Figura 8

PIEZA N° 9

UNIONES ARISTAS

60 unidades



La forma y dimensiones se detallan en la figura 9.

PIEZA N° 9

60 (u)

Figura 9

MODELO M-10.2

PATROWEL





ELECTRÓNICA

MODELO CORPÓREO DE LA "SERIE ALTERNATIVA DE
DODECAEDROS E ICOSAEDROS REGULARES CONVEXOS"

" $P_{12}^1, P_{20}^2, P_{12}^3, P_{20}^4, P_{12}^5, \dots, P_{20-(12)}^n$ ", CONJUGADOS

DE UN ICOSAEDRO REGULAR CONVEXO P_{20} , EN LOS

CUALES LOS VÉRTICES DE LOS DODECAEDROS ENGEN-

DRA DOS $P_{12}^1, P_{12}^3, P_{12}^5, \dots, P_{12}^n$ ($n = 1, 3, 5 \dots$ impar),

Y LOS VÉRTICES DE LOS ICOSAEDROS ENGENDRADOS

$P_{20}^2, P_{20}^4, P_{20}^6, \dots, P_{20}^n$ ($n = 2, 4, 6, \dots$ par), SON LOS CEN-

TROS DE LAS CARAS DEL ANTERIOR.

Radio de la esfera circunscrita al icosaedro P_{20}
regular convexo:

$$r_{ec}^{20} = 110 \text{ m m.}$$

ENUNCIADO: Contener el modelo corpóreo de la "Serie alternati-
va de dodecaedro e icosaedros regulares conve-
xos" $P_{12}^1, P_{20}^2, P_{12}^3, P_{20}^4, P_{12}^5 \dots P_{20-(12)}^n$, conjugados
de un icosaedro regular convexo P_{20} , en los cuales,
los vértices de los dodecaedros engendrados $P_{12}^1, P_{12}^3,$
 $P_{12}^5 \dots P_{12}^n$ ($n = 1, 3, 5, 7 \dots$ impar), y los vértices de
los icosaedros engendrados $P_{20}^2, P_{20}^4, P_{20}^6 \dots P_{20}^n$
($n = 2, 4, 6 \dots$ par), son los centros de las caras
del anterior.

DATO ÚNICO DE ESTE EJERCICIO

r_{ec}^{20} = Radio de la esfera circunscrita al icosaedro P_{20} regu-
lar convexo generador:

$$r_{ec}^{20} = 110 \text{ mm}$$

1) GENERALIDADES

Si consideramos un icosaedro " P_{20} " regular convexo, de arista
" a_{20} " y nombramos los centros " G " de cada cara, con los centros
de las dos contiguas que concurren en cada una de sus aristas,
se nos formará un dodecaedro regular convexo P_{12}^1 , cuyos vé-
rtices estarán en los mencionados centros " G " del icosaedro ge-
nerador " P_{20} ". El icosaedro engendrado, será pues "conjugado

del icosaedro generador P_{20}^1 .

Si repetimos la operación anterior, uniendo los centros de las caras del dodecaedro P_{12}^1 , obtenemos un icosaedro regular convexo P_{20}^2 , de caras paralelas al generador P_{20} y cuyos vértices estarán situados a su vez en los centros G' de las caras del dodecaedro P_{12}^1 . Así sucesivamente se obtendrán alternadamente los icosaedros $P_{20}^4, P_{20}^6, \dots, P_{20}^n$ ($n = 4, 6, 8, \dots$ par) y también los dodecaedros $P_{12}^3, P_{12}^5, \dots, P_{12}^n$ ($n = 3, 5, 7, \dots$ impar), que forman en su conjunto la Serie "S" de " $n+1$ " términos.

$$S = P_{20}^1, P_{12}^1, P_{20}^2, P_{12}^2, P_{20}^3, P_{12}^3, \dots, P_{12-(2q)}^n \quad (1)$$

Para valores paros de n " $n = 2q$ " ($q = 1, 2, 3, 4, \dots$) se obtiene la Serie parcial " S_1 " formada exclusivamente por icosaedros de " $q+1$ " términos:

$$S_1 = P_{20}^1, P_{20}^2, P_{20}^3, P_{20}^4, \dots, P_{20}^{2q} \quad (2)$$

Para valores impares de n " $n = 2q+1$ " ($q = 1, 2, 3, 4, \dots$) se obtiene a su vez la nueva Serie parcial " S_2 ", formada exclusivamente por dodecaedros de " $q+1$ " términos:

$$S_2 = P_{12}^1, P_{12}^3, P_{12}^5, P_{12}^7, \dots, P_{12}^{2q+1} \quad (3)$$

Las series de poliedros (1), (2) y (3) son decrecientes, siendo cualquier poliedro de ellas, menor que el anterior e inscrito en éste.

2) RELACIONES MÉTRICAS

Para la construcción de este modelo, utilizaremos algunas de las fórmulas ya deducidas en anteriores ejercicios.

2.1) Arista " a_{20} " del icosaedro generador P_{20} . (ver fórmula (2) del ejercicio M-10.2)

$$a_{20} = 2 \times \sqrt{\frac{5 - \sqrt{5}}{10}} r_{ec}^{20} \quad b \quad (4)$$

2.2) Arista " a_{12}^1 " del dodecaedro conjugado P_{12}^1 . (ver fórmula (3) del ejercicio M-10.2)

$$a_{12}^1 = \frac{1}{3} \times \sqrt{\frac{10 + 2\sqrt{5}}{5}} r_{ec}^{20} \quad b \quad (5)$$

Al unir los centros de las caras del dodecaedro P_{12}^1 , obtenemos el icosaedro P_{20}^2 (Serie 2)

2.3) Radio r_{ec}^{12} de la esfera circunscrita al dodecaedro conjugado P_{12}^1 y arista a_{12}^1 .



El valor se obtiene de la fórmula " $\Gamma_{ec}^{12} = \frac{\sqrt{15} + \sqrt{3}}{4} a_{12}'$ " deducida en el ejercicio G.E. n° --- Lámina 4, haciendo en ella $a_{12} = a_{12}'$ (ver fórmula 5),

$$\begin{aligned}
 \boxed{\Gamma_{ec}^{12}} &= \frac{\sqrt{15} + \sqrt{3}}{4} a_{12} = \frac{\sqrt{15} + \sqrt{3}}{4} a_{12}' = \frac{\sqrt{15} + \sqrt{3}}{4} \times \frac{1}{3} \sqrt{\frac{2(5+\sqrt{5})}{5}} \Gamma_{ec}^{20} = \\
 &= \frac{\sqrt{15} + \sqrt{3}}{12} \times \sqrt{\frac{2(5+\sqrt{5})}{5}} \Gamma_{ec}^{20} = \frac{1}{12} \sqrt{\frac{2(5+\sqrt{5})(\sqrt{15} + \sqrt{3})^2}{5}} \Gamma_{ec}^{20} = \\
 &= \frac{1}{12} \sqrt{\frac{2(5+\sqrt{5})(15 + 3 + 2\sqrt{45})}{5}} \Gamma_{ec}^{20} = \frac{1}{12} \times \sqrt{\frac{2(5+\sqrt{5})(18 + 6\sqrt{5})}{5}} \Gamma_{ec}^{20} = \\
 &= \frac{1}{12} \times \sqrt{\frac{2 \times 6 \times (5+\sqrt{5})(3+\sqrt{5})}{5}} \Gamma_{ec}^{20} = \sqrt{\frac{12 \times (15 + 3\sqrt{5} + 5\sqrt{5} + 5)}{12^2 \times 5}} \Gamma_{ec}^{20} = \\
 &= \sqrt{\frac{30 + 8\sqrt{5}}{12 \times 5}} \Gamma_{ec}^{20} = \boxed{\sqrt{\frac{5 + 2\sqrt{5}}{15}} \Gamma_{ec}^{20}} \quad b \quad (6)
 \end{aligned}$$

2.4) Arista " a_{20}^2 " de icosaedro P_{20}^2 conjugado del p_{12}^1 .

Se obtiene de la fórmula (8) del ejercicio M-9.2 " $a_{20}^2 = \frac{\sqrt{15} + 5\sqrt{3}}{15} \Gamma_{ec}^{12}$ " en la que $a_{20}' = a_{20}^2$ y $\Gamma_{ec}^{12} = \sqrt{\frac{5+2\sqrt{5}}{15}} \Gamma_{ec}^{20}$ (ver fórmula (6)). Sustituyendo valores, tendremos:

$$\begin{aligned}
 \boxed{a_{20}^2} &= \frac{\sqrt{15} + 5\sqrt{3}}{15} \Gamma_{ec}^{12} = \frac{\sqrt{15} + 5\sqrt{3}}{15} \times \sqrt{\frac{5+2\sqrt{5}}{15}} \Gamma_{ec}^{20} = \\
 &= \frac{1}{15} \times \sqrt{\frac{(5+2\sqrt{5})(\sqrt{15} + 5\sqrt{3})^2}{15}} \Gamma_{ec}^{20} = \frac{1}{15} \sqrt{\frac{(5+2\sqrt{5})(15 + 75 + 10\sqrt{45})}{15}} \Gamma_{ec}^{20} =
 \end{aligned}$$

$$\begin{aligned}
 &= \frac{1}{15} \sqrt{\frac{(5+2\sqrt{5})(90+30\sqrt{5})}{15}} r_{ec}^{20} = \frac{1}{15} \times \sqrt{(5+2\sqrt{5})(6+2\sqrt{5})} r_{ec}^{20} = \\
 &= \frac{1}{15} \times \sqrt{2(5+2\sqrt{5})(3+\sqrt{5})} r_{ec}^{20} = \frac{1}{15} \times \sqrt{2(15+6\sqrt{5}+5\sqrt{5}+10)} r_{ec}^{20} = \\
 &= \frac{1}{15} \times \sqrt{2(25+11\sqrt{5})} r_{ec}^{20} = \boxed{\frac{\sqrt{2(25+11\sqrt{5})}}{15} r_{ec}^{20}} \quad (7)
 \end{aligned}$$

Los icosaedros regulares P_{20} y P_{20}^2 (serie 2), son semejantes, siendo " $\frac{a_{20}^2}{a_{20}}$ " la razón de semejanza de sus aristas homólogas, sustituyendo los valores de " a_{20} " (4) y (a_{20}^2) (7), tendremos:

$$\begin{aligned}
 \boxed{\frac{a_{20}^2}{a_{20}}} &= \frac{\sqrt{2(25+11\sqrt{5})}}{15} r_{ec}^{20} : 2 \sqrt{\frac{5-\sqrt{5}}{10}} r_{ec}^{20} = \frac{\sqrt{2(25+11\sqrt{5})}}{15} : 2 \sqrt{\frac{5-\sqrt{5}}{10}} = \\
 &= \frac{\sqrt{2(25+11\sqrt{5})}}{2 \times 15 \sqrt{\frac{5-\sqrt{5}}{10}}} = \frac{1}{30} \sqrt{\frac{2(25+11\sqrt{5})}{\frac{5-\sqrt{5}}{10}}} = \frac{1}{30} \sqrt{\frac{20(25+11\sqrt{5})}{5-\sqrt{5}}} = \\
 &= \frac{1}{30} \sqrt{\frac{20(25+11\sqrt{5})(5+\sqrt{5})}{20}} = \frac{1}{30} \sqrt{(25+11\sqrt{5})(5+\sqrt{5})} = \\
 &= \frac{1}{30} \sqrt{125 + 55\sqrt{5} + 25\sqrt{5} + 55} = \frac{1}{30} \sqrt{180 + 80\sqrt{5}} = \frac{1}{3} \sqrt{20(9+4\sqrt{5})} = \\
 &= \frac{1}{3} \sqrt{\frac{20(9+4\sqrt{5})}{100}} = \boxed{\frac{1}{3} \sqrt{\frac{9+4\sqrt{5}}{5}}} \quad (8)
 \end{aligned}$$

NOTA: Obsérvese que esta razón de semejanza es la misma que la del ejercicio M-9.3 (fórmula 8).

Con las magnitudes a) fórmula (4); b) fórmula (5) y c) fórmula (7), podemos construir este modelo M-10.3, que limitamos a los siguientes poliedros:

- 1º) Icosaedro generado " P_{20} " de caras vaciadas.
- 2º) Dodecaedro conjugado " P_{12}^1 " del icosaedro " P_{20} ", de caras vaciadas, con sus correspondientes pirámides pentagonales para fijación de los vértices del " P_{20} ".
- 3º) Icosaedro " P_{20}^2 " conjugado del dodecaedro " P_{12}^1 " de caras macizas, con sus correspondientes pirámides triangulares para fijación de los vértices del " P_{12}^1 ".

Análogamente a lo expuesto en el ejercicio M-7.3, supongamos ahora que el icosaedro " P_{20}^2 ", es a su vez generador del dodecaedro " P_{12}^3 " (Serie (3) y conjugado del " P_{20}^2 ") y del icosaedro " P_{20}^4 " (Serie (2), conjugado del " P_{12}^3 "). El modelo formado por los poliedros P_{20}^2 , P_{12}^3 y P_{20}^4 sería semejante al que estudiamos (modelo M-10.3), aun cuando de menor tamaño, siendo la razón de semejanza la de " $\frac{1}{3} \sqrt{\frac{9+4\sqrt{5}}{5}} < 1$ " (ver fórmula (8)), menor que la unidad.

Esta propiedad nos permite calcular fácilmente las dimensiones lineales de los poliedros P_{20}^2 , P_{12}^3 , P_{20}^4 , bastando pues multiplicar por la razón de semejanza " $k = \frac{1}{3} \sqrt{\frac{9+4\sqrt{5}}{5}} = 0.63145730... < 1$ " las respectivas magnitudes lineales homólogas de los poliedros P_{20} , P_{12}^1 , P_{20}^2 .

En la determinación de las superficies se empleará la razón

$$\left(\frac{1}{3} \sqrt{\frac{9+4\sqrt{5}}{5}}\right)^2,$$

y en la de volúmenes, la razón

$$\left(\frac{1}{3} \sqrt{\frac{9+4\sqrt{5}}{5}}\right)^3$$

Como consecuencia de lo expuesto anteriormente, deducimos que las magnitudes lineales de los poliedros de la Serie (2) forman una progresión geométrica indefinida, cuyo primer término son las del icosaedro generador " P_{20} ", y su razón $\frac{1}{3} \sqrt{\frac{9+4\sqrt{5}}{5}} < 1$.

Las lineales de la Serie (3) forman igualmente otra progresión geométrica indefinida cuyo primer término son las del dodecaedro " P'_{12} " conjugado del icosaedro generador " P_{20} " y deducidas independiente de las de éste, siendo su razón también la de $\frac{1}{3} \sqrt{\frac{9+4\sqrt{5}}{5}} < 1$.

Las magnitudes superficiales (áreas) o volumétricas de las Serie (2) y (3), forman análogamente progresiones geométricas indefinidas de razones $\left(\frac{1}{3} \sqrt{\frac{9+4\sqrt{5}}{5}}\right)^2 < 1$ y $\left(\frac{1}{3} \sqrt{\frac{9+4\sqrt{5}}{5}}\right)^3 < 1$ respectivamente.

Finalmente haremos observar que todas las progresiones geométricas indefinidas descritas anteriormente, la suma de sus infinitos términos es finita por ser su razón menor que la unidad. Dicha suma se obtiene por la fórmula

$$\Sigma = \frac{a}{1-r}$$

en la que " a " es el valor numérico de su primer término, y " $r < 1$ " es la razón geométrica correspondiente.

3) CONSTRUCCIÓN DEL MODELO PROPUESTO3A) ICOSAEDRO GENERADOR "P₂₀" REGULAR CONVEXO, DE CARAS VACIADAS.

La arista se deduce de la fórmula (4) de este ejercicio:

$$a_{20} = 2 \sqrt{\frac{5-\sqrt{5}}{10}} r_{ec}^{20} \approx 1,05146224... \times 110 \approx 115,7 \text{ mm}$$

PIEZA Nº 1 CARAS SUPERFICIALES TRIANGULARES EQUILÁTERAS 20 unidades

Iguales a la pieza nº 1 del modelo M-5.102

PIEZA Nº 2 UNIONES ARISTAS 30 unidades

Iguales a la pieza nº 2 del modelo M-5.102

3B) DODECAEDRO REGULAR CONVEXO "P₁₂¹" CONJUGADO DEL ICOSAEDRO "P₂₀", DE CARAS VACIADAS

La arista "a₁₂¹" se deduce de la fórmula (5) de este ejercicio

$$a_{12}^1 = \frac{1}{3} \sqrt{\frac{10+2\sqrt{5}}{5}} r_{ec}^{20} = 0,567100539... \times 110 \approx 62,4 \text{ mm}$$

PIEZA Nº 3 CARAS SUPERFICIALES PENTAGONALES 12 unidades

La forma y dimensiones se detallan en la figura 1.

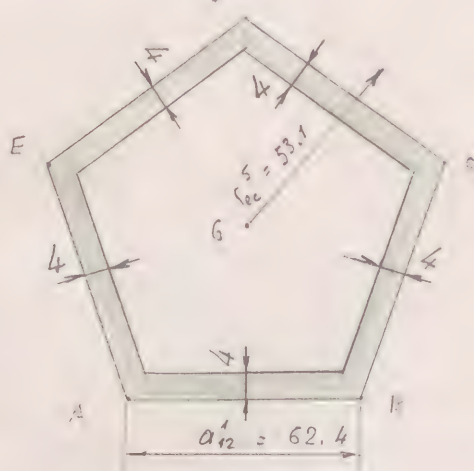


Figura 1

$$r_{ec}^s = \sqrt{\frac{5 + \sqrt{5}}{10}} \times d_s \approx 0,85065 \times 62,4 \approx 53,1 \text{ mm}$$

PIEZA N° 3

12 (u)

Figura 1

PIEZA N° 4

UNIONES ARISTAS

30 unidades

La forma y dimensiones se detallan en la figura 2

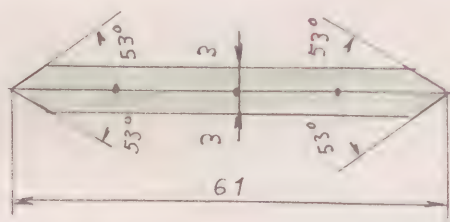


Figura 2

PIEZA N° 4 30 (u)

Figura 2

3C) PIRÁMIDES AUXILIARES DE CARAS TRIANGULARES, RECTAS Y PENTAGONALES, PARA FIJACIÓN DE LOS VÉRTICES DEL ICOSAEDRO REGULAR "P₂₀" A LAS CARAS DEL DOCAEDRO REGULAR "P₁₂¹".

La arista lateral " a_5 " de estas pirámides auxiliares, se obtiene de la fórmula " $a_5 = \sqrt{\frac{10 - 2\sqrt{5}}{15}} r_{ec}^{20}$ " (Ver fórmula (7) del ejercicio M-10.2). La longitud de la base de dichas pirámides es la de la arista " a_{12}^1 " del dodecaedro conjugado " P_{20}^1 " (Ver fórmula (5) de este ejercicio). Por consiguiente, será:

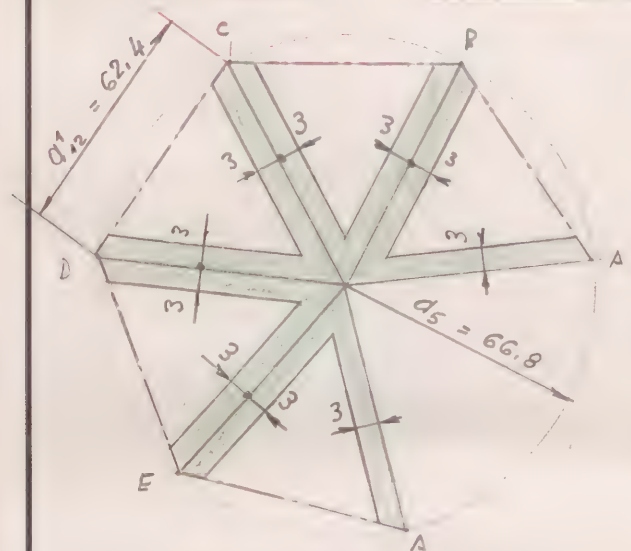


$$d_5 = \sqrt{\frac{10 - 2\sqrt{5}}{15}} r_{ec}^{20} \approx 0.607061998 \dots \times 110 \approx 66.8 \text{ mm}$$

PIEZA N° 5 DESARROLLO DE LAS PIRÁMIDES AUXILIARES 3C)

12 unidades

La forma y dimensiones se detallan en la figura 3



$$\overline{AB} = \overline{BC} = \overline{CD} = \overline{DE} = \overline{EA} = 62.4 \text{ mm}$$

PIEZA N° 5 12 (u)

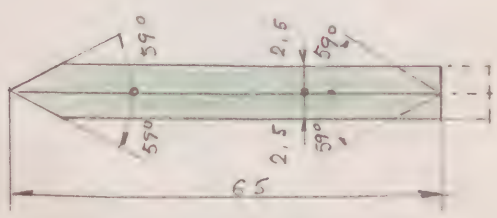
Figura 3

Figura 3

NOTA: La figura 3 es igual a la figura 8 del ejercicio M - 10.2.

PIEZA N° 6 UNIONES ADISTAS 60 unidades

La forma y dimensiones se detallan en la figura 4



PIEZA N° 6 60 (u)

Figura 4

Figura 4

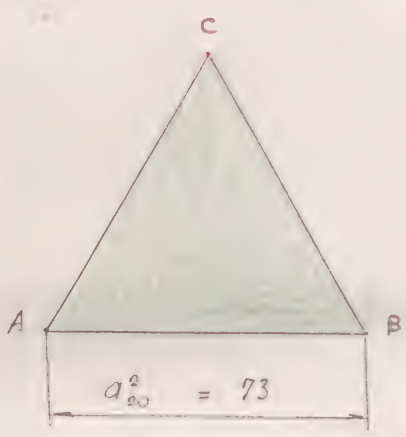
3D) ICOSAEDRO "P₂₀" CONJUGADO DEL DODECAEDRO "P₁₂"
REGULAR CONVEXO, DE CARAS MACIZAS.

la arista " a_{20}^2 " se deduce de la fórmula (7) de este ejercicio:

$$a_{20}^2 = \frac{\sqrt{2(25 + 11\sqrt{5})}}{15} \cdot 190 \approx 0,663972876... \times 190 = 78,0 \text{ m m}$$

PIEZA N° 7 CARAS SUPERFICIALES TRIANGULARES REGULARES

20 unidades



La forma y dimensiones se detallan en la figura 5

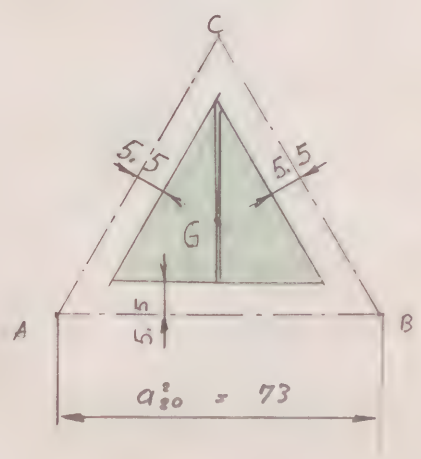
PIEZA N° 7 20 (u)

Figura 5

Figura 5

PIEZA N° 8 REFUERZO NORMAL INTERIOR DE LAS CARAS SUPERFICIALES

20 unidades



La forma y dimensiones se deducen de las del triángulo ABC de la figura 5, y se detallan en la figura 6.

PIEZA N° 8 20 (u)

Figura 6

Figura 6

PIEZA N° 9 REFUERZO TRANSVERSAL INTERIOR DE LAS CARAS SUPERFICIALES

40 unidades

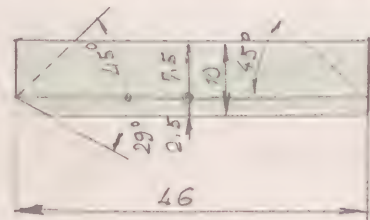
La forma y dimensiones se detallan en la figura 7; en

Calvaria

Noiembre 1981



colocación, en la figura 6.



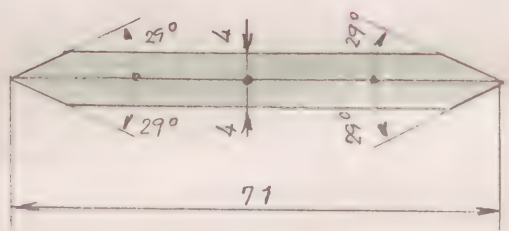
PIEZA N° 9 40 (u)

Figura 7

Figura 7

PIEZA N° 10 UNIONES ARISTAS 30 unidades

La forma y dimensiones se detallan en la figura 8



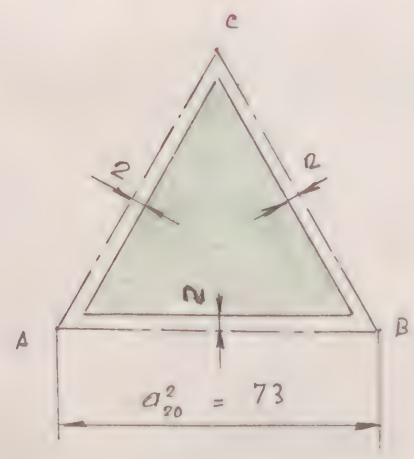
PIEZA N° 10 30 (u)

Figura 8

Figura 8

PIEZA N° 11 FORRO COLOREADO 20 unidades

La forma y dimensiones se deducen de las del triángulo ABC de la figura 5, y se detallan en la figura 9



PIEZA N° 11 20 (u)

Figura 8

Figura 9

3E) PIRÁMIDES AUXILIARES DE CARAS VACIADAS, RECTAS Y TRIANGULARES, PARA FIJACIÓN DE LOS VÉRTICES DEL DODECAEDRO REGULAR "P¹" A LAS CARAS DEL ICOSAEDRO "P²"



Para obtener el desarrollo lateral de estas pirámides auxiliares, se precisa conocer previamente las siguientes magnitudes:

3E.1) Longitud " a_{20}^2 " de la arista de la base triangular.

3E.2) Longitud " a_3^2 " de la arista lateral.

3E.1) La longitud de la base, es igual a la de la arista " a_{20}^2 " del icosaedro " P_{20}^2 ", ya calculada en este ejercicio (ver fórmula 7). Su valor numérico es:

$$a_{20}^2 = \sqrt{\frac{2(25 + 11\sqrt{5})}{15}} r_{cc}^{20} \approx 0,663972876... \times 110 = 73,0 \text{ mm}$$

3E.2) La longitud de la arista lateral " a_3^2 " de la pirámide auxiliar triangular, se obtiene teniendo en cuenta que uno de sus extremos es coincidente con un vértice del dodecaedro " P_{12}^1 ", y el otro extremo está situado en el centro G' de una cara del mismo. (por ser P_{20}^2 conjugado del P_{12}^1). En la figura 10, se representa una cara ABCDE del dodecaedro regular

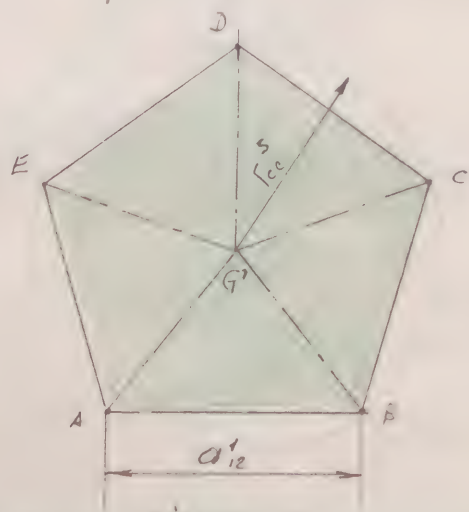


Figura 10

P_{12}^1 y su baricentro G' , en la que el segmento DG' es el buscado " $a_3^2 = r_{cc}^5$ ".

Por consiguiente, tendremos:

$$a_3^2 = r_{cc}^5 = \sqrt{\frac{5 + \sqrt{5}}{10}} l_5 \quad (\text{ver fórmula 8})$$

omula (3) del ejercicio G.P. 1.400-44.] y tambien:

$\boxed{a_{12}^1 = l_5 = \frac{1}{3} \times \sqrt{\frac{10+2\sqrt{5}}{5}} r_{ec}^{20}}$ (en fórmula (5) de este ejercicio). Sustituyendo valores, tendremos:

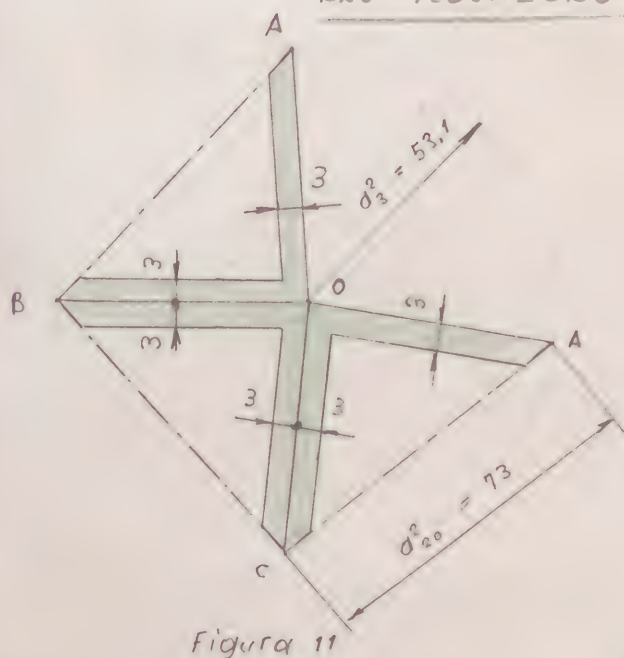
$$\boxed{a_3^2} = r_{ec}^5 = \sqrt{\frac{5+\sqrt{5}}{10}} l_5 = \sqrt{\frac{5+\sqrt{5}}{10}} \times \frac{1}{3} \sqrt{\frac{10+2\sqrt{5}}{5}} r_{ec}^{20} =$$

$$= \frac{1}{3} \sqrt{\frac{(5+\sqrt{5})(5+\sqrt{5}) \times 2}{150}} r_{ec}^{20} = \frac{1}{3} \sqrt{\frac{(5+\sqrt{5})^2}{25}} r_{ec}^{20} = \frac{5+\sqrt{5}}{15} r_{ec}^{20}$$

El valor numérico es:

$$\boxed{a_3^2} = \frac{5+\sqrt{5}}{15} \times 110 \approx 0,482404532 \dots \approx \boxed{53,1 \text{ mm}}$$

PIEZA N° 12 DESARROLLO LATERAL DE LAS PIRÁMIDES AUXILIARES TRIANGULARES, RECTAS, REGULARES, DE CARAS VACIADAS, PARA FIJACIÓN DE LOS VÉRTICES DEL DODECAEDRO "P₁₂¹" A LAS CARAS ICOSAEDRO "P₂₀²" 20 unidades



La forma y dimensiones se detallan en la figura 11.

$$\overline{AB} = \overline{BC} = \overline{CA} = 73 \text{ mm}$$

PIEZA N° 12 20(u)

Figura 11

NOTA. La figura 11 es semejante a la figura 6 del modelo M-9.2.

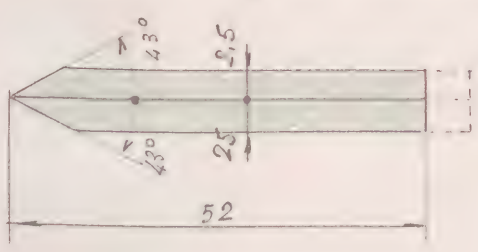


PIEZA N° 13

UNIONES ARISTAS

60 unidades

La forma y dimensiones se detallan en la figura 12



PIEZA N° 13

60 (u)

Figura 12

Figura 12



MODELO M - 10.3

Patrones



EJEMPLO

POLIEDRO CÓNCAVO FORMADO POR
LA INTERSECCIÓN DE DOS TETRAE-
DROS REGULARES CONVEXOS, CON-
JUGADOS POR SUS ARISTAS. ———

Radio de la esfera circunscrita

$$r' = 110 \text{ mm.}$$

ENUNCIADO: Construir el modelo corpóreo del poliedro cóncavo obtenido por la intersección de dos tetraedros regulares convexos, conjugados por sus aristas.

El tetraedro conjugado por las aristas de otro tetraedro regular convexo, se obtiene al trazar por los puntos medios de las aristas del tetraedro dado, rectas perpendiculares al plano " π " determinado por cada una de las aristas del dado y el centro " O " de su esfera circunscrita.

Estas perpendiculares se cortan tres a tres en puntos que son los vértices de otro tetraedro regular convexo, igual al dado y que se denomina "conjugado por las aristas", las cuales a más de ser perpendiculares, se cortan en sus respectivos puntos medios.

El modelo M-12.1, que estudiamos ahora, está formado por dos tetraedros regulares convexos iguales, conjugados por sus aristas y de caras macizas, con centro " O " común.

DATO: Radio " r' " de la esfera circunscrita a los dos tetraedros:

$$r' = 110 \text{ mm}$$

Este poliedro ha sido estudiado en el ejercicio G.E. 2
representado en la lámina 12.



La longitud de la arista de los dos tetraedros conjugados iguales se deduce de la fórmula n° (3) del ejercicio G.E., en la que se relaciona el radio r_{ec}^4 de la esfera circunscrita con la arista a_4 del tetraedro regular convexo inscrito en la misma, o sea:

$$r_{ec}^4 = r' = 110 = \frac{\sqrt{6}}{4} a_4 ; \quad \text{de donde} \quad a_4 = r' \times \frac{4}{\sqrt{6}} =$$

$$= r' \times \frac{4\sqrt{6}}{6} = \frac{2\sqrt{6}}{3} \times 110 \approx 1.632993162... \times 110 \approx$$

$$= 179,6 \text{ m.m.}$$

Para la construcción de este modelo se precisan las siguientes piezas:

1) TETRAEDRO REGULAR CONVEXO DADO, DE ARISTA

$$a_4 = 179,6 \text{ m.m.}$$

Este tetraedro se compone de las siguientes piezas:

PIEZA N° 1 CARAS SUPERFICIALES 4 unidades

Por (Fig. 1) triángulo equilátero de lado $l_3 = d_4 = 179.6 \text{ mm}$

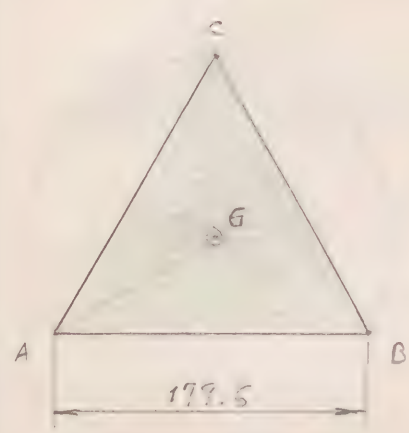


Figura 1

PIEZA N° 1 4 unidades

Figura 1

PIEZA N° 2 REFUERZO NORMAL DE LAS CARAS SUPERFICIALES

4 unidades

La forma y dimensiones se representan en la figura 2 y se deducen de las del triángulo ABC de la figura 1.

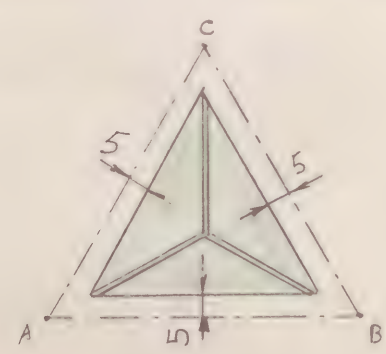


Figura 2

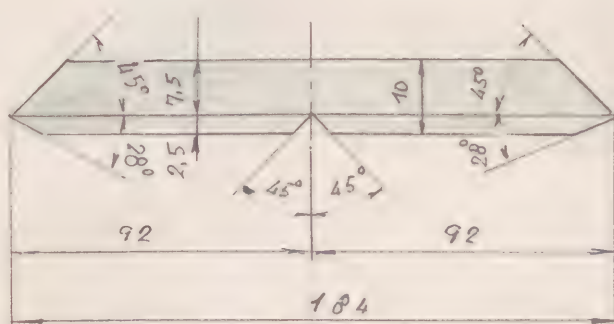
PIEZA N° 2 4 (U)

Fig. 2

PIEZA N° 3 REFUERZO TRANSVERSAL DE LAS CARAS SUPERFICIALES 12 unidades

Se colocan en la dirección de las bisectrices del triángulo de las caras

superficiales (fig. 2) y su forma y dimensiones se detallan en la figura 3.



PIEZA N° 3

12 (U)
(simétricas
2 a 2)

Fig. 3

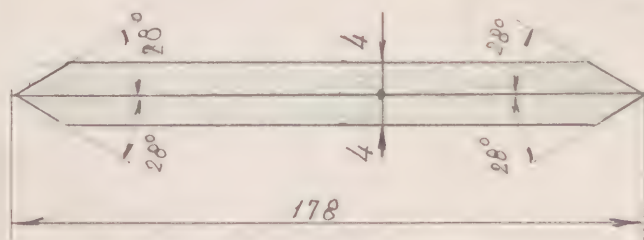
Figura 3

PIEZA N° 4

UNIONES ARISTAS

6 unidades

La forma y dimensiones se detallan en la figura 4



PIEZA N° 4

6 (U)

Fig. 4

Figura 4

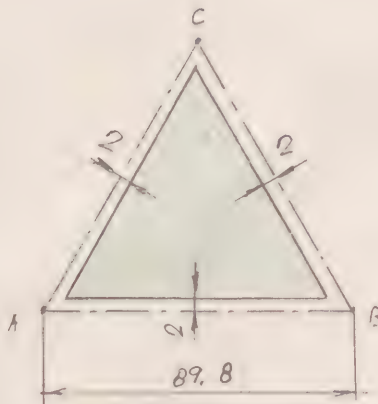
PIEZA N° 5

FORRO COLOREADO EN ZONAS VISTAS DE LAS CARAS

LATERALES Y PIRÁMIDES APARENTES 24 unidades

(12 de un color 2)
12 de otro

La forma y dimensiones se representan en la figura 5, y se deducen de los del triángulo ABC de lado mitad de la arista ($l_3 = \frac{179.6}{2} = 89.8 \text{ mm.}$)



PIEZA N° 5

12 (u) de un lado
12 (u) de otro

Fig. 5

Figura 5

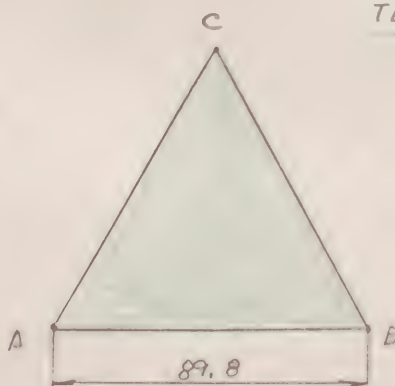
- 2) TETRAEDRO REGULAR CONJUGADO INSCRITO EN LA MISMA ESFERA QUE EL TETRAEDRO 1), DE ARISTA $a_4 = 179,6 \text{ mm}$

En el modelo, solo aparece de este tetraedro conjugado, cuatro pirámides de tres caras triangulares y equiláteras, cuyo lado es $l_3 = 89,8 \text{ mm}$. mitad de la longitud de su arista.

Para la construcción de estas pirámides se precisan las siguientes piezas:

PIEZA N° 6

CARAS LATEDALES DE LAS PIRÁMIDES APARENTES
12 unidades



Son (fig. 6) triángulos equiláteros de lado $l_3 = 89,8 \text{ mm}$.

PIEZA N° 6

12 (u)

Fig. 6

Figura 6

PIEZA N° 7

REFUERZO NORMAL DE LAS CARAS LATERALES DE
LAS PIRÁMIDES APARENTES

12 unidades

La forma y dimensiones se representan en la figura 7, y se deducen del triángulo ABC de la figura 6

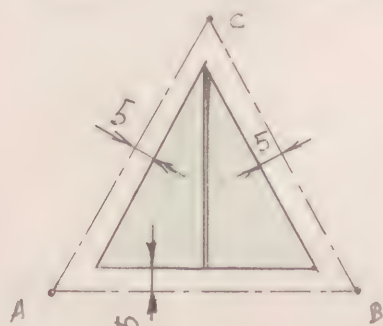


Figura 7

PIEZA N° 7

12 (U)

Fig. 7

PIEZA N° 8

REFUERZO TRANSVERSAL DE LAS CARAS LATE-
RALES DE LAS PIRÁMIDES APARENTES

24 unidades

Se colocan en la dirección indicada en la fig. 7 y en forma y dimensiones se detallan en la figura 8.

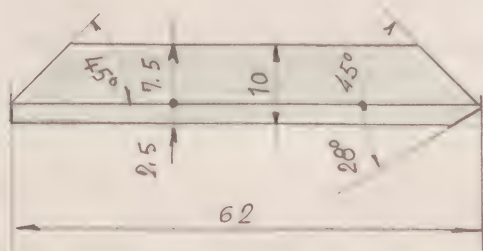


Figura 8

PIEZA N° 8

24 (U)

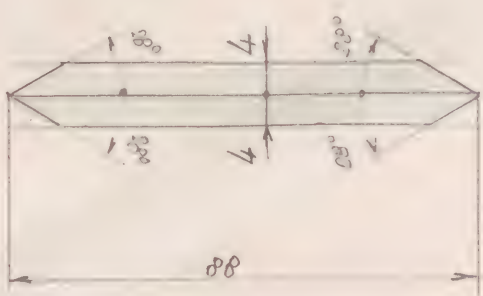
Fig. 8

PIEZA N° 9

UNIONES ARISTAS DE LAS CARAS LATERA-
LES DE LAS PIRÁMIDES APARENTES

24 unidades

La forma y dimensiones se detallan en la figura 9.



PIEZA N° 9

24 (11)

Fig. 9

Figura 9

PIEZA N° 5
FERRA COLUCCARO
12 (u) de m. eda.
12 (u) de m. eda.
24 (u)

Fig. 5

PIEZA N° 1

Fig. 1

4 (u)

PIEZA N° 2

4 (u)

Fig. 2

PIEZA N° 7

12 (u)

Fig. 7

PATRONES

(2)

Modelo M- 12.1

12 (u)

PIEZA N° 3

23 (u)

Figura 3

Figura 4

6 (u)

PIEZA N° 4

PIEZA N° 6

12 (u) · 3 = 4(u)

Fig. 6

PIEZA N° 8

24 (u)

Figura 8

PIEZA N° 9

24 (u)

Figura 9

RESULTADO

Variante del modelo M-12.1

POLIEDRO CÓNCAVO FORMADO POR

LA INTERSECCIÓN DE DOS TETRAE-

DROS REGULARES CONVEXOS, CONJUGA-

DOS POR SUS ARISTAS. _____

Radio de la esfera circunscrita:

$$r' = 76.1 \text{ m m.}$$

ENUNCIADO: Construir el modelo corpóreo del poliedro concavo obtenido por la intersección de dos tetraedros regulares convexos, conjugados por sus aristas.

Variante del modelo M-12.1

El modelo que se estudia tiene las mismas características que el estudiado en el modelo M-12.1, y varía tan sólo en el radio de la esfera circunscrita a los mismos que es de 76.1 mm en el actual y en el M-12.1 era de 110 mm, siendo por consiguiente el estudiado actualmente de menor tamaño que el estudiado en el M-12.1.

El factor lineal o escala de reducción será pues:

$$E = \frac{76.1}{110} = 0.6918... \approx 0.6918 \quad (1)$$

que aplicaremos en el cálculo de las magnitudes lineales del presente modelo. Así pues, la arista a_4 de los dos tetraedros regulares convexos conjugados, será:

$$a_4 = 179.6 \times 0.6918 \approx 124.3 \text{ mm} \quad y$$

$$\frac{a_4}{2} = \frac{124.3}{2} = 62.2 \text{ mm}$$

Para la construcción de este modelo se precisan las siguientes piezas:

1) TETRAEDRO REGULAR CONVEXO DADO, DE ARISTA

$$d_u = 124,3 \text{ mm}$$

PIEZA N° 1

CARAS SUPERFICIALES

4 unidades

Los triángulos equiláteros y en forma y dimensiones se detallan en la figura 1

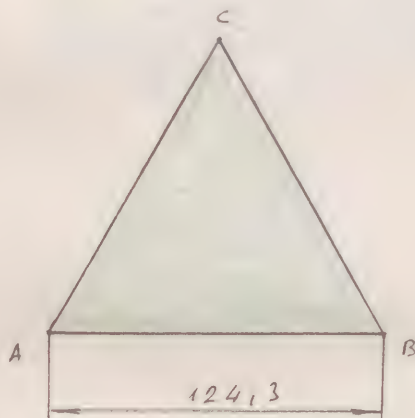


Figura 1

PIEZA N° 1

4 (U)

Figura 1

PIEZA N° 2

REFUERZO NORMAL DE LAS CARAS SUPERFI-

CIALES

4 unidades

La forma y dimensiones se detallan en la figura 2, 2 se deducen de las del triángulo ABC de la figura 1

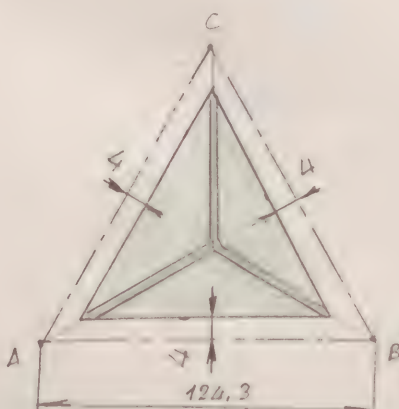


Figura 2

PIEZA N° 2

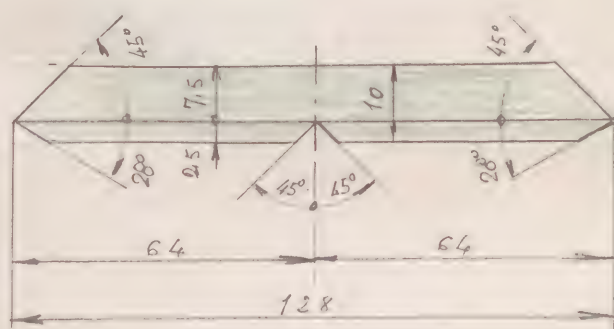
4 (U)

Figura 2



PIEZA N° 3 REFUERZO TRANSVERSAL DE LAS CARAS SU-
PERFICIALES 12 unidades

Se colocan en la dirección de las bisectrices del triángulo de las caras superficiales (fig. 2), y su forma y dimensiones se detallan en la figura 3.



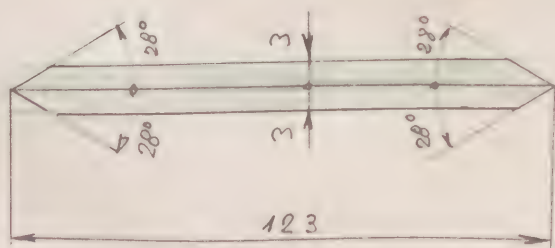
PIEZA N° 3 12 (u)
(simétricas)
2 a 2

Figura 3

Figura 3

PIEZA N° 4 UNIONES ARISTAS 6 unidades

La forma y dimensiones se detallan en la figura 4



PIEZA N° 4 6 (u)

Figura 4

Figura 4

PIEZA N° 5 FORRO COLOREADO EN ZONAS VISTAS DE LAS CA-
RAS LATERALES Y PIRÁMIDES APARENTES 24 unidades
(12 de un color y
12 de otro)

La forma y dimensiones se representan en la figura 5, y se deducen de las del triángulo ABC de lado mitad de la arista ($l_3 = \frac{124,3}{2} = 62,2 \text{ mm}$)

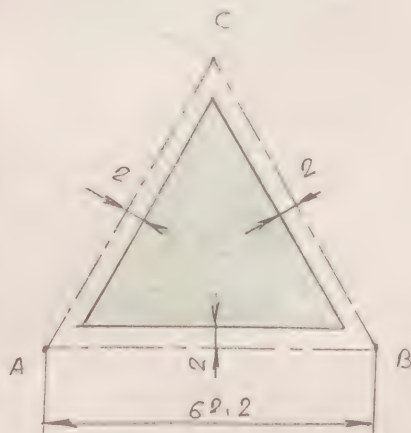


Figura 5

PIEZA N° 5 24 (u)

Figura 5

2) TETRAEDRO REGULAR CONJUGADO, INSCRITO EN LA MISMA ESFERA QUE EL TETRAEDRO 1), DE ARISTA $d_4 = 124,3 \text{ mm}$

En el modelo, sólo aparece de este tetraedro conjugado, cuatro pirámides de tres caras triangulares y equiláteras, cuyo lado es $l_3 = 62,2 \text{ mm}$, mitad de la longitud de su arista. Para la construcción de estas pirámides se precisan las siguientes piezas:

PIEZA N° 6 CARAS LATERALES DE LAS PIRÁMIDES
APARENTES 12 unidades

Son (figura 6) triángulos equiláteros de lado

$$l_3 = 62,2 \text{ mm}$$

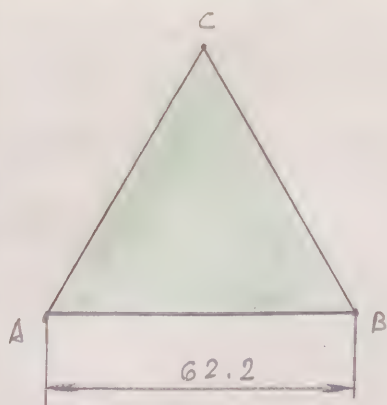


Figura 6

PIEZA N° 6

12 (u)

Figura 6

PIEZA N° 7 REFUERZO NORMAL DE LAS CARAS LATERALES
DE LAS PIRÁMIDES APARENTES 12 unidades

La forma y dimensiones se detallan en la figura 7, y se deducen de las del triángulo ABC de la figura 6

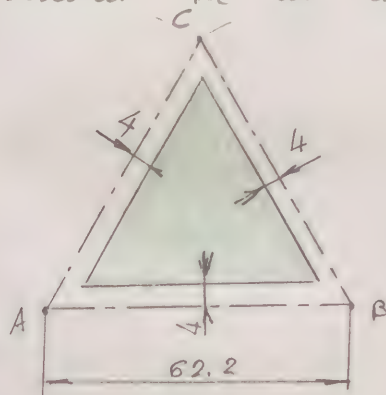


Figura 7

PIEZA N° 7

12 (u)

Figura 7

PIEZA N° 8 UNIONES ADISTAS DE LAS CARAS LATERALES
DE LAS PIRÁMIDES APARENTES 24 unidades

La forma y dimensiones se detallan en la figura 8

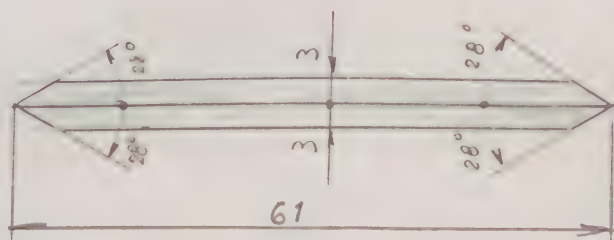


Figura 8

PIEZA N° 8

24 (u)

Figura 8

Variante del modelo M-12.2

POLIEDRO CÓNCAVO FORMADO POR
LA INTERSECCIÓN DE DOS TETRAE-
DROS REGULARES CONVEXOS, CONJUGA-
DOS POR SUS ARISTAS.

Radio de la esfera circunscrita:

$$r' = 76.1 \text{ mm.}$$



Variante del modelo M-12.2

ENUNCIADO: Construir el modelo corpóreo del poliedro cóncavo obtenido por la intersección de dos tetraedros regulares convexos, conjugados por sus aristas.

El modelo que se estudia puede considerarse como una variante del modelo anterior M-12.2.

Los dos tetraedros regulares conjugados son de igual tamaño que los del M-12.2, siendo el dado de caras macizas y el conjugado de caras vaciadas.

Para la construcción de este modelo, se precisan las siguientes piezas:

1) TETRAEDRO REGULAR CONVEXO DADO, DE ARISTA

$$a_4 = 124,3 \text{ mm}$$

Este tetraedro es igual al del modelo M-12.2, siendo pues:

PIEZA N° 1 CARAS SUPERFICIALES 4 unidades

Igual a la pieza n° 1 (fig. 1) del modelo M-12.2

PIEZA N° 2 REFUERZO NORMAL DE LAS CARAS SUPERFICIALES 4 unidades

Igual a la pieza n° 2 (fig. 2) del modelo M-12.2

PIEZA N° 3 REFUERZO TRANSVERSAL DE LAS CARAS SUPERFICIALES 12 unidades

Igual a la pieza n° 3 (fig. 3) del modelo M-12.2

PIEZA N° 4 UNIONES ARISTAS 6 unidades

Igual a la pieza n° 4 (fig. 4) del modelo M-12.2

PIEZA N° 5 FORRO COLOREADO DE LAS CARAS SUPERFICIALES 4 unidades

La forma y dimensiones se detallan en la figura 1 de este modelo

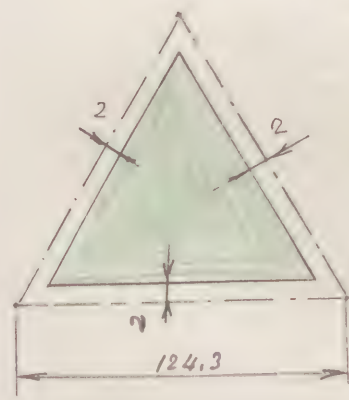


Figura 1

PIEZA N° 5 6 (11)

Figura 1

2) CUATRO TETRAEDROS REGULARES DE CARAS VACIADAS.
Y ARISTAS $d_4 = \frac{124,3}{2} = 62,2 \text{ mm.}$

Estos cuatro tetraedros son los que se obtienen en el conjugado

UNE A 4-210 x 287

Calvar

Febrero 1979



del 1) al ser cortado por las caras de aquí en los puntos medios de éste. Para en construcción se precisan las siguientes piezas:

PIEZA Nº 6 DESARROLLO DE LAS TRES CARAS LATERALES
EN CADA VÉRTICE 4 unidades

Igual a la pieza nº 7 (fig. 5) del modelo M-19.3

PIEZA Nº 8 UNIONES ARISTAS 12 unidades

Igual a la pieza nº 8 (fig. 6) del modelo M-19.3

MODELO CORPÓREO DEL POLIEDRO

CÓNCAVO OBTENIDO POR LA IN-

TERSECCIÓN DEL DODECAEDRO E

ICOSAEDRO REGULARES CONVEXOS,

CONJUGADOS AMBOS POR SUS A-

RISTAS _____

Radio de la esfera circunscrita
al icosaedro:

$$r' = 110 \text{ mm}$$



ENUNCIADO: Construir el modelo corpóreo del poliedro concavo, obtenido por la intersección del dodecaedro e icosaedro regulares convexos, conjugados ambos por sus aristas.

Se dice que un dodecaedro y un icosaedro regulares y convexos, son conjugados por sus aristas, cuando sus respectivas aristas se cortan dos a dos perpendicularmente.

En estas circunstancias, los radios de sus esferas circunscritas, de centro común, son de longitudes diferentes, siendo el del icosaedro mayor que el del dodecaedro.

Este poliedro ha sido estudiado en el ejercicio G.E. y representado en la lámina nº 18.

Se toma como dato único el radio r_{ec}^{20} de la esfera circunscrita al icosaedro

DATO: Radio " r_{ec}^{20} " de la esfera circunscrita al icosaedro:

$$r_{ec}^{20} = 110 \text{ mm}$$

La construcción de este modelo la realizamos con las caras macizas en ambos poliedros generadores

Para ello se precisan las siguientes piezas:

1) ICOSAEDRO REGULAR CONVEXO DE CARAS MACIZAS

PIEZA N° 1

CADAS SUPERFICIALES

20 unidades

Son triángulos equiláteros, cuya forma y dimensiones se detallan en la figura 1

La longitud de su arista a_{20} , se deduce de la fórmula
m^p del ejercicio G.E. despejando en ella a_{20}

$$\boxed{r_{ec}^{20}} = \frac{\sqrt{10 + 2\sqrt{5}}}{4} a_{20} \quad \text{de donde} \quad \boxed{a_{20}} = \frac{4}{\sqrt{10 + 2\sqrt{5}}} r_{ec}^{20} =$$

$$= \sqrt{\frac{16}{10 + 2\sqrt{5}}} r_{ec}^{20} = \sqrt{\frac{8}{5 + \sqrt{5}}} r_{ec}^{20} = \sqrt{\frac{8(5 - \sqrt{5})}{20}} r_{ec}^{20} = \sqrt{\frac{4(5 - \sqrt{5})}{10}} r_{ec}^{20} =$$

$$= 2 \sqrt{\frac{5 - \sqrt{5}}{10}} r_{ec}^{20} \approx 1,05146224... \times 110 \approx 115,6608446... \approx \boxed{115,7 \text{ mm}}$$

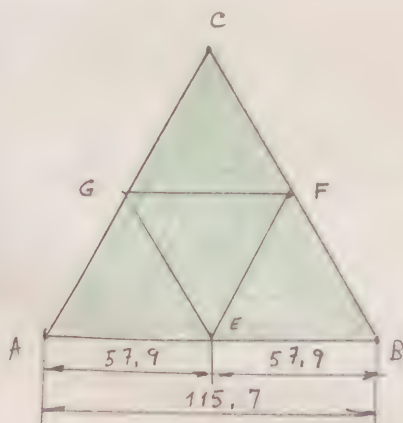


Figura 1

PIEZA N° 1 20 (u)

Figura 1

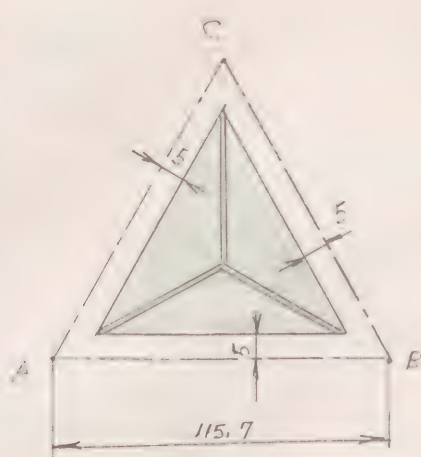
Marcar el triángulo para situación del dodecaedro

PIEZA N° 2

REFUEZO NORMAL INTERIOR

20 unidades

La forma y dimensiones se obtienen de las del triángulo ABC de la figura 1, y se detallan en la figura 2



PIEZA N° 2

20 (u)

Figura 2

Figura 2

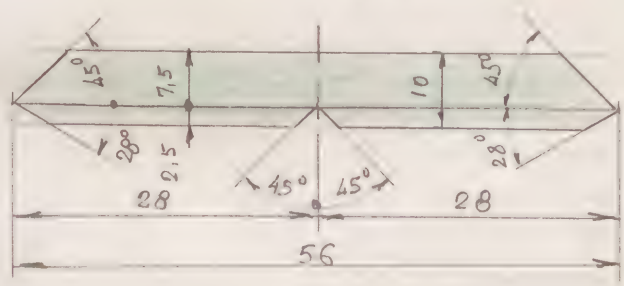
PIEZA N° 3

REFUERZO TRANSVERSAL INTERIOR

60 unidades

(simétricas 2 a 2)

La forma y dimensiones se detallan en la figura 3; su colocación en la figura 2.



PIEZA N° 3

60 (u)
(simétricas)

Figura 3

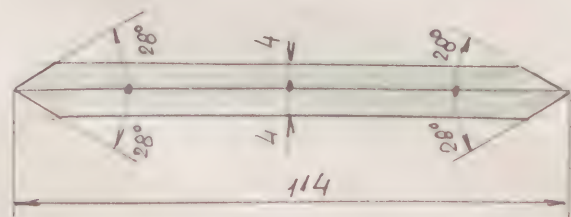
Figura 3

PIEZA N° 4

UNIONES ARISTAS

30 unidades

La forma y dimensiones se detallan en la figura 4



PIEZA N° 4

30 (u)

Figura 4

Figura 4



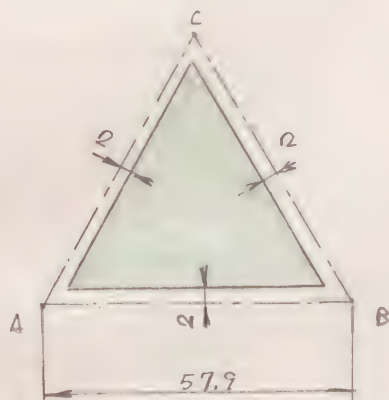
PIEZA N° 5

FORRO COLOREADO

60 unidades

Se triángulos equiláteros y cubren parcialmente cada cara (tres triángulos en cada una).

La forma y dimensiones se detallan en la figura 5



PIEZA N° 5

60 (u)

Figura 5

Figura 5

2) DODECAEDRO REGULAR DE CARAS MACIZAS

La parte aparente del dodecaedro, se reduce a veinte pirámides triangulares producidas por truncadura de sus vértices en el centro de sus aristas.

La longitud de la arista a_{12} del dodecaedro generador, se deduce de la fórmula obtenida en el ejercicio a.e., bdm 17

$$a_{12} = \frac{\sqrt{5}-1}{2} \times a_{20} \quad \text{en la que sustituiremos } a_{20} \text{ por su valor (ver h 2)}$$

$$a_{12} = \frac{\sqrt{5}-1}{2} \times 2 \sqrt{\frac{5-\sqrt{5}}{10}} \times r_{ec}^{20} = \sqrt{\frac{(5-\sqrt{5})(5+1-2\sqrt{5})}{10}} \times r_{ec}^{20} =$$

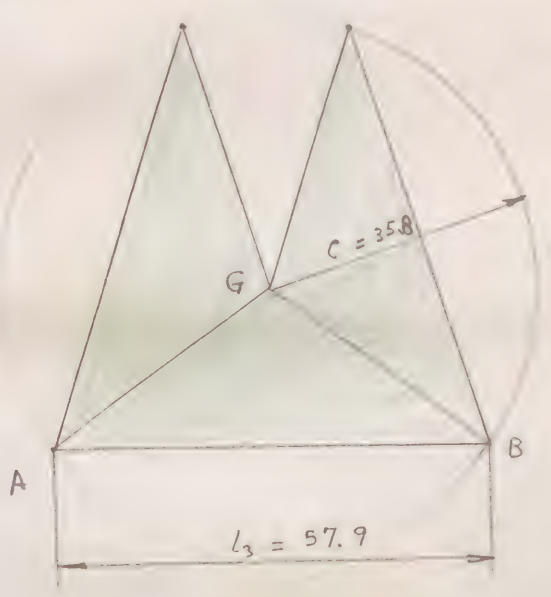
$$= \sqrt{\frac{(5-\sqrt{5})(2-\sqrt{5})}{5}} \times r_{ec}^{20} = \sqrt{\frac{15-3\sqrt{5}-5\sqrt{5}+5}{5}} \times r_{ec}^{20} = 2 \sqrt{\frac{5-2\sqrt{5}}{5}} \times r_{ec}^{20} =$$

$$\approx 0.649839393 \times 110 \approx 71.48333333 \approx 71.5 \text{ mm}$$

PIEZA N° 6 DESARROLLO LATERAL DE LAS PIRÁMIDES APA-
DENTES 20 unidades

Son pirámides rectas triangulares. Su arista lateral 'c' tie-
ne la longitud $\boxed{c} = \frac{a_{12}}{2} = \frac{71,5}{2} = \boxed{35,8 \text{ mm}}$ y el lado del
triángulo equilátero de su base: $\boxed{l_3} = \frac{a_{20}}{2} = \frac{115,7}{2} = \boxed{57,9 \text{ mm}}$

La forma y dimensiones se detallan en la figura 6

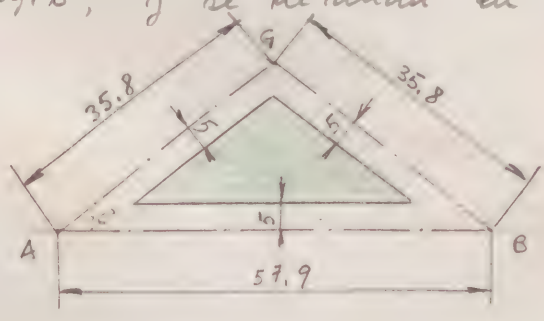


PIEZA N° 6 20 (u)

Figura 6

PIEZA N° 7 REFUERZO NORMAL INTERIOR 60 unidades

La forma y dimensiones se deducen del triángulo ABG de la
fig. 6, y se detallan en la figura 7



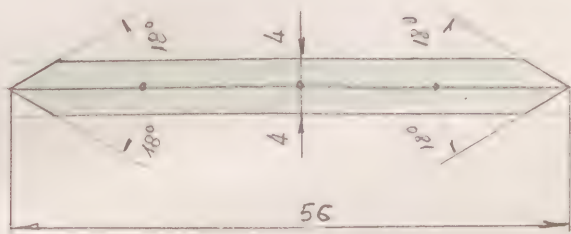
PIEZA N° 7 60 (u)

Figura 7

Figura 7

PIEZA N° 8 UNIONES ARISTAS EN LA BASE DE LAS PIRAMIDES
LATERALES (lado AB, fig. 7) 30 unidades

La forma y dimensiones se detallan en la figura 8

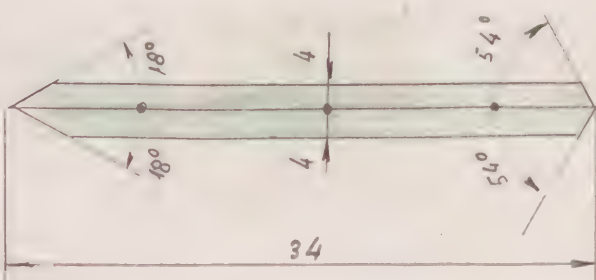


PIEZA N° 8 30 (u)

Figura 8

PIEZA N° 9 UNIONES ARISTAS EN CARAS PIRÁMIDES LATERA-
LES (lado AB = 58 fig. 7) 60 unidades

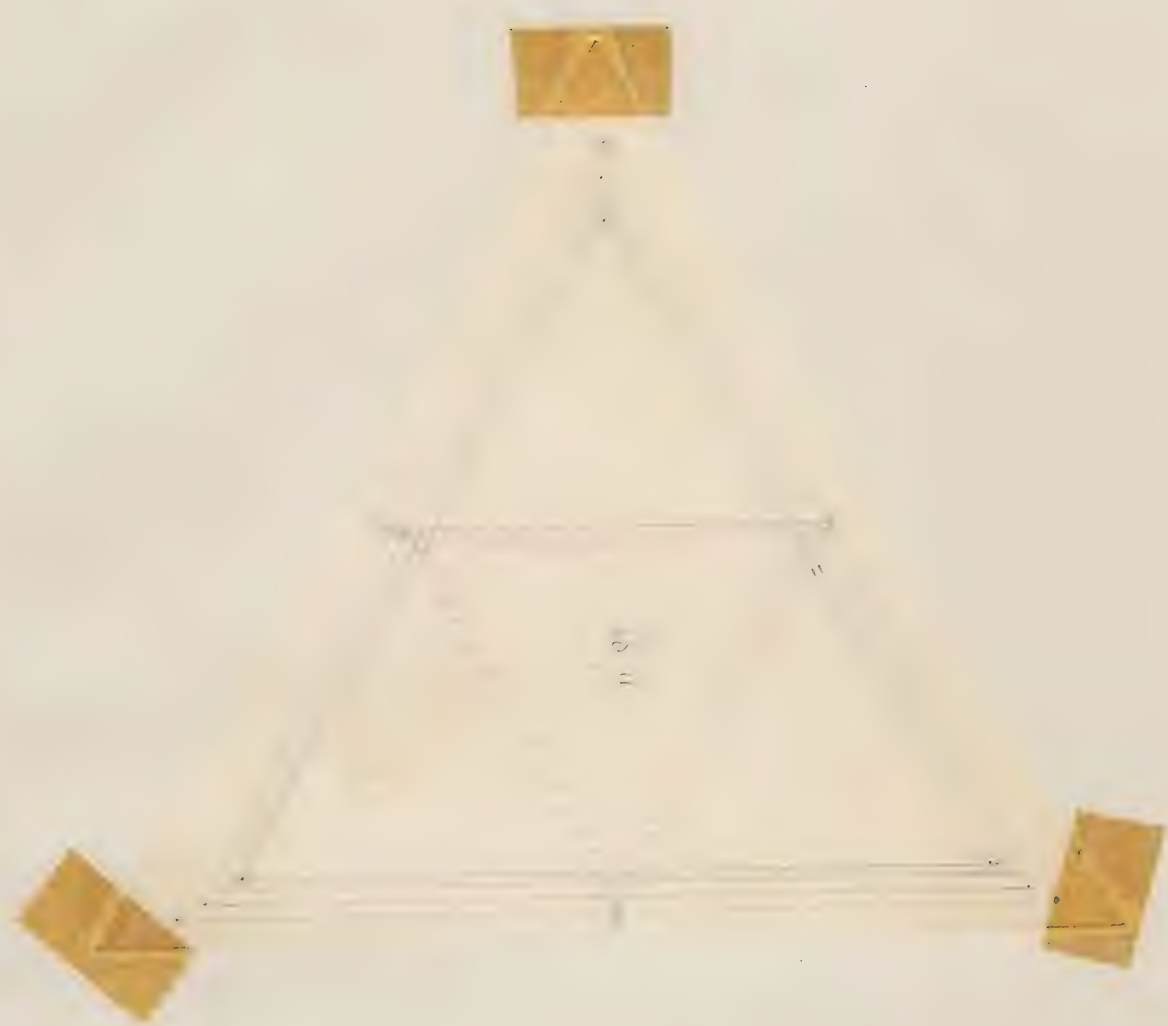
La forma y dimensiones se detallan en la figura 9



PIEZA N° 9 60 (u)

Figura 9

Figura 9



MODELO CORPÓREO EN EL QUE SE
 PONE DE MANIFIESTO QUE EL PO-
 LIEDRO CÓNCAVO DEL MODELO M-18.1,
 ES INSCRIPTIBLE EN EL POLIEDRO CON-
 VEXO DEL MODELO M-32.2 ———

Radio de la esfera circunscrita común

$$r' = 110 \text{ m m}$$



ENUNCIADO: Construir el poliedro cóncavo del modelo M-18.1,
e inscribirlo en el poliedro convexo del mode-
lo M-32.2

El modelo M-18.1, de caras macizas, es un poliedro cóncavo obtenido por la intersección de un dodecaedro y un icosaedro, regulares, convexos y conjugados por sus aristas. Al unir los extremos de cada dos aristas que se cortan perpendicularmente, se obtienen caras planas rómbicas, cuyo conjunto forman el poliedro convexo del modelo M-32.2. Las diagonales de las caras rómbicas son las aristas del dodecaedro e icosaedro generadores, lo que demuestra que son vértices del mencionado modelo M-32.2, por lo cual puede ser inscrito en el modelo M-18.1, por ser coincidentes sus vértices.

El modelo que estudiamos, tiene macizas las caras del poliedro cóncavo M-18.1, y huecas las del M-32.2

Para la construcción de este modelo se precisan las siguientes piezas:

1) POLIEDRO EXTERIOR DE CARAS HUECAS

PIEZA N° 1 CARAS SUPERFICIALES

30 unidades

Iguales a las de la fig. 1 del modelo M-32.2

PIEZA N° 2 UNIONES ARISTAS 60 unidades

Iguales a las de la figura 2 del modelo M-32.2

2) POLIEDRO INTERIOR DE CARAS MACIZAS

PIEZA N° 3 CARAS SUPERFICIALES 20 unidades

Iguales a las de la figura 1 del modelo M-18.1

PIEZA N° 4 REFUERZO NORMAL INTERIOR 20 unidades

Iguales a las de la figura 2 del modelo M-18.1

PIEZA N° 5 REFUERZO TRANSVERSAL INTERIOR 60 unidades

Iguales a las de la figura 3 del modelo M-18.1

PIEZA N° 6 UNIONES ARISTAS 30 unidades

Iguales a las de la figura 4 del modelo M-18.1

PIEZA N° 7FODRO COLOREADO60 unidades

Iguales a las de la figura 5 del modelo M-18.1

PIEZA N° 8DESARROLLO LATERAL DE LAS PIRÁMIDES A PA-
RENTES20 unidades

Iguales a las de la figura 6 del modelo M-18.1

PIEZA N° 9DEFUERZO NORMAL INTERIOR60 unidades

Iguales a las de la figura 7 del modelo M-18.1

PIEZA N° 10UNIONES ARISTAS EN LA BASE DE LAS PIRÁMIDES
LATERALES30 unidades

Iguales a las de la figura 8 del modelo M-18.1

PIEZA N° 11UNIONES ARISTAS EN CARAS PIRÁMIDES LATE-
RALES60 unidades

Iguales a las de la figura 9 del modelo M-18.1

Variante del modelo M-18.1

MODELO CORPÓREO DEL POLIEDRO

CÓNCAVO OBTENIDO POR LA INTER-

SECCIÓN DE UN DODECAEDRO E ICO-

SAEDRO REGULARES CONVEXOS, CON-

JUGADOS AMBOS POR SUS ARISTAS.

Radio de la esfera circunscrita

al icosaedro :

$$r' = 110 \text{ mm}$$

Variante del modelo M-18.1

ENUNCIADO: Construir el modelo corpóreo del poliedro cóncavo, obtenido por la intersección de un dodecaedro y un icosaedro regulares convexos, conjugados ambos por sus aristas.

Este modelo es análogo al estudiado en el M-18.1, y tiene con respecto a éste, las siguientes variantes:

- 1) El dodecaedro regular convexo es de caras macizas.
- 2) La parte aparente del icosaedro regular convexo, es de caras vaciadas.

Las dimensiones de este modelo son las mismas que las del M-18.1

Para la construcción de éste, se necesitan las siguientes piezas:

1) ICOSAEDRO REGULAR CONVEXO DE CARAS VACIADAS

PIEZA N° 1 PIRÁMIDES PENTAGONALES APARENTES, SOBRE

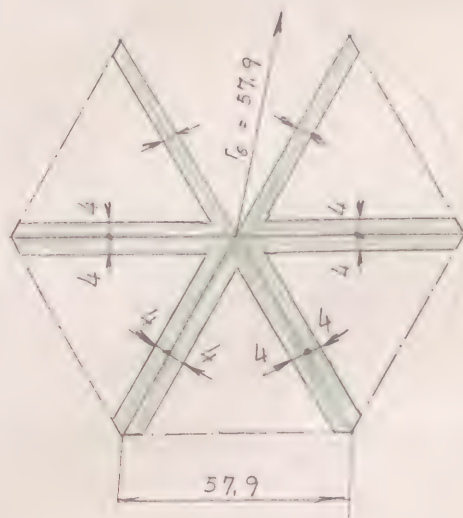
LAS CARAS DEL DODECAEDRO.

12 unidades

La forma y dimensiones de su desarrollo lateral se detallan en la figura 1.

Edwards

Febrero 1979

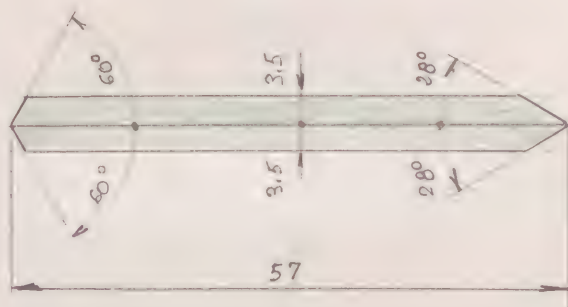


PIEZA N° 1 12 unidades

Figura 1

PIEZA N° 2 UNIONES ARISTAS 60 unidades

La forma y dimensiones se detallan en la figura 2



PIEZA N° 2 60 (u)

Figura 2

Figura 2

2) DODECAEDRO REGULAR CONVEXO DE CARAS MACIZAS

PIEZA N° 3 CARAS LATERALES 12 unidades

son iguales a la pieza 3, fig. 1 del modelo M-32.4 (arista " a_{12} " del dodecaedro; ver mod. M-18; 1. $a_{12} = 71.5 \text{ mm}$)

PIEZA N° 4 REFUERZO NOAMAL INTERIOR 12 unidades

Iguales a la pieza n° 4, fig. 2, del modelo M-32.4

PIEZA N° 5 REFUERZO TRANSVERSAL INTERIOR 36 unidades

Iguales a la pieza n° 5, figura 3, del modelo M-32.4

PIEZA N° 6 UNIONES ARISTAS 30 unidades

Iguales a la pieza n° 6, figura 4, del modelo M-32.4

PIEZA N° 7 PORRO COLOREADO 12 unidades

Iguales a la pieza n° 7, figura 5, del modelo M-32.4

PATIENCE

M 187

1875-1876
1876-1877

PATIENCE
1876-1877

Variante del modelo M-18.1

FIGURA

MODELO CORPÓREO DEL POLIEDRO

CÓNCAVO OBTENIDO POR LA INTER-

SECCIÓN DE UN DODECAEDRO Y DE

UN ICOSAEDRO REGULARES CONVEXOS

CONJUGADOS AMBOS POR SUS ADISTAS.

Radio de la esfera circunscrita

al icosaedro:

$$r' = 110 \text{ mm}$$

Variante del modelo M-18.1

ENUNCIADO: Construir el modelo corpóreo del poliedro cóncavo, obtenido por la intersección de un dodecaedro y un icosaedro regulares convexos, conjugados ambos por sus aristas.

Este modelo es análogo al estudiado en el M-18.1, y tiene con respecto a éste, las siguientes variantes:

1) La parte aparente del dodecaedro regular convexo, es de caras vaciadas.

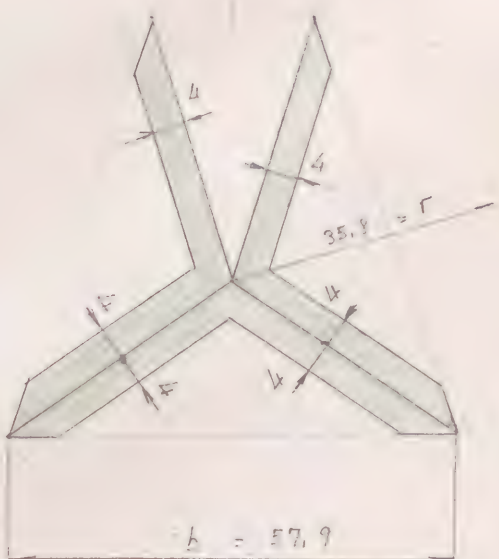
2) El icosaedro regular convexo, es de caras macizas. Las dimensiones de este modelo, son las mismas que las del M-18.1.

Para la construcción de éste, se necesitan las siguientes piezas:

1) DODECAEDRO REGULAR CONVEXO DE CARAS VACIADAS

PIEZA Nº 1 PIRÁMIDES TRIANGULARES APARENTES, SOBRE LAS CARAS DEL ICOSAEDRO 20 unidades

Las dimensiones de su desarrollo lateral, se detallan en la figura 1



$$r = \frac{d_{12}}{2} = \frac{71.5}{2} = 35.8 \text{ mm}$$

$$b = \frac{d_{20}}{2} = \frac{115.7}{2} = 57.9 \text{ mm}$$

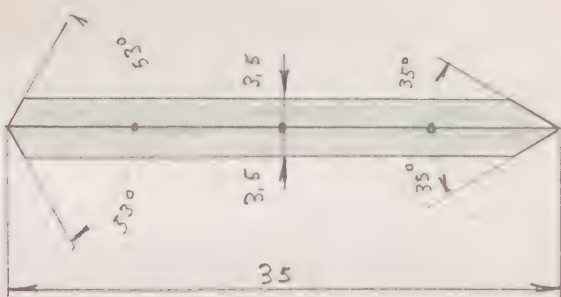
PIEZA N° 1 20 (u)

Figura 1

Figura 1

PIEZA N° 2 UNIONES ARISTAS 60 unidades

La forma y dimensiones se detallan en la figura 2



PIEZA N° 2 60 (u)

Figura 2

Figura 2

2) ICOSAEDRO REGULAR CONVEXO DE CARAS MACIZAS

PIEZA N° 3 CARAS SUPERFICIALES 20 unidades

Iguales a las de la pieza n° 1 fig. 1 del modelo M-18.1
(Marcar el triángulo EFG para la situación de las pirámides triangulares, aparentes del dodecaedro.

PIEZA N° 4 REFUERZO NORMAL INTERIOR 20 unidades

Iguales a las de la pieza n° 2, fig. 2, del modelo M-18.1

PIEZA N° 5 REFUERZO TRANSVERSAL INTERIOR 60 unidades

Iguales a las de la pieza n° 2, fig. 3, del modelo M-18.1

PIEZA N° 6 UNIONES ARISTAS 30 unidades

Iguales a las de la pieza n° 4, fig. 4, del modelo M-18.1

PIEZA N° 7 FORRO COLOREADO 20 unidades

La forma y dimensiones se detallan en la figura 3

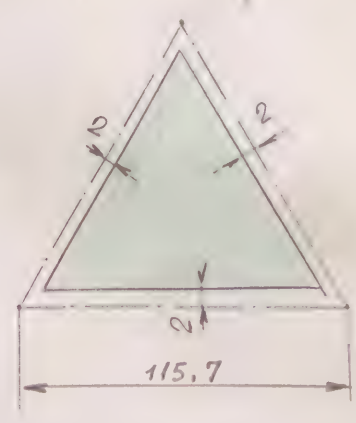


Figura 3

PIEZA N° 7 20 (4)

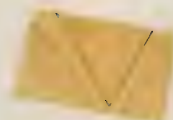
Figura 3

10/10/1911

10 - 10 - 10



10/10/1911
10 - 10 - 10



10/10/1911
10 - 10 - 10



Variante . del modelo 18.1

DISEÑO

MODELO CORPÓREO DERIVADO DEL POLIEDRO
CÓNCAVO OBTENIDO POR LA INTERSECCIÓN DE
UN DODECAEDRO Y DE UN ICOSAEDRO DEGU-
LARES CONVEXOS, CONJUGADOS AMBOS POR SUS
ARISTAS, COMPUESTO DEL NÚCLEO O SÓLIDO CO-
MÚN DE LOS DOS POLIEDROS GENERADORES (AR-
QUIMEDIANO IV.- LÁM. 36) Y DEL ICOSAEDRO
GENERADOR. _____

Radio de la esfera circunscrita al
icosaedro:

$$r' = 110 \text{ m.m.}$$



variante del modelo M-18.1

ENUNCIADO: Construir el modelo corpóreo derivado del poliedro cóncavo obtenido por la intersección de un dodecaedro y un icosaedro regulares convexos, conjugados ambos por sus aristas, compuesto de
A) Sólidos o sólidos común de los dos poliedros generadores (arquimedianos IV) y B) el icosaedro generador.

En el modelo que se estudia se destacan las propiedades siguientes del modelo M-18.1:

- 1º Que el sólido común de la intersección del dodecaedro e icosaedro regulares convexos generadores, es un poliedro convexo llamado "Arquimedianos IV".
- 2º Que dicho Arquimedianos IV puede considerarse engendrado por cortadura de los ángulos sólidos de un icosaedro regular convexo, por planos que pasan por los puntos medios de las cinco aristas que concurren en cada vértice del mencionado icosaedro.

Este modelo está compuesto de los siguientes poliedros:

- 1º el arquimedianos IV de caras macizas, siendo sus aristas mitad de las del icosaedro generador ($a_{IV} = \frac{a_{20}}{2}$)



7 2° El icosaedro generador de caras vaciadas, inscrito en una esfera de radio $r_{ec}^{20} = 110 \text{ m m.}$

Para la construcción de este modelo se precisan las siguientes piezas:

1) ARQUIMEDIANO IV, DE CARAS MACIZAS.

Este poliedro cóncavo ha sido estudiado en el ejercicio G.E., y representado en la lámina 36.- Tiene las siguientes características:

1) Número de caras triangulares	$C_3 = 20$
2) Número de caras pentagonales	$C_5 = 12$
3) Número de vértices	$V = 30$
4) Número de aristas	$A = 60$
5) Número de caras en un ángulo sólido	$2 C_3 + 2 C_5$

Todas sus aristas son de igual longitud, siendo éstas mitad de las del icosaedro generador, por lo que:

$$a_{iv} = \frac{a_{20}}{2} = \frac{115.7}{2} = 57.9 \text{ m m}$$

A1) CARAS PENTAGONALES

PIEZA N°1 CARAS SUPERFICIALES

12 unidades

La forma y dimensiones se detallan en la figura 1

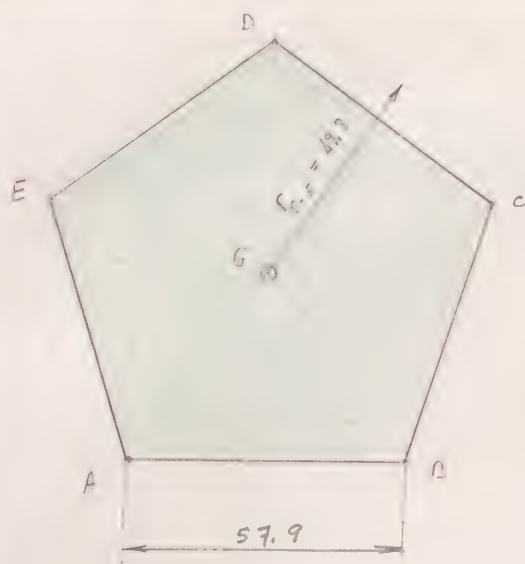


Figura 1

Radio de la circunferencia inscrita al pentágono de lado 57,9

$$r_{C-5} = 0,15065 \times 57,9 = 49,3 \text{ mm}$$

PIEZA N° 1 12 (4)

Figura 1

PIEZA N° 2

REFUEZO NORMAL INTERIOR

12 unidades

La forma y dimensiones se deducen de las del pentágono $ABCDE$ de la figura 1, y se detallan en la figura 2.

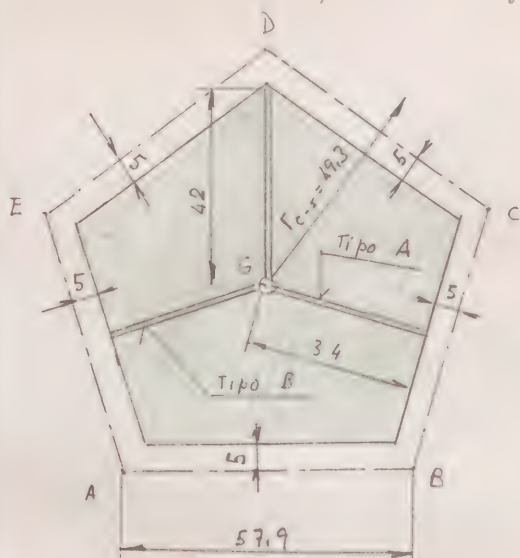


Figura 2

PIEZA N° 2

12 (u)

Figura 2

PIEZA N° 3

REFUERZO TRANSVERSAL INTERIOR

36 unidades

(12 del tipo B y 24 del tipo A)

(simétricas 2 a 2)

La forma y dimensiones se detallan en la figura 3.

Para su situacion ver figura 2

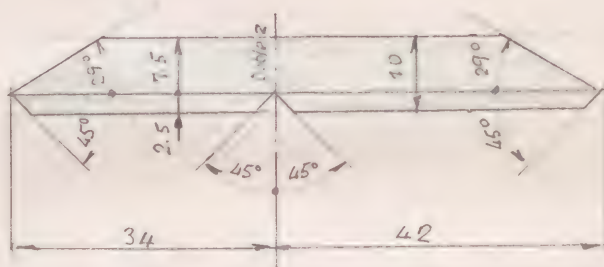


PIEZA N°3 Tipo B

12 (u)

simétricas 2 a 2)

Figura 3



PIEZA N°3 Tipo A

24 (unidades)

simétricas 2 a 2

Figura 3

PIEZA N°4 UNIONES ARISTAS DEL ARQUIMEDIANO TV

60 unidades (simétricas 2 a 2)

PIEZA N°4 60 (u)

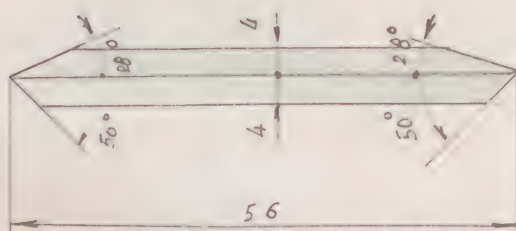
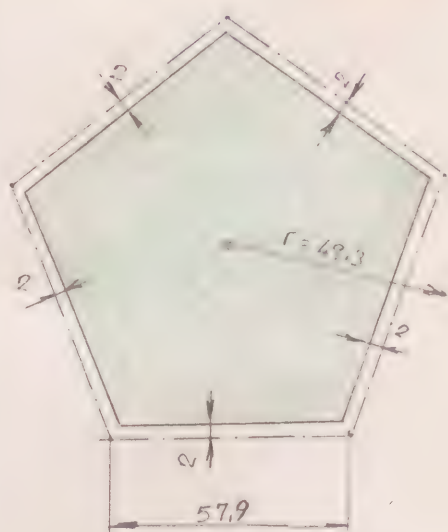


Figura 4

Figura 4

PIEZA N°5 FONDO COLOREADO 12 unidades

La forma y dimensiones se detallan en la figura 5, y se deducen de las del pentágono regular ABCDE de la figura 1.



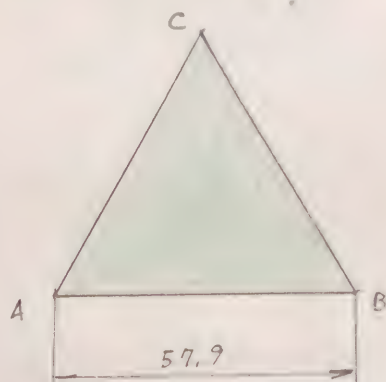
PIEZA N° 5 12 (u)

Figura 5

A2) CARAS TRIANGULARES

PIEZA N° 6 CARAS SUPERFICIALES 20 unidades

son triángulos equiláteros; su forma y dimensiones se detallan en la figura 6



PIEZA N° 6 20 (u)

Figura 6

PIEZA N° 7 REFUERZO NORMAL INTERIOR 20 unidades

La forma y dimensiones se deducen de las del triángulo ABC de la figura 6, y se detallan en la figura 7

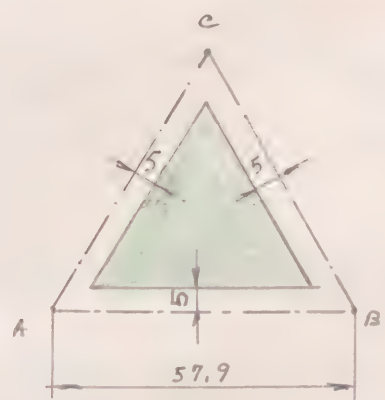


Figura 7

PIEZA N° 7

20 (u)

Figura 7

PIEZA N° 8

FORRO COLOREADO

20 unidades

La forma y dimensiones se deducen de las del triángulo ABC de la figura 6, y se detallan en la figura 8

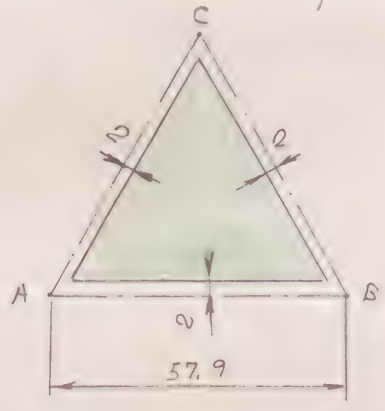


Figura 8

PIEZA N° 8

20 (u)

Figura 8

2) ICOSAEDRO GENERADOR DE CARAS VACIADAS

PIEZA N° 9

PIRÁMIDES APARENTES SOBRE LAS CARAS PENTAGONALES DEL ARQUIMEDIANO IV, DE CARAS VACIADAS

12 unidades

Son iguales a las de la pieza n° 1, figura 1, del modelo M-18.3

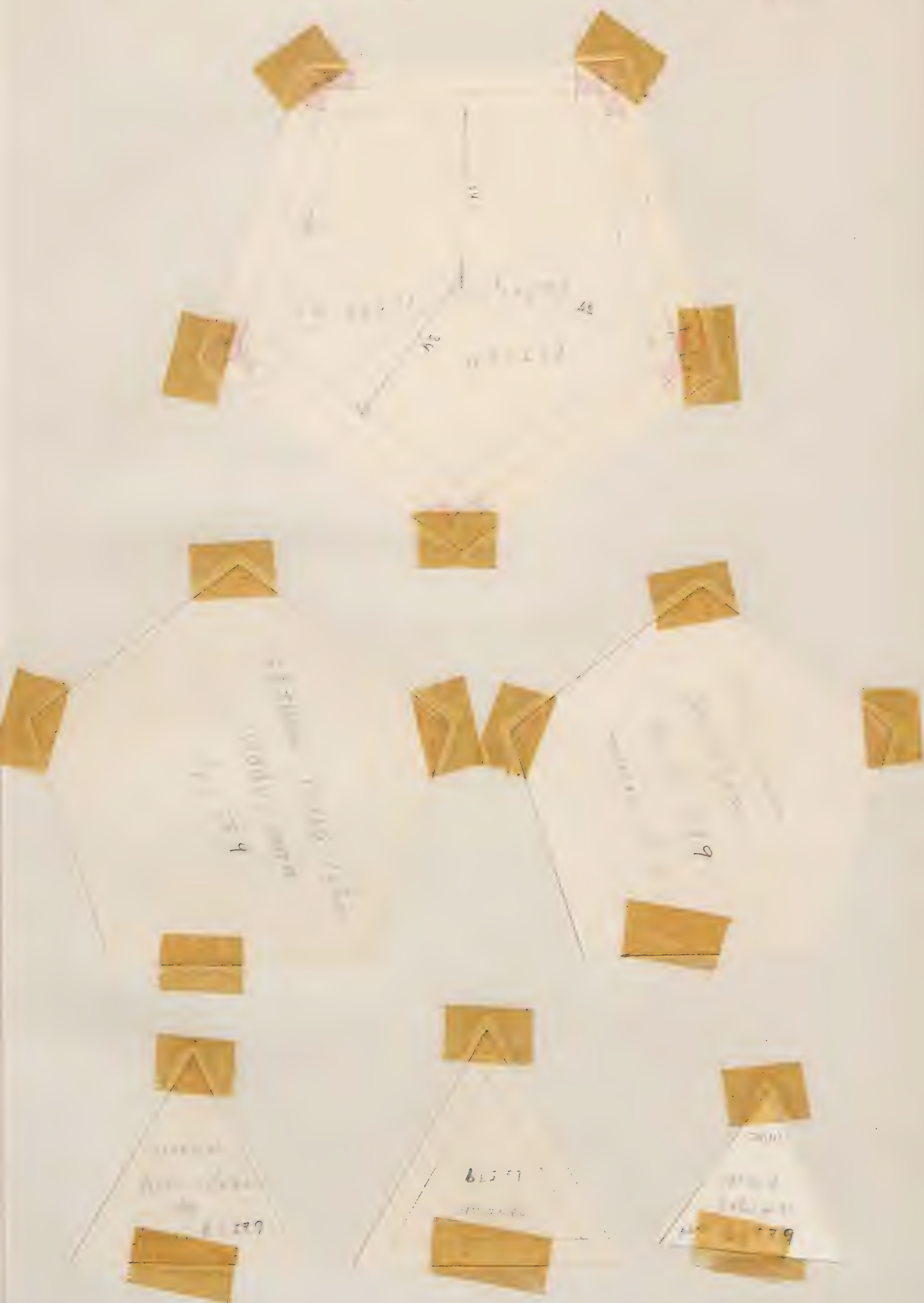
PIEZA N° 10UNIONES ARISTAS DE LAS PIRÁMIDES APA-
RENTES 60 unidades

Son iguales a las de la pieza n° 2, figura 2, del modelo

M-18.3

10-000E

M - M -



Variante del modelo M-18.1

EJE 7118.10

MODELO CORPÓREO DERIVADO DEL POLIEDRO

CÓNCAVO OBTENIDO POR LA INTERSECCIÓN DE

UN DODECAEDRO Y DE UN ICOSAEDRO REGU-

LARES CONVEXOS, CONJUGADOS AMBOS POR SUS

ARISTAS, COMPUESTO DEL NÚCLEO O SÓLIDO CO-

MÚN DE LOS DOS POLIEDROS GENERADORES (AR-

QUIMEDIANO IV.- Lám. 36) Y DEL DODECAEDRO

GENERADOR

Radio de la esfera circunscrita
al icosaedro:

$$r' = 110 \text{ mm}$$

Variante del modelo M-18.1

ENUNCIADO: Construir el modelo corpóreo derivado del poliedro cóncavo obtenido por la intersección de un dodecaedro y un icosaedro regulares convexos, conjugados ambos por sus aristas, compuesto de:

A) Núcleo o sólido común de los dos poliedros generadores (arquimédiano IV) y B) El dodecaedro generador.

En el modelo que se estudia se destacan las propiedades siguientes del modelo M-18.1:

- 1º Que el sólido común de la intersección del dodecaedro e icosaedro regulares convexos, generadores, es un poliedro convexo denominado "Arquimédiano IV"
- 2º Que dicho Arquimédiano IV puede considerarse engendrado por cortadura de los ángulos sólidos de un dodecaedro regular convexo, por planos que pasan por los puntos medios de las tres aristas que concurren en cada vértice del mencionado dodecaedro.

Este modelo está compuesto por los siguientes poliedros:

- 1º El Arquimédiano IV de caras macizas, cuyas aristas son la mitad de las del icosaedro generador ($a_{IV} = \frac{a_{i0}}{2}$)



y ²⁰ el dodecaedro generado de caras vaciadas, inscrito en una esfera de menor radio que el icosaedro generado

$$r_{ec}^{20} > r_{ec}^{12}$$

Para la construcción de este modelo, se precisan las siguientes piezas:

1) ARQUIMEDIANO IV DE CARAS MACIZAS

A1) CARAS PENTAGONALES

PIEZA N° 1 CARAS SUPERFICIALES 12 unidades

Iguales a las de la pieza n° 1, fig. 1, del modelo M-18.5

PIEZA N° 2 REFUERZO NORMAL INTERIOR 12 unidades

Iguales a las de la pieza n° 2, fig. 2, del modelo M-18.5

PIEZA N° 3 REFUERZO TRANSVERSAL INTERIOR 36 unidades
(simétricas 2 a 2)

Iguales a las de la pieza n° 3, fig. 3, del modelo M-18.5



PIEZA N° 4 UNIONES ADISTAS DEL ARQUIMEDIANO TV

60 unidades (simétricas 2 a 2)

Iguales a las de la pieza n° 4, fig. 4 de modelo M-18.5

PIEZA N° 5 FORRO COLOREADO 12 unidades

Iguales a las de la pieza n° 5, fig. 5, del modelo M-18.5

A2) CARAS TRIANGULARES

PIEZA N° 6 CARAS SUPERFICIALES TRIANGULARES 20 unidades

Iguales a las de la pieza n° 6, fig. 6, del modelo M-18.5

PIEZA N° 7 REFUERZO NORMAL INTERIOR 20 unidades

Iguales a las de la pieza n° 7, fig. 7, del modelo M-18.5

PIEZA N° 8 FORRO COLOREADO 20 unidades

Iguales a las de la pieza n° 8, fig. 8, del modelo M-18.5

2) DODECAEDRO GENERADOR DE CARAS VACIADAS

PIEZA N° 9 PIRÁMIDES APARENTES SOBRE LAS CARAS TRIAN-
GULARES DEL ARQUIMEDIANO IV, DE CARAS VA-
CIADAS 20 unidades

Iguales a las de la pieza n° 1, fig. 1, del modelo M-18.4

PIEZA N° 10 UNIONES A DISTAS EN CARAS LATERALES PIRÁ-
MIDES APARENTES 60 unidades

Iguales a las de la pieza n° 2, fig. 2, del modelo M-18.4

Variante del modelo M-18.1

DESCRIPCIÓN

MODELO CORPÓREO DERIVADO DEL POLIEDRO

CÓNCAVO OBTENIDO POR LA INTERSECCIÓN DE

UN DODECAEDRO Y DE UN ICOSAEDRO REGULA-

RES CONVEXOS, CONJUGADOS AMBOS POR SUS

ARISTAS, COMPUESTO DEL NÚCLEO O SÓLIDO CO-

MÚN DE LOS DOS POLIEDROS GENERADORES (AR-

QUIMEDIANO IV.- Lám. 36) Y DEL DODECAE-

DRO E ICOSAEDRO GENERADORES. ———

Radio de la esfera circunscrita

al icosaedro:

$$r' = 110 \text{ m m.}$$



Variante del modelo M-18.1

ENUNCIADO: Construir el modelo corpóreo derivado del poliedro cóncavo obtenido por la intersección de un dodecaedro y un icosaedro regulares convexos, conjugados ambos por sus aristas, compuesto de:

A) Núcleo o sólido común de los dos poliedros generadores (arquimédico IV); B) el dodecaedro generador y C) el icosaedro generador

En el modelo que se estudia se destacan las propiedades siguientes del modelo M-18.1:

- 1.º Que el sólido común de la intersección del dodecaedro e icosaedro regulares convexos generadores, es un poliedro convexo denominado "Arquimédico IV".
- 2.º Que dicho Arquimédico IV puede considerarse engendrado por cortadura de los ángulos sólidos del dodecaedro e icosaedro generadores, por planos que pasan por los puntos medios de las aristas que concurren en los vértices de los mencionados poliedros regulares generadores.

Este modelo está compuesto por los siguientes poliedros:

- 1.º El Arquimédico IV de caras macizas, cuyas aristas son la mitad de las del icosaedro generador ($d_{IV} = \frac{a_{20}}{2}$)

2° El dodecaedro generador de caras vaciadas inscrito en una esfera de menor radio que el del dodecaedro generador ($r_{ec}^{20} > r_{ec}^{12}$)

3° El icosaedro generador de caras vaciadas inscrito en una esfera de radio $r_{ec}^{20} = 110 \text{ m m.}$

Para la construcción de este modelo, se precisan las siguientes piezas:

1) ADQUIMEDIANO IV DE CARAS MACIZAS

A1) CARAS PENTAGONALES

PIEZA N° 1 CARAS SUPERFICIALES 12 unidades

Iguales a la pieza n° 1, fig. 1, del modelo M-18.5

PIEZA N° 2 REFUERZO NORMAL INTERIOR 12 unidades

Iguales a la pieza n° 2, fig. 2, del modelo M-18.5



PIEZA N°3 REFUERZO TRANSVERSAL INTERIOR 36 unidades
(simétricas 2 a 2)

Iguales a las de la pieza n° 3, fig. 3, del modelo M-18.5

PIEZA N°4 UNIONES ARISTAS DEL ARQUIMEDIANO IV
60 unidades (simétricas 2 a 2)

Iguales a las de la pieza n° 4, fig. 4, del modelo M-18.5

PIEZA N°5 FORRO COLOREADO 12 unidades

Iguales a las de la pieza n° 5, fig. 5 del modelo M-18.5

42) CARAS TRIANGULARES

PIEZA N°6 CARAS SUPERFICIALES TRIANGULARES 20 unidades

Iguales a las de la pieza n° 6, fig. 6, del modelo M-18.5

PIEZA N°7 REFUERZO NORMAL INTERIOR 20 unidades

Iguales a las de la pieza n° 7, fig. 7, del modelo M-18.5

PIEZA N° 8 FOCO COLOREADO 20 unidades

Iguales a las de la pieza n° 8, fig. 8, del modelo M-18.5

2) DODECAEDRO GENERADOR DE CARAS VACIADAS

PIEZA N° 9 PIRÁMIDES APARENTES SOBRE LAS CARAS TRIANGULARES DEL ARQUIMEDIANO IV, DE CARAS VACIADAS 20 unidades

Iguales a las de la pieza 1, fig. 1, del modelo M-18.4

PIEZA N° 10 UNIONES ADISTAS EN CARAS LATERALES PIRÁMIDES APARENTES 60 unidades

Iguales a las de la pieza 2, fig. 2, del modelo M-18.4

3) ICOSAEDRO GENERADOR DE CARAS VACIADAS

PIEZA N° 11 PIRÁMIDES APARENTES SOBRE LAS CARAS PENTAGONALES DEL ARQUIMEDIANO IV, DE CARAS VACIADAS 12 unidades

Iguales a las de la pieza n° 1, fig. 1, del modelo M-18.3

Modelo M-18.3

PIEZA N° 12

UNIONES ADISTAS EN CARAS LATERALES DIRÁ-

MIDES APARENTES

60 unidades

Señalar a la de la pieza n° 2, figura 2, del modelo M-18.3

variante del modelo M-18.7

MODELO CORPÓREO DERIVADO DEL POLIEDRO
CÓNCAVO OBTENIDO POR LA INTERSECCIÓN
DE UN DODECAEDRO Y DE UN ICOSAEDRO REGU-
LARES CONVEXOS, CONJUGADOS AMBOS POR SUS
ARISTAS, COMPUESTO DEL NÚCLEO O SÓLIDO CO-
MÚN DE LOS DOS POLIEDROS GENERADORES (AR-
QUIMEDIANO IV.- Lám. 36) Y DEL DODECAE-
DRO E ICOSAEDRO GENERADORES. —————

Radio de la esfera circunscrita
al icosaedro:

$$r' = 110 \text{ mm}$$

Variante del modelo M-18.7

ENUNCIADO: Construir el modelo corpóreo derivado del poliedro cóncavo obtenido por la intersección de un dodecaedro y de un icosaedro regulares convexos, conjugados ambos por sus aristas, compuesto de:

A) Núcleo o sólido común de los dos poliedros generadores (Arquimediano IV); B) el dodecaedro generador y C) el icosaedro generador.

La variante de este modelo con respecto al M-18.7, consiste de que en este, los tres poliedros componentes son todos de caras vaciadas, conservando sus denominaciones.

Así pues, este modelo se compone de los siguientes poliedros:

- 1º El Arquimediano IV de caras vaciadas, cuyas aristas son la mitad de longitud de las del icosaedro generador.

$$(a_{IV} = \frac{a_{20}}{2})$$

- 2º El dodecaedro generador de caras vaciadas, inscrito en una esfera de menor radio que el del icosaedro generador. $(r_{ec}^{20} > r_{ec}^{12})$

- 3º El icosaedro generador de caras vaciadas, inscrito en una esfera de radio $r_{ec}^{12} = 110 \text{ mm}$

Para la construcción de este modelo, se precisan las siguientes piezas:

1) ARQUIMEDIANO DE CARAS VACIADAS

PIEZA N° 1 CARAS LATERALES PENTAGONALES

12 unidades

Son pentágonos regulares. - Su forma y dimensiones se detallan en la figura 1

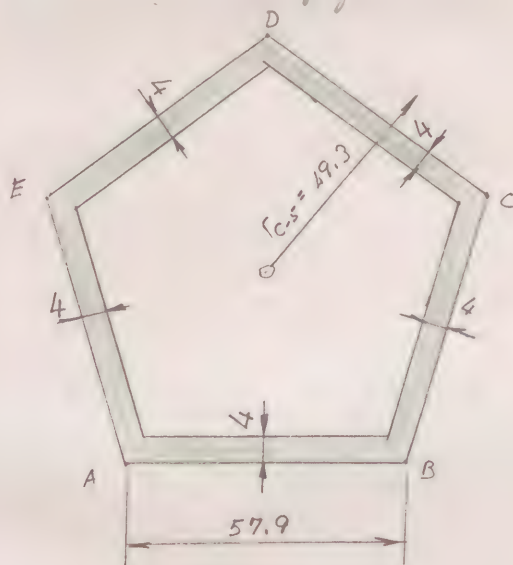


Figura 1

PIEZA N° 1 12 (u)

Figura 1

PIEZA N° 2 CARAS LATERALES TRIANGULARES

20 unidades

Son triángulos equiláteros. - Su forma y dimensiones se detallan, en la figura 2

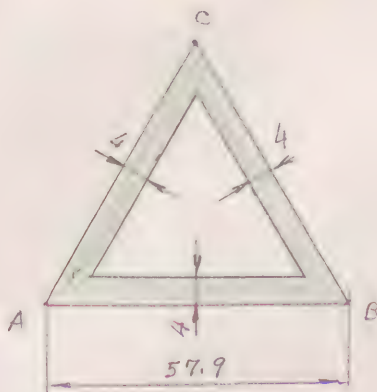


Figura 2

PIEZA N° 2 20 (u)

Figura 2

PIEZA N° 3 UNIONES ARISTAS 60 unidades
(simétricas 2 a 2)

Iguales a las de la pieza n° 4, figura 4, del modelo M-18.5

2) DODECAEDRO GENERADOR DE CARAS VACIADAS

PIEZA N° 4 PIRÁMIDES APARENTES SOBRE LAS CARAS TRIANGULARES DEL ARQUIMEDIANO IV, DE CARAS VACIADAS. 20 unidades

Iguales a las de la pieza n° 1, figura 1, del modelo M-18.4

PIEZA N° 5 UNIONES ARISTAS EN CARAS LATERALES PIRÁMIDES APARENTES 60 unidades

Iguales a las de la pieza n° 2, figura 2, de modelo M-18.4

3) ICOSAEDRO GENERADOR DE CARAS VACIADAS

PIEZA N° 6 PIRÁMIDES APARENTES SOBRE LAS CARAS PEN-
TAGONALES DEL ARQUIMEDIANO IV, DE CARAS
VACIADAS 12 unidades

Iguales a las de la pieza n° 1, figura 1, del modelo M-18.3

PIEZA N° 7 UNIONES ARISTAS EN CARAS LATERALES PIRÁ-
MIDES APARENTES 60 unidades

Iguales a las de la pieza n° 2, figura 2, del modelo M-18.3

MODELO CORPÓREO EN EL QUE SE
 PONE DE MANIFIESTO QUE EL SÓLIDO
 COMÚN DE LA INTERSECCIÓN DE DOS
 TETRAEDROS REGULARES CONVEXOS,
 CONJUGADOS POR SUS ARISTAS, ES
 UN "OCTAEDRO REGULAR CONVEXO"

Radio de la esfera inscrita:

$$r' = 110 \text{ mm}$$



ENUNCIADO:

Construir el modelo corpóreo del octaedro regular convexo que se obtiene como sólido común en la intersección de dos tetraedros regulares conjugados por sus aristas, estudiado en el ejercicio G.E. n° 1, y representados en la lámina n° 19.

En el modelo M-12.1, estudiamos el poliedro cóncavo obtenido por la intersección de dos tetraedros regulares convexos, iguales y conjugados por sus aristas.

Considerando la parte de espacio comprendida entre los dos tetraedros regulares, se deduce que este espacio o "sólido común" tiene la forma de un octaedro regular convexo, cuya arista a_8 "la mitad" de la longitud de la arista a_4 de ambos tetraedros generadores.

El modelo M-19.1 que estudiamos ahora, pone de manifiesto la propiedad enunciada anteriormente, cuya representación gráfica fue realizada en la lámina 19 del ejercicio G.E. Este modelo está formado por los siguientes cuerpos geométricos:

- 1) Octaedro regular convexo de caras vaciadas y arista $a_8 = \frac{a_4}{2}$
- 2) Tetraedro regular convexo de caras vaciadas

Alvarez Febrero 1979

y arista a_4 , en el cual está inscrito el octaedro 1).

- 3) Cuatro tetraedros regulares de caras vaciadas y arista $a_4 = a_8$, que corresponden al tetraedro conjugado por la arista del 2).

DATO ÚNICO: Radio " r' " de la esfera circunscrita a los dos tetraedros regulares conjugados por sus aristas:

$$r' = 110 \text{ mm}$$

La longitud a_4 de la arista de los dos tetraedros regulares conjugados por sus aristas, ha sido deducida en el estudio del modelo M-12.1. Su valor es:

$$a_4 = \frac{2\sqrt{6}}{3} r' \approx 1.632993162... \times 110 \approx 179.6 \text{ mm}$$

La longitud a_8 de la arista del octaedro regular 1), será:

$$a_8 \approx \frac{179.6}{2} \approx 89.8 \text{ mm}$$

Para la construcción de este modelo, se necesitan las siguientes piezas:

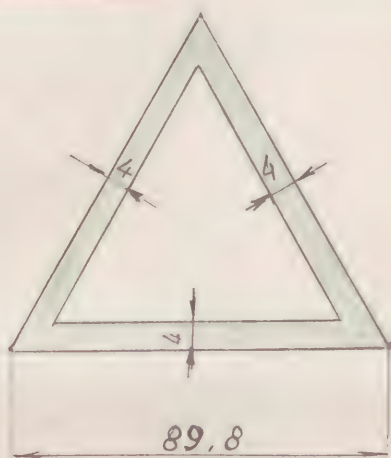
- 1) OCTAEDRO REGULAR CONVEXO, SÓLIDO COMÚN DE LOS

DOS TETRAEDROS REGULARES CONVEJO CONJUGADOS POR SUS ARISTAS, DE CARAS VACIADAS

PIEZA N° 1

CARAS SUPERFICIALES

8 unidades



La forma y dimensiones se detallan en la figura 1

PIEZA N° 1

8 (u)

Figura 1

Figura 1

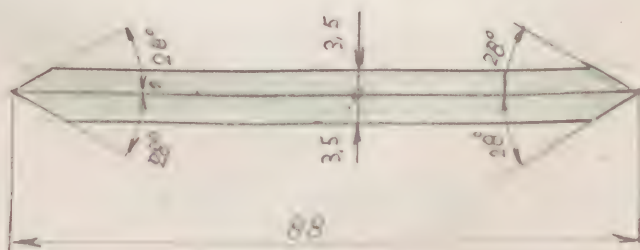
PIEZA N° 2

UNIONES A DISTAS

12 unidades

La longitud es ligeramente inferior a la de la arista
 $a_8 = 89.8 \text{ mm}$ La tomamos igual a 88 mm.

La forma y dimensiones se representan en la figura 2



PIEZA N° 2

12 (u)

Figura 2

Figura 2



2) TETRAEDRO REGULAR CONVEXO DE CARAS VACIADAS, EN EL CUAL ESTÁ INSCRITO EL OCTAEDRO 1)

Los vértices del octaedro 1), han de situarse en los puntos medios de las aristas del tetraedro. (marcar previamente dichos puntos).

Este tetraedro es igual al del modelo M-1,102, por lo que se compone de las siguientes piezas:

PIEZA N° 3 CARAS SUPERFICIALES 4 unidades

Iguales a la pieza n° 1 (fig. 1) del modelo M-1,102

PIEZA N° 4 UNIONES ARISTAS 6 unidades

Iguales a la pieza n° 2 (fig. 2) del modelo M-1,102

3) CUATRO TETRAEDROS REGULARES DE CARAS VACIADAS,
Y ARISTA $d_4 = d_8$.

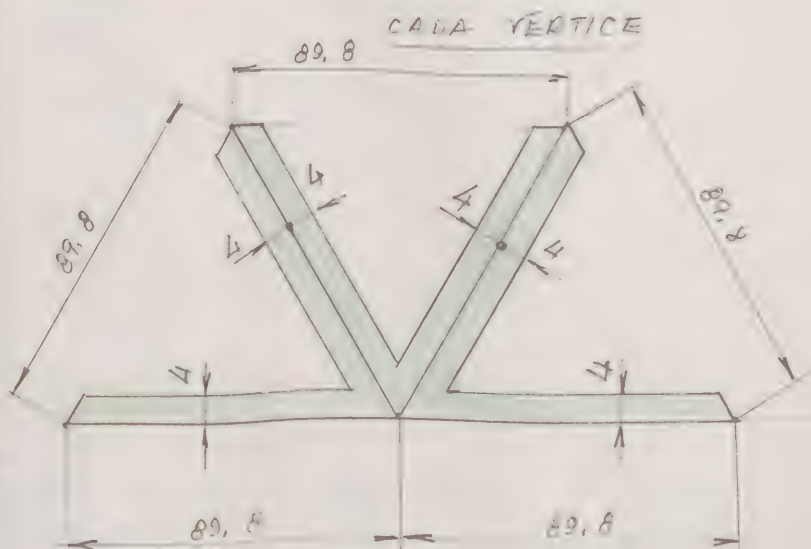
Estos cuatro tetraedros son los que se obtienen en el conjugado del 1) al ser cortados por las caras de aquel en los puntos

medio de esto. Para su construcción se piden las siguientes piezas:

PIEZA N° 5

DESARROLLO DE LAS TRES CARAS LATERALES EN

4 unidades



PIEZA N° 5

4 (u)

Figura 3

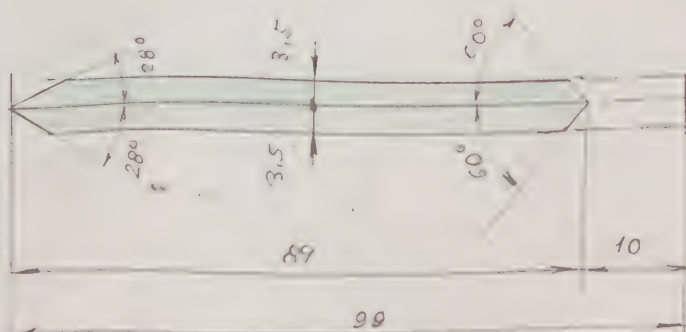
Figura 3

PIEZA N° 6

UNIONES ARISTAS

12 unidades

La forma y dimensiones se detallan en la figura 4.



PIEZA N° 6

12 (u)

Figura 4

Figura 4

Variante del modelo M-19.1

MODELO CORPÓREO EN EL QUE SE
PONE DE MANIFIESTO QUE EL SÓLIDO
COMÚN DE LA INTERSECCIÓN DE DOS TE-
TRAEDROS REGULARES CONVEXOS, CONJUN-
GADOS POR SUS ARISTAS, ES UN
"OCTAEDRO REGULAR CONVEXO"

Radio de la esfera circunscrita:

$$r' = 110 \text{ mm}$$



Variante del modelo M-19.1

ENUNCIADO: Construir el modelo corpóreo del octaedro regular convexo que se obtiene como sólido común en la intersección de dos tetraedros regulares conjugados por sus aristas, estudiado en el ejercicio S. E. 01, y representados en la lámina n° 19.

El modelo que se estudia es una variante del modelo M-19.1, cuya variante consiste en sustituir el núcleo en "octaedro regular convexo de caras vaciadas" por un "octaedro regular convexo de caras macizas" y conservando los elementos restantes.

Así pues, este nuevo modelo estará formado por los siguientes elementos:

- 1) Octaedro regular convexo de caras macizas y arista $a_8 = \frac{a_4}{2}$
- 2) Tetraedro regular convexo de caras vaciadas y arista a_4 , en el cual está inscrito el octaedro 1). (Este tetraedro es igual al del modelo M-19.1).
- 3) "Cuatro" tetraedros regulares convexos de caras vaciadas y arista $a_4 = a_8$, que corresponden al tetraedro conjugado por las aristas del 2). (Éstos cuatro tetraedros son iguales a los del modelo M-19.1).

Para la construcción de este modelo, se precisan las siguientes



piezas:

- 1) OCTAEDRO REGULAR CONVEXO SÓLIDO COMÚN DE LOS DOS TETRAEDROS REGULARES CONVEXOS, CONJUGADOS POR SUS ARISTAS, DE CARAS MACIZAS.

PIEZA N° 1

CARAS SUPERFICIALES

8 unidades

Son triángulos equiláteros, y en forma y dimensiones se detallan en la figura 1.

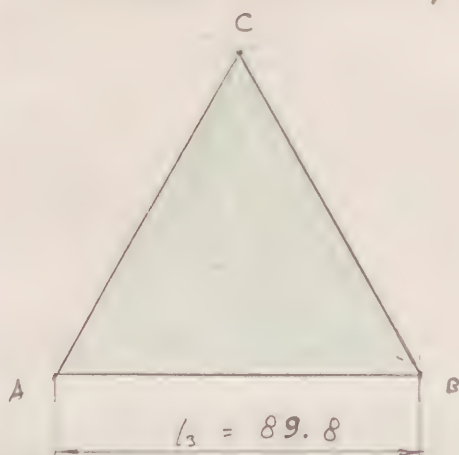


Figura 1.

PIEZA N° 1

8 (u)

Figura 1

PIEZA N° 2

REFUERZO NORMAL INTERIOR DE LAS CARAS SUPERFICIALES

8 unidades

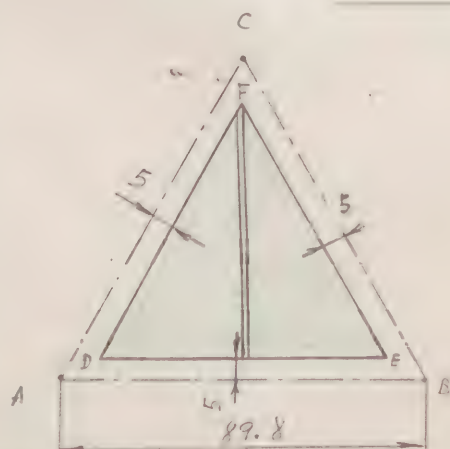


Figura 2

Son triángulos equiláteros, (fig. 2) y en forma y dimensiones se deducen del triángulo ABC de la fig. 1.

PIEZA N° 2

8 (u)

Figura 2

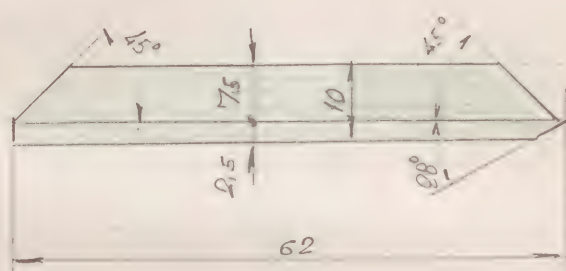


PIEZA N° 3

REFUERZO TRANSVERSAL DE LAS CARAS SUPERFICIALES

16 unidades

Se coloca en la dirección de las alturas del triángulo DEF (ver fig. 2). Su forma y dimensiones se detallan en la figura 3.



PIEZA N° 3 16 (U)

Figura 3

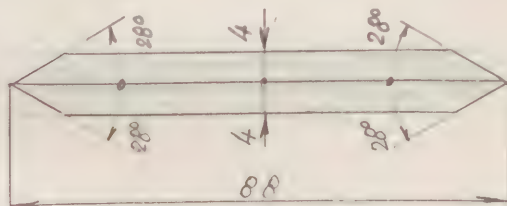
Figura 3

PIEZA N° 4

UNIONES ADISTAS

12 unidades

La forma y dimensiones se detallan en la figura 4



PIEZA N° 4 12 (U)

Figura 4

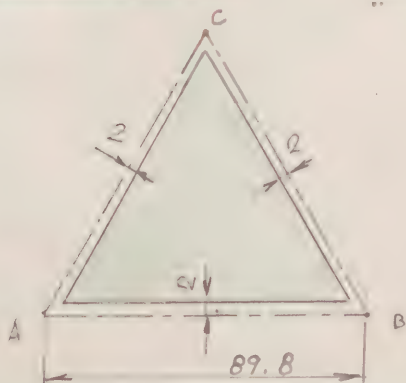
Figura 4

PIEZA N° 5

FORRO COLOREADO

8 unidades

La forma y dimensiones se representan en la figura 5 y se deducen del Triángulo ABC de la figura 1



PIEZA N° 5 8 (U)

Figura 5

Figura 5



2) TETRAEDRO REGULAR CONVEXO DE CARAS VACIADAS, EN EL CUAL ESTÁ INSCRITO EL OCTAEDRO 1)

Los vértices del octaedro 1), han de situarse en los puntos medios de las aristas del tetraedro; (marcar previamente dichos puntos)

Este tetraedro es igual al del modelo M-1.102, por lo que se compone de las siguientes piezas:

PIEZA N° 6 CARAS SUPERFICIALES 4 unidades.

Iguales a la pieza n° 1 (fig. 1) del modelo M-1.102

PIEZA N° 7 UNIONES ARISTAS 6 unidades

Iguales a la pieza n° 2 (fig. 2) del modelo M-1.102

3) CUATRO TETRAEDROS REGULARES DE CARAS VACIADAS, Y ARISTA $a_4 = a_8$

Estos cuatro tetraedros son los que se obtienen en el conjugado del 1) al ser cortados por las caras de aquel en los pun-



En media de m. Para su construcción se requieren las siguientes piezas:

PIEZA N° 5 DESARROLLO DE LAS TRES CARAS LATERALES EN CADA VÉRTICE 4 unidades

Iguales a la pieza n° 5 (fig. 3) del modelo M-19.1

PIEZA N° 7 UNIONES ADISTAS 12 unidades

Iguales a la pieza n° 6 (fig. 4) del modelo M-19.1

Variante del modelo M-19.2

MODELO CORPÓREO EN EL QUE SE

PONE DE MANIFIESTO QUE EL SÓLIDO

COMUN DE LA INTERSECCIÓN DE DOS TE-

TRAEDROS REGULARES CONVEXOS, CONJUGA-

DOS POR SUS ARISTAS, ES UN

"OCTAEDRO REGULAR CONVEXO"

Radio de la esfera circunscrita :

$$r' = 76.1 \text{ m m.}$$



Variante del Modelo M-19.2

ENUNCIADO:

Construir el modelo corpóreo del octaedro regular convexo que se obtiene como sólido común en la intersección de dos tetraedros regulares conjugados por sus aristas, estudiados en el ejercicio G.E. (?) y representados en la lámina n° 19

El modelo que se estudia tiene las mismas características que el estudiado en el modelo M-19.2, y varía tan sólo en el radio de la esfera circunscrita a los sólidos, que es de 76.1 mm en el actual y en el M-19.2 era de 110 mm., siendo por consiguiente el estudiado actualmente de menor tamaño que el estudiado en el M-19.2.

El factor lineal o escala de reducción, será pues

$$F = \frac{76.1}{110} \approx 0.6918 \dots \approx 0.6918$$

que aplicaremos en el cálculo de las magnitudes lineales del presente modelo. Así pues la arista a_4 de los dos tetraedros regulares convexos, conjugados, será:

$$a_4 = 179.6 \times 0.6918 \approx 124.3 \text{ mm} \quad \text{y la del octaedro en el modelo:}$$

$$a_6 \approx \frac{124.3}{2} = 62.2 \text{ mm}$$

Este modelo está pues, formado por los siguientes cuerpos geométricos:

- 1) Octaedro regular convexo, de caras macizas y arista $a_8 = 62.2 \text{ mm}$
- 2) Tetraedro regular convexo de caras vaciadas y arista $a_4 = 124.3 \text{ mm}$, en el cual está inscrito el octaedro 1). (Este tetraedro es igual al del modelo M-1.2)
- 3) Cuatro tetraedro regulares convexos de caras vaciadas y arista $a_8 = 62.2 \text{ mm}$, que corresponden al tetraedro conjugado por las aristas del 2). (Estos cuatro tetraedros han de limitarse al desarrollo de tres caras laterales).

Para la construcción de este modelo, se precisan las siguientes piezas:

- 1) OCTAEDRO REGULAR CONVEXO, O SÓLIDO COMÚN DE LOS DOS TETRAEDROS REGULARES CONVEXOS CONJUGADOS POR SUS ARISTAS, DE CARAS MACIZAS.

PIEZA N° 1

CARAS SUPERFICIALES

8 unidades

son triángulos equiláteros, y su forma y dimensiones se detallan en la figura 1



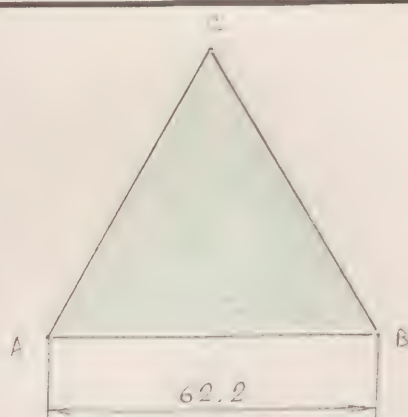


Figura 1

PIEZA N° 1

8 (u)

Figura 1

PIEZA N° 2

REFUERZO NORMAL INTERIOR DE LAS CARAS
SUPERFICIALES

8 unidades

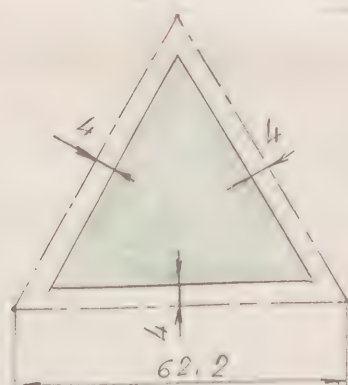


Figura 2

Los triángulos equiláteros (fig. 2), y su forma y dimensiones se deducen del triángulo ABC de la fig. 1

PIEZA N° 2

8 (u)

Figura 2

PIEZA N° 3

UNIONES ADISTAS

12 unidades

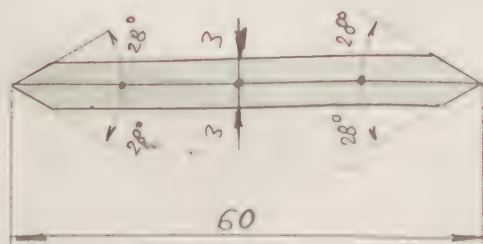


Figura 3

La forma y dimensiones se representan en la figura 3.

PIEZA N° 3

12 (u)

Figura 3

PIEZA N° 4

FORRO COLOREADO

8 unidades

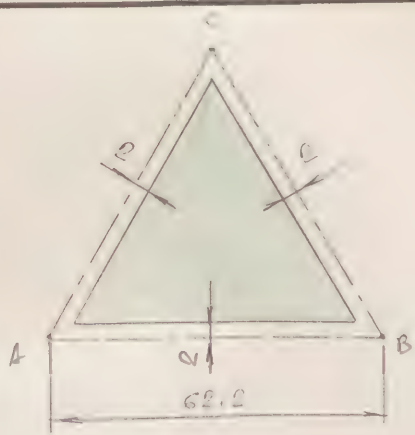


Figura 4

La forma y dimensiones se representan en la figura 4, y se deducen de las del triángulo ABC de la figura 1

PIEZA N° 4

3 (u)

2) TETRAEDRO REGULAR CONVEXO DE CARAS VACIADAS, EN EL CUAL ESTÁ INSCRITO EL OCTAEDRO 1)

Este tetraedro es igual al representado en el modelo M-1.2, por lo que, tendremos:

PIEZA N° 5

CARAS SUPERFICIALES

4 unidades

Son iguales a las representadas en la figura 1 del modelo M-1.2.

PIEZA N° 6

UNIONES ARISTAS

6 unidades

Son iguales a las representadas en la figura 2 del modelo M-1.2.

3) CUATRO TETRAEDROS REGULARES DE CARAS VACIADAS, Y ARISTA $a_4 = a_8$

Estos cuatro tetraedros son los que se obtienen en el conjugado

Campos

Febrero 1979



del 1) al ser cortado por las caras de aquél en los puntos medios de éste. Para su construcción se precisan las siguientes piezas:

PIEZA N° 7 DESARROLLO DE LAS TRES CARAS LATERALES EN CADA VÉRTICE 4 unidades

La forma y dimensiones se detallan en la figura 5

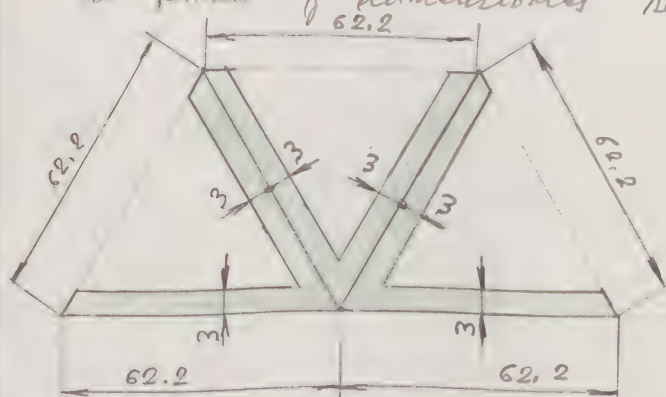


Figura 5

PIEZA N° 7 4 (u)

Figura 5

PIEZA N° 8 UNIONES ARISTAS 12 unidades

La forma y dimensiones se detallan en la figura 6

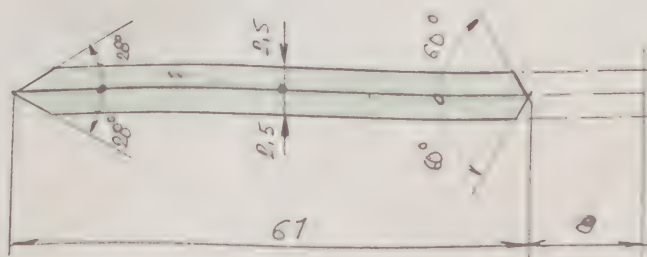


Figura 6

PIEZA N° 8 12 (u)

Figura 6

POLIEDRO CÓNCAVO FORMADO POR
LA INTERSECCIÓN DE UN EXAEDRO Y
UN OCTAEDRO REGULARES, CONVEXOS
Y CONJUGADOS POR SUS ARISTAS, INS-
CRITOS AMBOS EN LA MISMA ESFERA.

Radio de la esfera circunscrita:

$$r' = 110 \text{ m m.}$$



ENUNCIADO:

Construir el modelo corpóreo del poliedro cóncavo obtenido por la intersección de un exaedro y un octaedro regulares, convexos y conjugados por sus aristas, inscritos ambos en la misma esfera.

1. GENERAALIDADES

Un exaedro y un octaedro regulares y convexos, inscritos ambos en una misma esfera, se dicen que son conjugados por sus aristas, cuando los vértices de cada uno de ellos están situados en las proyecciones desde el centro de la esfera común, y sobre ésta, de los centros de las caras del otro.

Las aristas de ambos poliedros se cruzan perpendicularmente dos a dos. Los ángulos sólidos que se forman en los vértices del octaedro, atraviesan las caras del exaedro, de forma que los radios de la esfera que pasan por dichos vértices, cortan perpendicularmente a las caras del exaedro.

El modelo M-23.1, que estudiamos ahora, está formado por los dos mencionados poliedros regulares conjugados, y contruidos ambos con sus caras macizas. Dicho poliedro común, ha sido estudiado en el ejercicio G.E. n.º 2 y representado en la lámina n.º 23.

2. CÁLCULOS

DATO: Radio " r' " de la esfera circunscrita común

$$r' = 110 \text{ mm}$$

De lo expuesto anteriormente se deduce que cada cara del exaedro regular contiene a la base cuadrada de una pirámide cuadrangular regular, cuyas caras laterales son triángulos equiláteros. La altura " h " de estas pirámides es la diferencia entre el radio " r' " de la esfera circunscrita común, y el radio " r_{ei}^6 " de la esfera inscrita al exaedro regular, o sea

$$h = r' - r_{ec}^6 \quad (1)$$

La arista a_6 del exaedro regular inscrito en la esfera común, se deduce de la fórmula n° 2 del ejercicio 9.E. 2 en la que se relaciona el radio r_{ec}^6 de la esfera circunscrita al exaedro regular convexo, con la arista a_6 del mismo, o sea:

$$r_{ec}^6 = r' = 110 = \frac{\sqrt{3}}{2} a_6 \quad \text{en la que despejando } a_6, \text{ tendremos:}$$

$$a_6 = \frac{2}{\sqrt{3}} r' = \frac{2\sqrt{3}}{3} r' \cong 1,154700539... \times 110 \cong 127,0170593... \text{ mm} \cong$$

$$\cong 127 \text{ mm}$$

(2)

El radio " r_{ei}^6 " de la esfera inscrita en el exaedro regular, es igual a la mitad de su arista, o sea:

$$r_{ei}^6 = \frac{a_6}{2} = \frac{2\sqrt{3}}{6} = \frac{\sqrt{3}}{3} r' \quad (3)$$

La altura "h" de la pirámide cuadrangular, será [ver fórmulas (1) y (3)]

$$h = r' - r_{ec} = r' - \frac{\sqrt{3}}{3} r' = \left(1 - \frac{\sqrt{3}}{3}\right) r' = \frac{3 - \sqrt{3}}{3} r' = \frac{3 - \sqrt{3}}{3} \times 110 \approx$$

$$\approx 0,422649731 \dots \times 110 = 46,5 \text{ mm} \quad (4)$$

La arista de la pirámide cuadrangular, se deduce de la figura 1, de la que se obtiene:

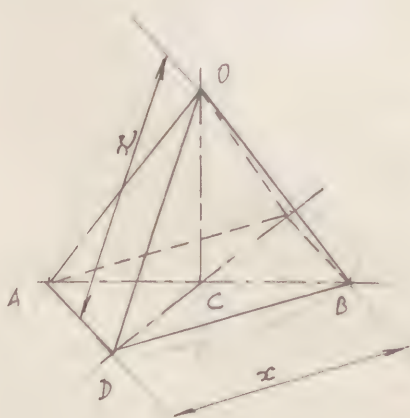


Figura 1

$$\overline{OD} = \overline{AD} = \overline{DB} = x$$

$$\overline{OC} = h = \frac{3 - \sqrt{3}}{3} r'$$

$$\overline{AC} = \overline{DC} = \overline{CB} = \frac{\sqrt{2}}{2} x$$

$$\overline{OD} = x = \sqrt{\overline{OC}^2 + \overline{DC}^2} = \sqrt{\left(\frac{3 - \sqrt{3}}{3} r'\right)^2 + \left(\frac{\sqrt{2}}{2} x\right)^2}$$

de donde: $x^2 = \left(\frac{3 - \sqrt{3}}{3} r'\right)^2 + \left(\frac{\sqrt{2}}{2} x\right)^2$

$$x^2 = \left(\frac{3 - \sqrt{3}}{3} r'\right)^2 + \frac{1}{2} x^2 \quad \Rightarrow \quad x^2 - \frac{1}{2} x^2 = \left(\frac{3 - \sqrt{3}}{3} r'\right)^2$$

$$\frac{1}{2} x^2 = \left(\frac{3 - \sqrt{3}}{3} r'\right)^2 \quad \Rightarrow \quad \frac{1}{\sqrt{2}} x = \frac{3 - \sqrt{3}}{3} r' \quad \text{y de aquí:}$$

$$x = \overline{OD} = \frac{3 - \sqrt{3}}{3} r' : \frac{1}{\sqrt{2}} = \frac{3\sqrt{2} - \sqrt{6}}{3} r' \approx 0,597716981 \dots \times 110 \approx$$

$$= 65,7 \text{ mm} \quad (5)$$

El radio r_{ec} de la circunferencia circunscrita al cuadrado

de la base de la pirámide, sea:

$$r_{ec}^4 = \overline{AC} = \overline{CB} = \overline{CD} = \frac{\sqrt{2}}{2} x = \frac{\sqrt{2}}{2} \times \frac{3\sqrt{2} - \sqrt{6}}{3} r' =$$

$$= \frac{6 - \sqrt{12}}{6} r' = \frac{6 - 2\sqrt{3}}{6} r' = \frac{3 - \sqrt{3}}{3} r' \quad \text{igual valor que el}$$

obtenido en la fórmula (4) por lo que tendremos:

$$(6) \quad r_{ec}^4 = h = \frac{3 - \sqrt{3}}{3} r' \approx 0,422849731... \times 110 \approx 46,5114703 \text{ m}$$

De la fórmula (6) se deduce la notable propiedad siguiente:

"El radio r_{ec}^4 de la circunferencia circunscrita al cuadrado base de las pirámides del octaedro, es igual a la altura de la misma"

3) CONSTRUCCIÓN

3.1) EXAEDRO REGULAR CONVEXO

De acuerdo con los cálculos anteriores, para la construcción del exaedro regular convexo, se precisan las siguientes piezas:

PIEZA N° 1 CARAS SUPERFICIALES 6 unidades

Son cuadradas, cuya forma y dimensiones se detalla en la figura 1, en la que se representa también la situación de la base de la pirámide cuadrada regular.

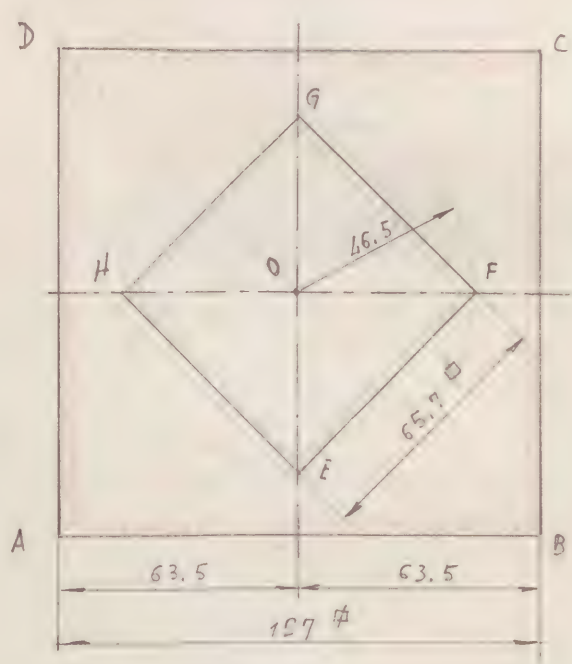


Figura 1

PIEZA N° 1 6 (u)

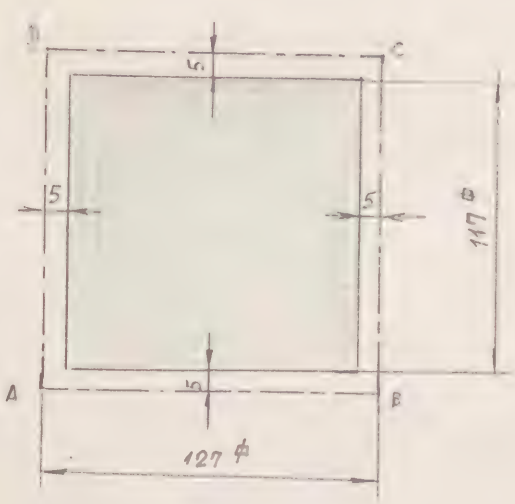
Figura 1

PIEZA N° 2 REFUERZO NORMAL DE LAS CARAS SUPERFICIALES

6 unidades

La forma y dimensiones se representan en la figura 2, y se deducen de las del cuadrado ABCD de la figura 1





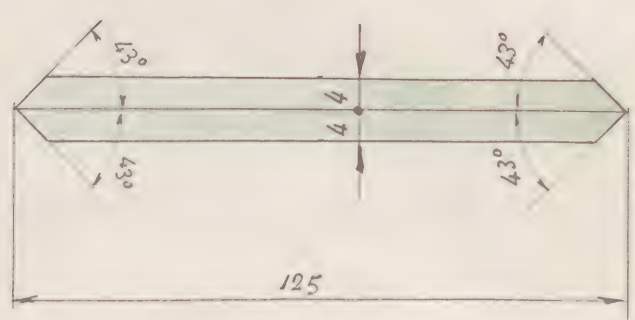
PIEZA N° 2 6 (u)

Figura 2

Figura 2

PIEZA N° 3 UNIONES ARISTAS 12 unidades

La forma y dimensiones se representan en la figura 3.



PIEZA N° 3 12 (u)

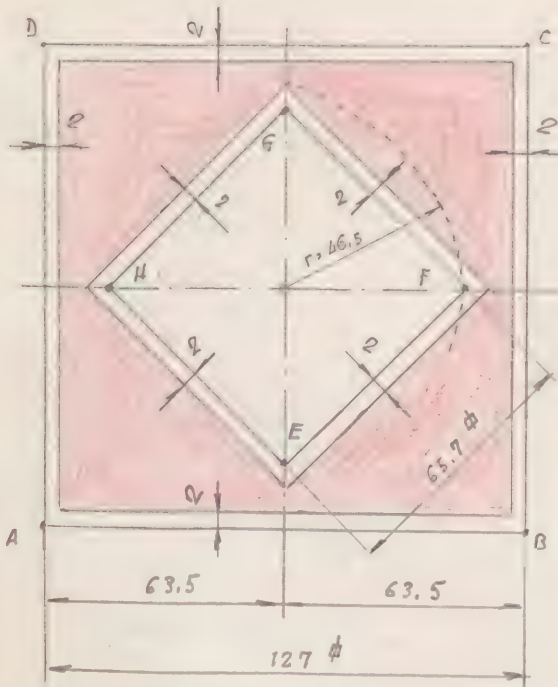
Figura 3

Figura 3

PIEZA N° 4 FORRO COLOREADO DE LAS CARAS SUPERFICIALES

6 unidades

La forma y dimensiones se representan en la figura 4, y se deducen de las de los cuadrados ABCD y EFGH de la figura 1.



PIEZA N° 4

6 (u)

Figura 4

Figura 4

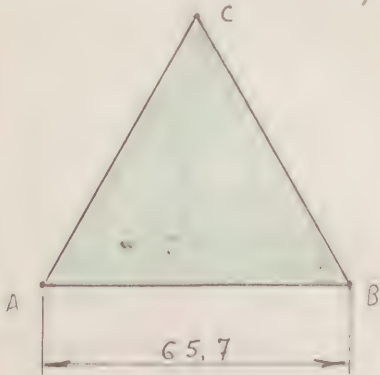
3.2 ZONA APARANTE DEL OCTAEDRO REGULAR CONVEXO.

PIEZA N° 5

CARAS SUPERFICIALES.- SEIS PIRÁMIDES CUADRADAS REGULARES DE CUATRO CARAS LATERALES

24 unidades

La forma y dimensiones de las caras laterales, se representan en la figura 5, y son triángulos equiláteros.



PIEZA N° 5

24 (u)

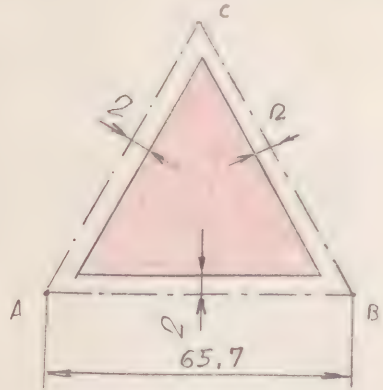
Figura 5

Figura 5

PIEZA N° 6

FORRO COLOREADO DE LAS CARAS LATERALES.- 24 unidades

La forma y dimensiones se representan en la figura 6, y se deducen de las del triángulo equilátero ABC de la figura 5

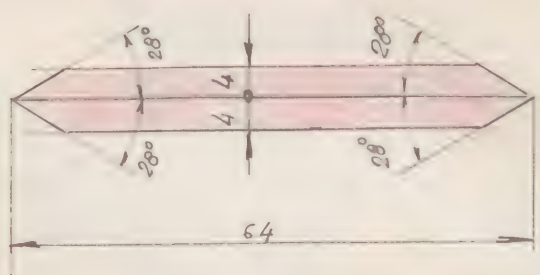


PIEZA N° 6 24 (u)

Figura 6

PIEZA N° 7 UNIONES ARISTAS CARAS LATERALES 48 unidades

La forma y dimensiones se representan en la figura 7.

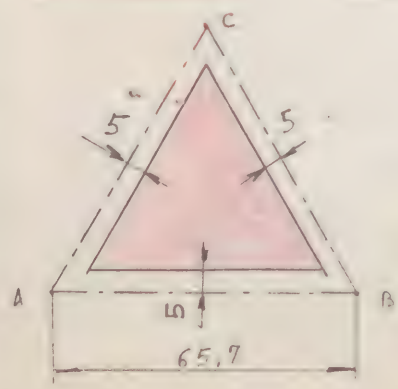


PIEZA N° 7 48 (u)

Figura 7

PIEZA N° 8 REFUERZO NORMAL DE LAS CARAS LATERALES

24 unidades



La forma y dimensiones se representan en la figura 8 y se deducen de las del triángulo equilátero de la figura 5.

PIEZA N° 8 24 (u) Fig. 8

Figura 8

PIEZA N° 3



Figura 3

PIEZA N° 2

6 (u)

Fig. 2

PIEZA N° 6

24 (u)

Fig. 6

PIEZA N° 8

24 (u)

Fig. 8

PIEZA N° 7



Figura 7

PIEZA N° 5

24 (u)

Fig. 5





variante del modelo M-23.1

POLIEDRO CÓNCAVO FORMADO POR
LA INTERSECCIÓN DE UN EXAEDRO
Y UN OCTAEDRO REGULARES CONVE-
XOS Y CONJUGADOS POR SUS ARISTAS,
INSCRITOS AMBOS EN LA MISMA ESFERA.

Radio de la esfera circunscrita

$$r' = 76.1 \text{ mm.}$$

variante del modelo M-23.1

ENUNCIADO: Construir el modelo corpóreo del poliedro cóncavo obtenido por la intersección de un escaedro y un octaedro regulares, convexos y conjugados por sus aristas, inscritos ambos en la misma esfera.

El modelo que se estudia, tiene las mismas características que el estudiado en el modelo M-23.1, y varía tan sólo en el radio de la esfera circunscrita a los mismos, que es de 76.1 mm en el actual, y en el M-23.1 era de 110 mm, siendo por consiguiente el estudiado actualmente de menor tamaño que el estudiado en el M-23.1.

El factor lineal o escala de reducción será pues:

$$E = \frac{76.1}{110} = 0.6918... \approx 0.6918 \quad (1)$$

que aplicaremos al cálculo de las magnitudes lineales de este modelo, en función de las calculadas en el M-23.1

Para la construcción de este modelo, se precisarán las siguientes piezas:

1. EXAEDRO REGULAR CONVEXO

PIEZA N° 1

CARAS SUPERFICIALES

6 unidades



Son cuadradas, cuya forma y dimensiones se detallan en la figura 1, en la que se representa tambien la situacion de la base de la piramide cuadrada regular

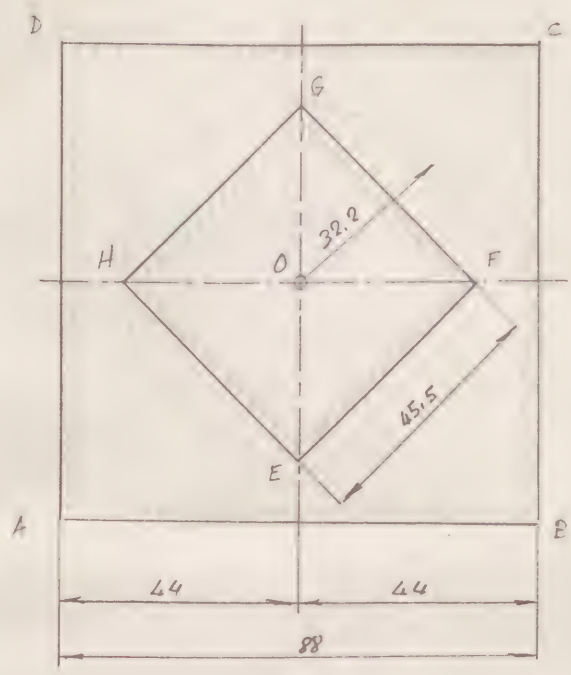


Figura 1

Las dimensiones calculadas en funcion de las de la fig. 1 del modelo M-23.1, son las siguientes:

46.5	x	0.6918	=	32.2
65.7	x	"	=	45.5
63.5	x	"	=	44.0
127.0	x	"	=	88.0

PIEZA N° 1 6 (u)

Figura 1.

PIEZA N° 2 REFUERZO NORMAL DE LAS CARAS SUPERFICIALES

6 unidades

La forma y dimensiones se detallan en la figura 2, y se deducen de las del cuadrado ABCD de la figura 1

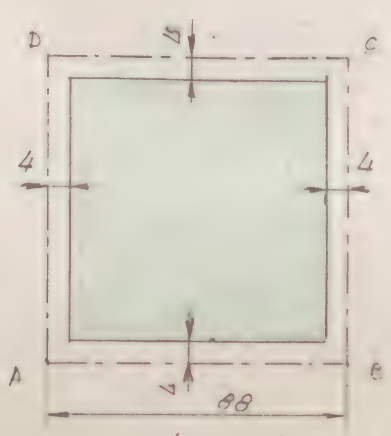


Figura 2

PIEZA N° 2 6 (u)

Figura 2

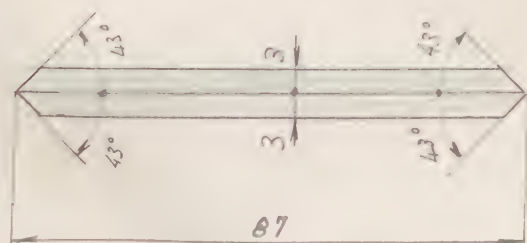


PIEZA N° 3

UNIONER ADISTAS

42 unidades

La forma y dimensiones se representan en la figura 3



PIEZA N° 3

12 (11)

Figura 3

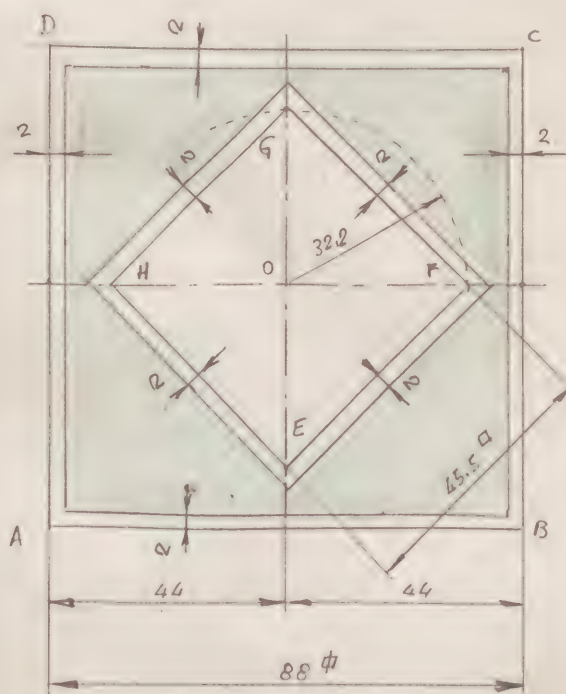
Figura 3

PIEZA N° 4

FORRO COLOREADO DE LAS CARAS SUPERFICIALES

6 anhydrous

La forma y dimensiones se representan en la figura 4, y se deducen de la de los cuadrados ABCD y EFGH de la figura 1.



PIEZA N° 4

6 (u)

Figura 4

Figura 4

2. OCTAEDRO REGULAR CONVEXO

PIEZA N° 5 CARAS SUPERFICIALES DE LAS SEIS PIRÁMIDES
APARENTES 24 unidades

son triángulos equiláteros, cuya forma y dimensiones se detallan en la figura 5

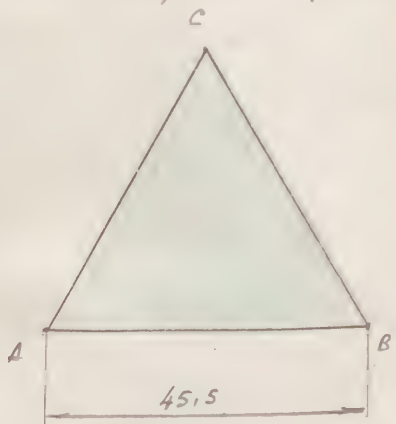


Figura 5

PIEZA N° 5 24 (u)

Figura 5

PIEZA N° 6 REFUERZO NORMAL DE LAS CARAS LATERALES
DE LAS PIRÁMIDES APARENTES 24 unidades

La forma y dimensiones se detallan en la figura 6, y se deducen de las del triángulo ABC de la figura 5

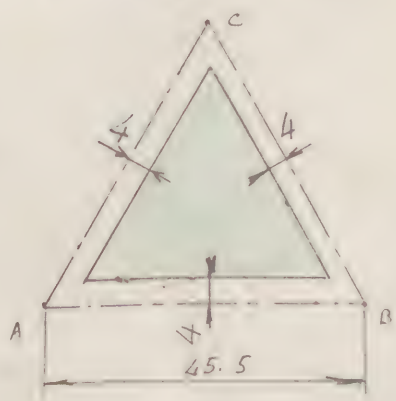


Figura 6

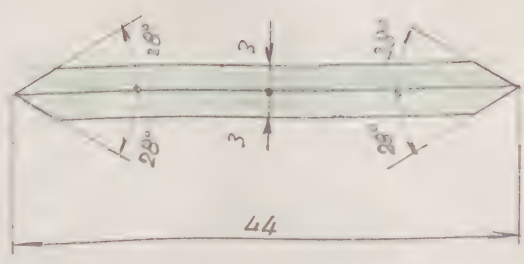
PIEZA N° 6 24 (u)

Figura 6

PIEZA N° 7 UNIONES ARISTAS CARAS LATERALES 48 unidades

La forma y dimensiones se representan en la figura 7

UNE A 4-210 x 297



PIEZA N° 7 48 (U)

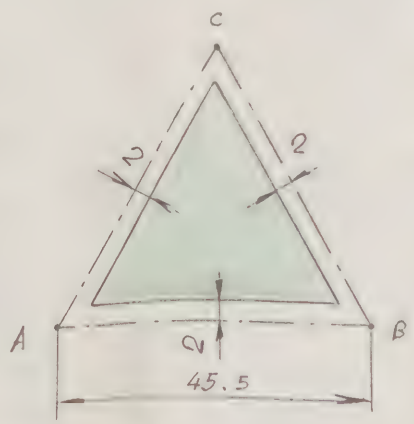
Figura 7

Figura 7

PIEZA N° 8 FORRO COLOREADO DE LAS CARAS LATERALES

24 unidades

La forma y dimensiones se representan en la figura 8, y se deducen de las del triángulo ABC de la figura 5



PIEZA N° 8 24 (U)

Figura 8

Figura 8

Variante del modelo M-23.2

POLIEDRO CÓNCAVO FORMADO POR LA
INTERSECCIÓN DE UN EXAEDRO Y UN
OCTAEDRO REGULARES CONVEXOS Y
CONJUGADOS POR SUS ARISTAS, INS-
CRITOS AMBOS EN LA MISMA ESFERA.

Radio de la esfera circunscrita:

$$r' = 76.1 \text{ m m}$$



Variante del modelo M-23.2

ENUNCIADO:

Construir el modelo corpóreo del poliedro cóncavo obtenido por la intersección de un escaedro y un octaedro regulares, convexos y conjugados por sus aristas, inscritos ambos en la misma esfera.

El modelo que se estudia, tiene las mismas características y dimensiones que el estudiado en el modelo M-23.2, con las variantes de ser:

- 1) Las caras del escaedro son macizas y pintadas
- 2) Las caras del octaedro son huecas y pintadas

Para la construcción de este modelo, se precisan las siguientes piezas:

1. EXAEDRO. REGULAR CONVEXO

PIEZA N° 1 CARAS SUPERFICIALES 6 unidades

Son iguales a las de la fig. 1 del modelo M-23.2

PIEZA N° 2 REFUERZO NORMAL DE LAS CARAS SUPERFICIALES.

6 unidades

Son iguales a las de la figura 2 del modelo M-23.2

PIEZA N° 3 REFUERZO TRANSVERSAL DE LAS CARAS SUPERFICIALES

24 unidades
(simétricas 2 a 2)

Se colocan en la posición indicada en la figura 3



Figura 3

La forma y dimensiones se detallan en la figura 4

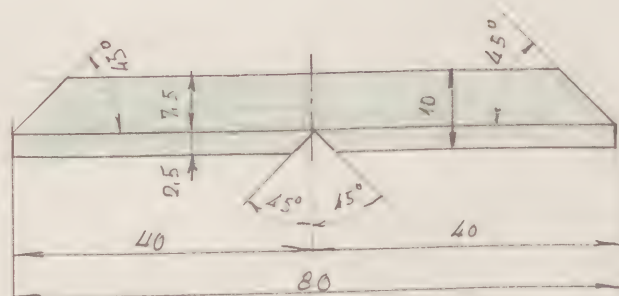


Figura 4

Figura 4

PIEZA N° 3 24(u)

PIEZA N° 4 UNIONES ARISTAS

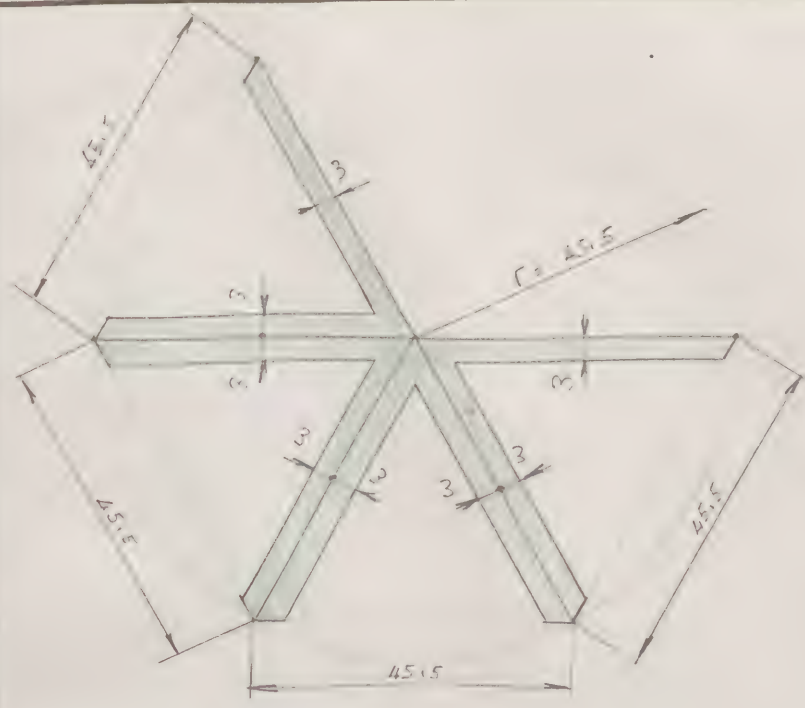
12 unidades

Son iguales a las de la figura 3 del modelo M-23.2

2) "OCTAEDRO" REGULAR CONVEXO

PIEZA N° 5 DESARROLLO DE LAS CUATRO CARAS LATERALES
DE LAS PIRÁMIDES APARENTES 6 unidades

La forma y dimensiones se detallan en la figura 5.



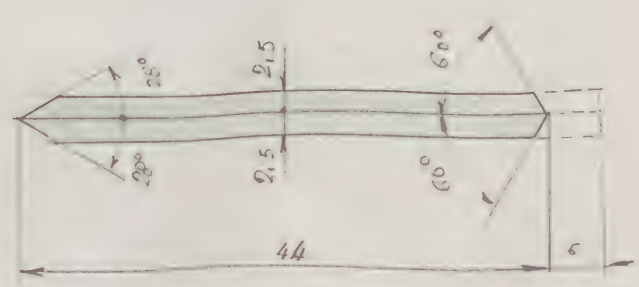
PIEZA N° 5
6 (u)

Figura 5

Figura 5

PIEZA N° 6 UNIONES ADICIONALES CARAS LATERALES DE LAS
PIRÁMIDES APARENTES 24 unidades

La forma y dimensiones se detallan en la figura 6



PIEZA N° 6 24 (u)

Figura 6

Figura 6



Variante del modelo M-23,3

POLIEDRO CÓNCAVO FORMADO POR LA
INTERSECCIÓN DE UN EXAEDRO Y UN
OCTAEDRO REGULARES CONVEXOS Y CON-
JUGADOS POR SUS ARISTAS, INSCRITOS
AMBOS EN LA MISMA ESFERA. —

Radio de la esfera circunscrita:

$$r' = 76.1 \text{ mm.}$$

Variante del modelo M 23.3

ENUNCIADO: Construir el modelo corpóreo del poliedro cóncavo obtenido por la intersección de un octaedro y un octaedro regulares, convexos y conjugados por sus aristas, inscritos ambos en la misma esfera.

El modelo que se estudia, tiene las mismas características y dimensiones que el estudiado en el modelo M-23.4, con las siguientes variantes:

- 1) Las caras laterales del octaedro regular, así como las contiguas al sólido común son de caras macizas y pintadas.
- 2) Las caras laterales del octaedro regular son huecas y pintadas.

Para la construcción de este modelo, se precisan las siguientes piezas:

1. OCTAEDRO REGULAR CONVEXO

PIEZA Nº 1 CARAS SUPERFICIALES

6 unidades

La forma y dimensiones se detallan en la figura 1

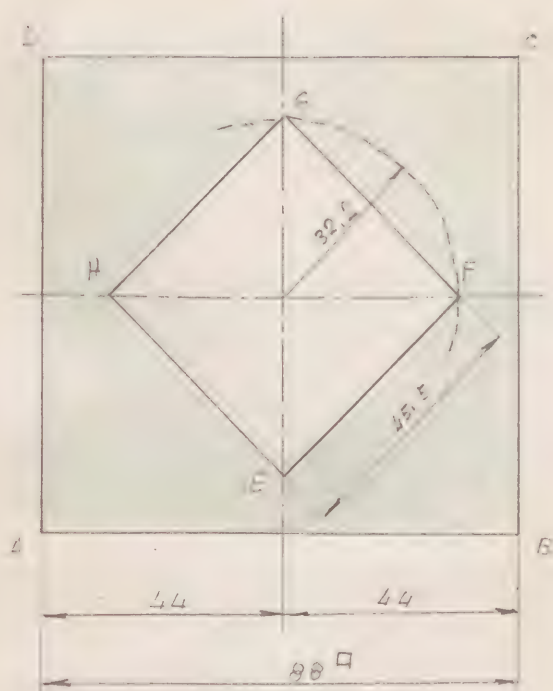


Figura 1

PIEZA N° 1 6 (u)

Figura 1

PIEZA N° 2 REFUERZO NORMAL INTERIOR 6 unidades

La forma y dimensiones se detallan en la figura 2 y se deducen de los contornos AB-CD y EFGH de la figura 1

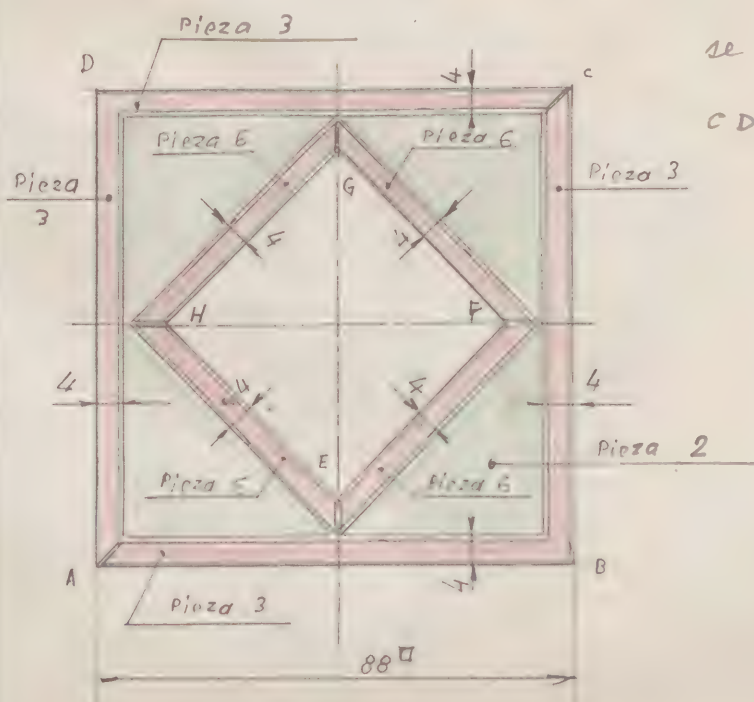


Figura 2

PIEZA N° 2 6 (u)

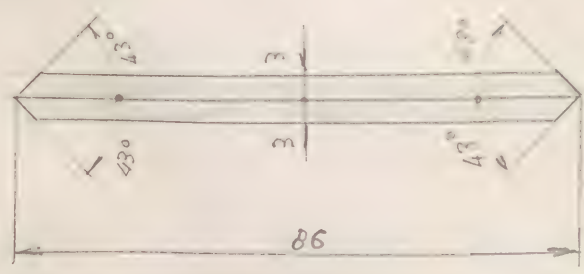
Figura 2

PIEZA N° 3

UNIONES ADISTAS

12 unidades

La forma y dimensiones están detalladas en la figura 3. La colocación se indica en la figura 2.



PIEZA N° 3

12 (u)

Figura 3

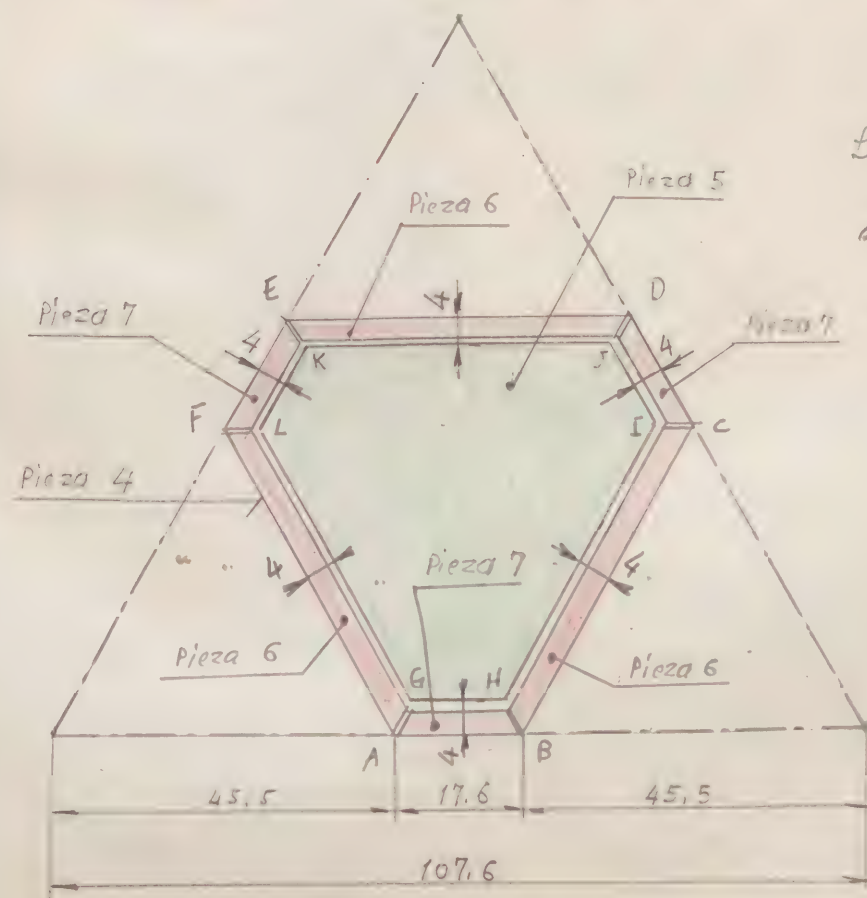
Figura 3

PIEZA N° 4

CARAS SUPERFICIALES CONTIGUAS AL OCTAEDRO

8 unidades

La forma y dimensiones se detallan en la figura 4. La colocación se indica en la figura 2. Las caras del polígono conexo ABCDEFA.



PIEZA N° 4

8 (u)

Figura 4

Figura 4

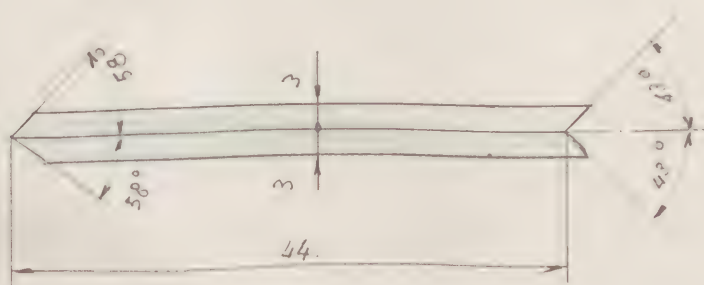


PIEZA N° 5 REFUERZO NORMAL DE LAS CARAS SUPERFICIALES CON-
TIGUAS AL OCTAEDRO 8 unidades

La forma y dimensiones se detallan en la figura 4, y se co-
rresponden con las del polígono convexo GHIKLG.

PIEZA N° 6 UNIONES ADISTAS EN CARAS SUPERFICIALES CON-
TIGUAS AL OCTAEDRO 24 unidades

La forma y dimensiones se detallan en la figura 5; su
posición se representa en las figuras 3 y 4

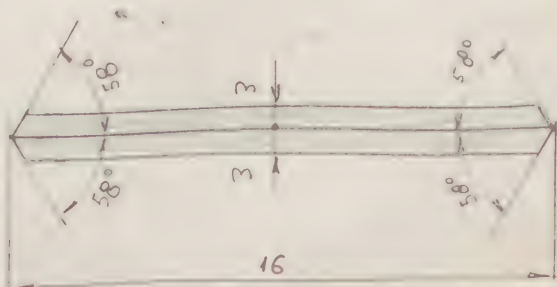


PIEZA N° 6 24 (u)

Figura 5

Figura 5

PIEZA N° 7 UNIONES ADISTAS EN CARAS SUPERFICIALES CON-
TIGUAS AL OCTAEDRO 12 unidades



La forma y dimensiones se detallan
en la figura 6; en posición se re-
presenta en las figuras 3 y 4

PIEZA N° 7 12 (u)

Figura 6

Figura 6

2. OCTAEDRO REGULAR CONVEXO

Este octaedro es igual al representado en el modelo M-3.2, por lo que tendremos:

PIEZA N° 8 CARAS LATERALES (vaciadas) 8 unidades

Iguales a las de la pieza n° 1 (fig.1) del modelo M-3.2

PIEZA N° 9 UNIONES ARISTAS 12 unidades

Iguales a las de la pieza n° 2 (fig.2) del modelo M-3.2

PLANO

POLIEDRO CÓNCAVO DERIVADO DE
UN OCTAEDRO REGULAR, OBTENIDO
AL PROYECTAR DESDE EL CENTRO DE
LA ESFERA CIRCUNSCRITA A ÉSTE, Y
SOBRE ELLA, LOS CENTROS DE CADA CA-
RA, UNIENDO A CONTINUACIÓN ESTOS
PUNTOS CON LOS VÉRTICES DEL TRIÁN-
GULO DE DICHA CARA —————

Radio de la esfera circunscrita:

$$r' = 110 \text{ mm.}$$



ENUNCIADO: Construir el modelo corpóreo del poliedro cóncavo derivado de un octaedro regular, obtenido al proyectar desde el centro de la esfera circunscrita a este, y sobre ella, los centros de cada cara, uniendo a continuación estos puntos con los vértices del triángulo de dicha cara.

Este poliedro ha sido estudiado en el ejercicio G.E. 2 representado en la lámina 27. Dicho poliedro es cóncavo, y de las siguientes características

Número de caras	$C = 24$
Número de vértices	$V = 14$
Número de aristas	$A = 36$

Las caras son todas iguales y su forma es la de un triángulo isósceles, cuya base o lado desigual es la arista a_8 del octaedro generador.

Como único dato para su construcción, tenemos el siguiente:

DATO: "Radio" " r " de la esfera circunscrita al octaedro dado:

$$r = 110 \text{ mm}$$

Para la construcción de este modelo, de caras macizas, se



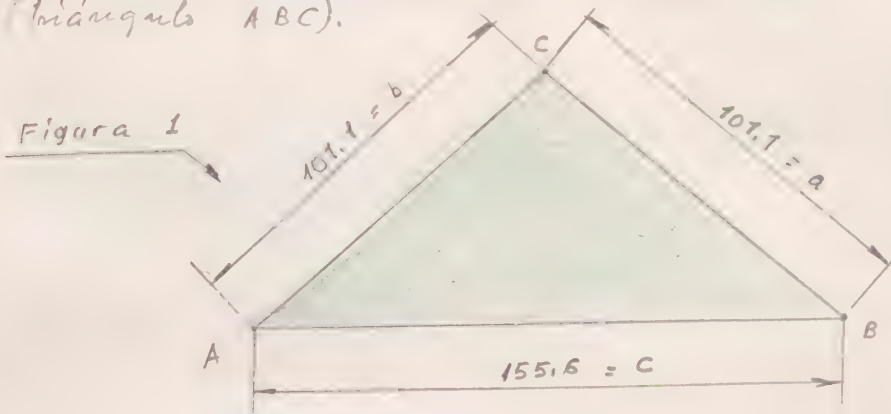
presentan la siguiente pieza:

PIEZA N° 1

CARAS SUPERFICIALES

24 unidades

La forma y dimensiones se representan en la figura 1 (triángulo ABC).



PIEZA N° 1

24 (u)

Figura 1

El lado \overline{AB} es igual a la arista a_0 del octaedro regular generador. Su valor se obtiene por la fórmula (ver ejercicio G, E. ... lámn. 27)

$$\overline{AB} = \sqrt{2} \times r_{ec}^8 = 1,414213562 \dots \times 110 \cong 155,6 \text{ mm}$$

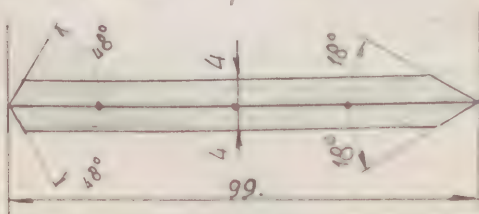
Los lados $\overline{AC} = \overline{CB}$, se obtienen por la fórmula (ver ejercicio G, E. ... lámn. 27)

$$\overline{AC} = \overline{CB} = \sqrt{\frac{6 - 2\sqrt{3}}{3}} \times r_{ec}^8 = 0,919401687 \dots \times 110 \cong 101,1 \text{ mm}$$

PIEZA N° 2 UNIONES ARISTAS EN LADOS "a" y "b" (fig. 1)

24 unidades

La forma y dimensiones se detallan en la figura 2.



PIEZA N° 2

24 (u)

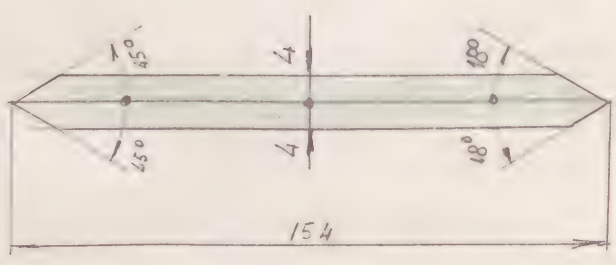
Figura 2



PIEZA N° 3 UNIONES ADISTAS EN LADOS "C" (fig. 1)

12 unidades

La forma y dimensiones se representan en la figura 3.



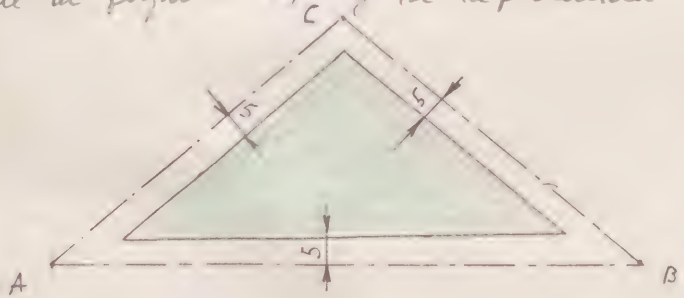
PIEZA N° 3 12 (u)

Figura 3

Figura 3

PIEZA N° 4 REFUERZO NORMAL INTERIOR 24 unidades

La forma y dimensiones se deducen de las del triángulo ABC de la figura 1, y se representan en la figura 4



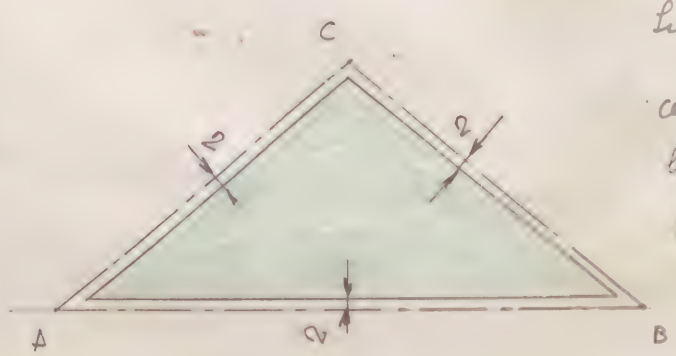
PIEZA N° 4 24 (u)

Figura 4

Figura 4

PIEZA N° 5 FORRO COLOREADO 24 unidades

La forma y dimensiones se deducen de las del triángulo ABC de la figura 1, y se representan en la figura 5.



PIEZA N° 5 24 (u)

Figura 5

Figura 5



PATRONES

Modelo M- 27,1



EN PROYECTO

Variante del modelo M-27,1

POLIEDRO CÓNCAVO DERIVADO DE

UN OCTAEDRO REGULAR CONVEXO,

OBTENIDO AL PROYECTAR DESDE EL

CENTRO DE LA ESFERA CIRCUNSCRI-

TA A ÉSTE, Y SOBRE ELLA, LOS CEN-

TROS DE CADA CARA, UNIENDO A CON-

TINUACIÓN ESTOS PUNTOS CON LOS

VÉRTICES DEL TRIÁNGULO DE DICHA

_____ CARA _____

Radio de la esfera circunscrita:

$$r' = 110 \text{ m m.}$$



Variente del modelo M-27.1

ENUNCIADO: Construir el modelo corpóreo del poliedro cóncavo derivado de un octaedro regular, obtenido al proyectar desde el centro de la esfera circunscrita a éste, y sobre ella, los centros de cada cara, uniendo a continuación estos puntos con los vértices del triángulo de dicha cara.

Este modelo puede considerarse como una variante del modelo M-27.1.

La variante es la de construirlo con sus caras vaciadas en sustitución a las caras macizas del mencionado modelo M-27.1.

Para la construcción de este modelo, se precisan los siguientes piezas:

PIEZA N° 1

CARAS SUPERFICIALES

24 unidades

La forma y dimensiones se detallan en la figura 1

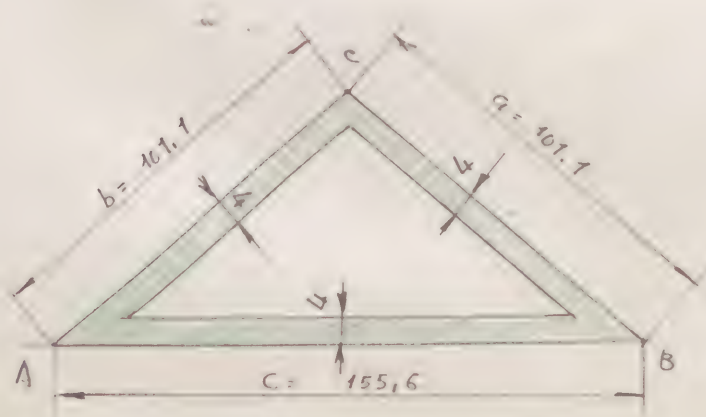


Figura 1

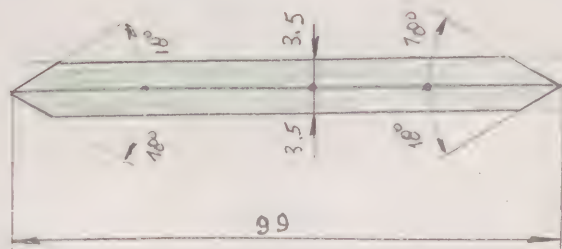
PIEZA N°1 24 (u)

Figura 1

PIEZA N° 2 UNIONES A RISTAS EN LADOS "a" y "b" (fig. 1)

24 unidades

La forma y dimensiones se detallan en la figura 2



PIEZA N° 2 24 (u)

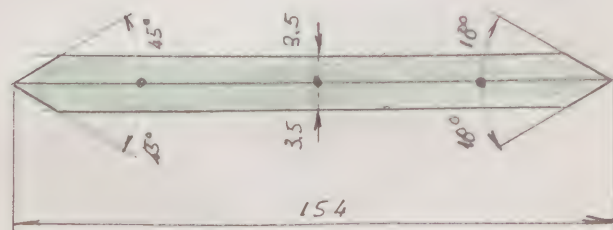
Figura 2

Figura 2

PIEZA N° 3 UNIONES A RISTAS EN LADOS "c" (fig. 1)

12 unidades

La forma y dimensiones se detallan en la figura 3.



PIEZA N° 3 12 (u)

Figura 3

Figura 3

variante del modelo M-27.2

POLIEDRO CÓNCAVO DERIVADO DE

UN OCTAEDRO REGULAR CONVEXO,

OBTENIDO AL PROYECTAR DESDE EL

CENTRO DE LA ESFERA CIRCUNSCRITA

TA A ÉSTE, Y SOBRE ELLA, LOS CEN-

TROS DE CADA CARA, UNIENDO A CON-

TINUACIÓN ESTOS PUNTOS CON LOS

VÉRTICES DEL TRIÁNGULO DE DI-

CHA CARA

Radio de la esfera circunscrita:

$$r' = 110 \text{ mm}$$



Variante del modelo M-27.2

ENUNCIADO:

Construir el modelo corpóreo del poliedro cóncavo derivado de un octaedro regular convexo, obtenido al proyectar desde el centro de la esfera circunscrita a éste, y sobre ella, los centros de cada cara, uniendo a continuación estos puntos con los vértices del triángulo de dicha cara.

En el modelo M-27.2 todos los vértices de dicho poliedro están situados en su esfera circunscrita.

Si unimos dos a dos los vértices correspondientes a las proyecciones de los centros de las caras del octaedro generador, obtenemos un octaedro regular convexo, inscrito en la misma esfera.

El modelo que estudiamos ahora pone de manifiesto la propiedad anterior, aumentando en el modelo M-27.2 las aristas del mencionado octaedro regular convexo, por lo que puede considerarse como una variante de dicho modelo.

Para la construcción de este modelo, con necesidad las siguientes piezas:

PIEZA N° 1	CARAS SUPERFICIALES	24 unidades
------------	---------------------	-------------

Son de igual forma y dimensiones que las de la fig. 1 del modelo M-27.2



PIEZA N° 2 UNIONES ARISTAS EN LADOS "a" y "b"

24 unidades

Son de igual forma y dimensiones que las de la figura 2 del modelo M-27.2

PIEZA N° 3 UNIONES ARISTAS EN LADOS "c"

12 unidades

Son de igual forma y dimensiones que las de la figura n° 3 del modelo M-27.2

PIEZA N° 4 ARISTAS DEL EXAEDRO REGULAR CONVEXO

12 unidades

La forma y dimensiones se detallan en la figura 1; la longitud de dicha arista es la $a_c = 127 \text{ mm}$ del modelo M-2.101. (radio de la esfera circunscrita $r_{ec}^6 = 110 \text{ mm}$).

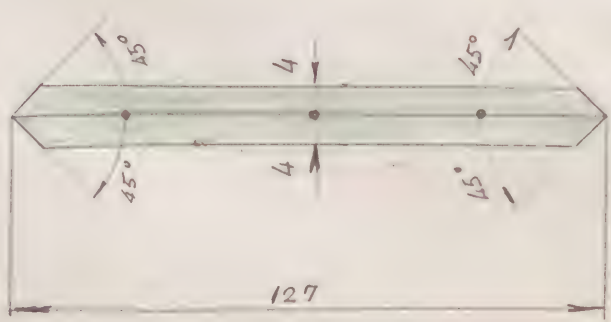


Figura 1

PIEZA N° 4 12 (u)

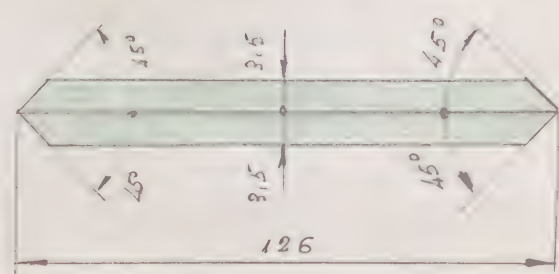
Figura 1



PIEZA N° 5 DEFUERZO ARISTAS TRIANGULO REGULAR CONVEXO

12 unidades

La forma y dimensiones se detallan en la figura 2



PIEZA N° 5 12 (u)

Figura 2

Figura 2

FIGURA

POLIEDRO CÓNCAVO DERIVADO DE UN
 OCTAEDRO REGULAR CONVEXO, OBTENI-
 DO AL PROYECTAR DESDE EL CENTRO DE
 LA ESFERA CIRCUNSCRITA A ÉSTE, Y
 SOBRE ELLA, LOS CENTROS DE CADA CA-
 RA, UNIENDO A CONTINUACIÓN ESTOS PUN-
 TOS CON LOS VÉRTICES DEL TRIÁNGULO DE
 DICHA CARA _____

Radio de la esfera circunscrita

$$r' = 76.1 \text{ m m.}$$

Variante del modelo M-27.1

ENUNCIADO: Construir el modelo corpóreo del poliedro cóncavo, derivado de un octaedro regular convexo, obtenido al proyectar desde el centro de la esfera inscrita a este, y sobre ella, los centros de cada una, uniéndolos a continuación estos puntos con los vértices del triángulo de dicha cara.

Este modelo que estudiamos es análogo al modelo M-27.1, y varía tan solo en la longitud del radio de su esfera circunscrita, que para a ser a $r_{ec} = 76.1 \text{ mm}$ en lugar de $r_{ec} = 110 \text{ mm}$ del mencionado modelo M-27.1, por lo que lo consideramos como una variante del M-27.1.

Para el cálculo de las dimensiones de este modelo, tomaremos como base los ya obtenidos en el mencionado modelo M-27.1. El coeficiente de proporcionalidad o escala E de reducción, será pues:

$$E = \frac{76.1}{110} = 0.6918$$

Para la construcción de este modelo de caras macizas, se precisan las siguientes piezas:

PIEZA N°1 CARAS SUPERFICIALES

24 unidades

La forma y dimensiones se detallan en la figura 1

Alvarez

Febrero 1979

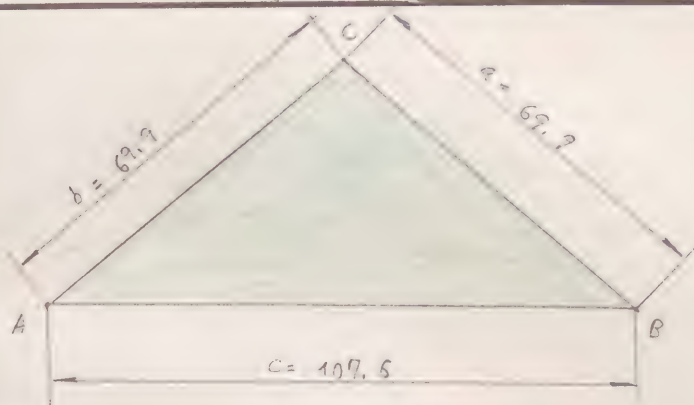


Figura 1

PIEZA N° 1 24 (u)

Figura 1

Las longitudes de los lados del triángulo ABC son proporcionales a las de la fig. 1 del modelo M-27.1

$$AB = 155,6 \times 0,6918 \dots \approx 107,6 \text{ m.m.}$$

$$AC = CB = 101,1 \times 0,6918 \dots \approx 69,9 \text{ m.m.}$$

PIEZA N° 2 UNIONES ARISTAS EN LADOS "a" y "b" (fig. 1)

24 unidades

La forma y dimensiones se representan en la figura 2

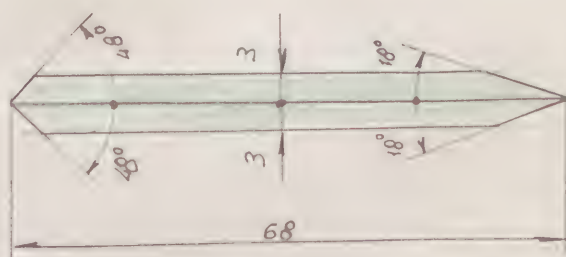


Figura 2

PIEZA N° 2 24 (u)

Figura 2

PIEZA N° 3 UNIONES ARISTAS EN LADOS "c" (figura 1)

42 unidades

La forma y dimensiones se representan en la figura 3.

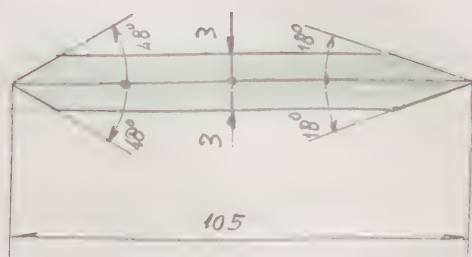


Figura 3

PIEZA N° 3 12 (u)

Figura 3

PIEZA N° 4 REFUERZO NORMAL INTERIOR 24 unidades

La forma y dimensiones se deducen de las del triángulo ABC de la figura 1. y se representan en la figura 4

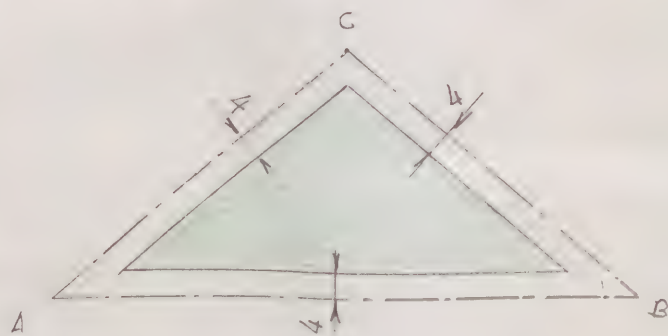


Figura 4

PIEZA N° 4 24 (u)

Figura 4

PIEZA N° 5 FORRO COLOREADO 24 unidades

La forma y dimensiones se deducen de las del triángulo ABC de la figura 1. y se representan en la figura 5

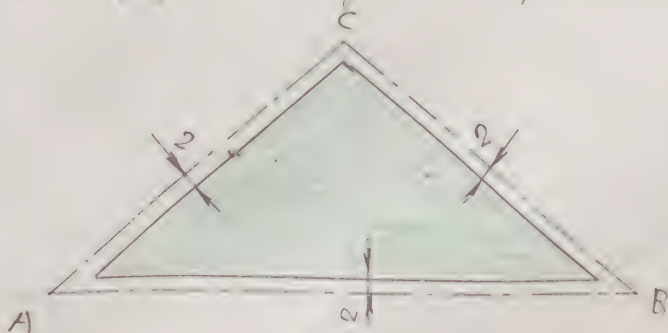


Figura 5

PIEZA N° 5 24 (u)

Figura 5

MODELO CORPÓREO DEL POLIEDRO

CONVEXO DERIVADO DEL DODECAEDRO

E ICOSAEDRO REGULARES, CONJUGADOS

POR SUS ARISTAS, OBTENIDO AL UNIR

LOS EXTREMOS DE LAS ARISTAS DE AM-

BOS POLIEDROS REGULARES QUE SE COR-

TAN PERPENDICULARMENTE EN SUS

PUNTOS MEDIOS.

Radio de la esfera circunscrita al
icosaedro generador:

$$r' = 110 \text{ m m.}$$

ENUNCIADO:

Construir el modelo corpóreo del poliedro convexo, derivado del dodecaedro e icosaedro regulares, conjugados por sus aristas, obtenido al unir los extremos de las aristas de dichos poliedros regulares las cuales se cortan perpendicularmente dos a dos en sus puntos medios.

Este modelo ha sido estudiado en el ejercicio G.E. , y representado en la lámina nº 32 del mismo.

Las características del mismo, son:

Número de caras cóncavas	$C = 30$
Número de vértices	$V = 32$
Número de aristas	$A = 60$

Las caras tienen la forma de rombos, siendo sus diagonales las aristas a_{20} y a_{12} del icosaedro y dodecaedro regulares convexos, generadores, respectivamente. Todas las caras son iguales.

El modelo que estudiamos es de caras macizas

Para la construcción de este modelo, se precisan las siguientes piezas:

DATO: Radio $r_{ec}^{20} = 110$ de la esfera circunscrita al icosaedro generador

PIEZA N° 1 CARAS SUPERFICIALES 30 unidades

Como hemos indicado anteriormente sus caras son cóncavas, y su forma y dimensiones se detallan en la figura 1.

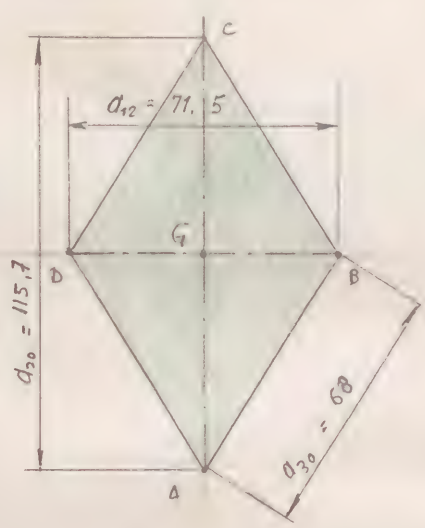


Figura 1

Las fórmulas aplicadas a continuación han sido deducidas en el apéndice G.E. lámina 32

$$CA = d_{20} = \sqrt{\frac{10 - 2\sqrt{5}}{5}} \times r_{ec}^{20} \approx$$

$$\approx 1.051462224... \times 110 \approx 115.7 \text{ mm}$$

$$DB = a_{12} = 2 \sqrt{\frac{5 - 2\sqrt{5}}{5}} \times r_{ec}^{20} \approx$$

$$\approx 0.649839393... \times 110 \approx 71.5 \text{ mm}$$

$$A/B = a_{30} = \sqrt{\frac{3 - \sqrt{5}}{2}} \times r_{ec}^{20} = 0.618033989... \times 110 \approx 68 \text{ mm}$$

PIEZA N° 1 30 (u)

PIEZA N° 2 REFUERZO NORMAL INTERIOR 30 unidades

La forma y dimensiones se deducen de las del conito ABCD de la figura 1 y se representan en la figura 2

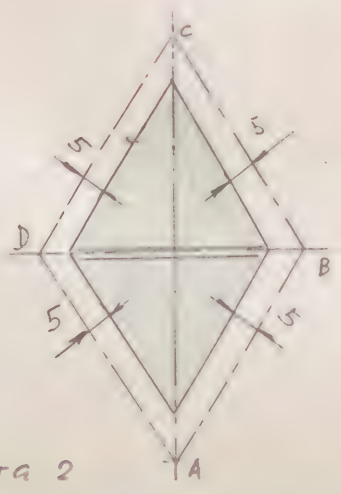


Figura 2

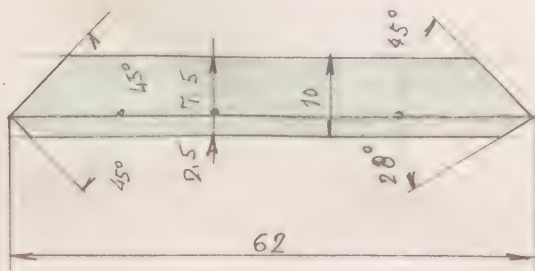
PIEZA N° 2 30 (u)

Figura 2

PIEZA N° 3 REFUERZO TRANSVERSAL INTERIOR 60 unidades
(simétricas 2 a 2)

Se colocan en la dirección de la diagonal menor DB (ver fig. 2).

La forma y dimensiones se detallan en la figura 3



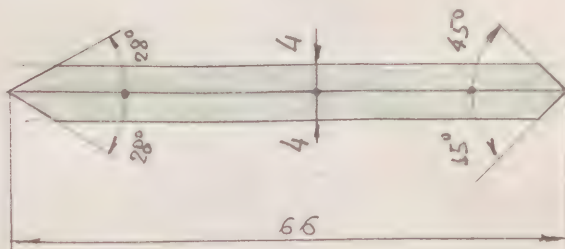
PIEZA N° 3 60 (u)

Figura 3

Figura 3

PIEZA N° 4 UNIONES ARISTAS 60 unidades

La forma y dimensiones se detallan en la figura 4



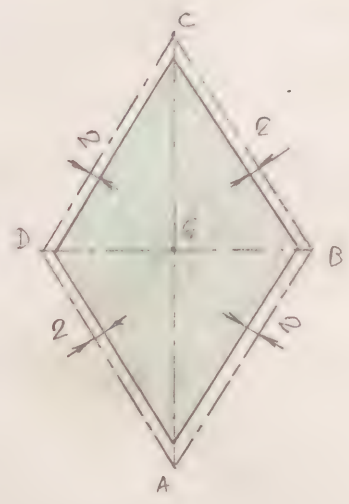
PIEZA N° 4 60 (u)

Figura 4

Figura 4

PIEZA N° 5 FORRO COLOREADO 30 unidades

La forma y dimensiones se deducen de las del conito ABCD de la figura 1, y se representan en la figura 5



PIEZA N° 5 30 (G)

Figura 5

Figura 5



Variante del modelo M-32.1

MODELO CORPÓREO DEL POLIEDRO

CONVEXO DERIVADO DEL DODECAE-

DRO E ICOSAEDROS REGULARES, CON-

JUGADOS POR SUS ARISTAS, OBTENIDO

AL UNIR LOS EXTREMOS DE LAS ARISTAS

DE AMBOS POLIEDROS REGULARES, LAS

CUALES SE CORTAN PERPENDICULARMEN-

TE EN SUS PUNTOS MEDIOS. _____

Radio de la esfera circunscrita al icosae-
dro generados:

$$r' = 110 \text{ m m.}$$

Variante del modelo M-32,1

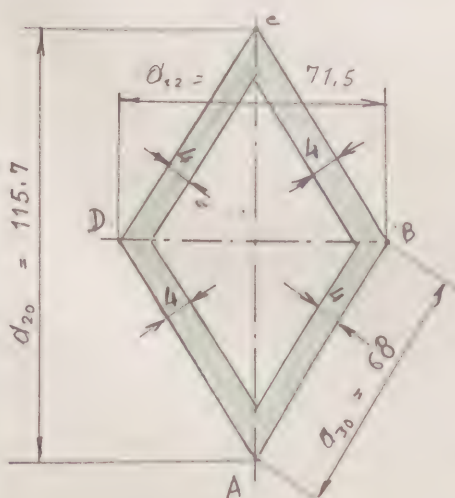
ENUNCIADO: Construir el modelo corpóreo del poliedro convexo, derivado del dodecaedro e icosaedro regulares, conjugados por sus aristas, obtenido al unir los extremos de las aristas de dichos poliedros regulares, las cuales se cortan perpendicularmente dos a dos en sus puntos medios.

Este modelo es una variante del modelo M-32,1, la cual consiste en construirlo con sus caras vaciadas en sustitución a las caras macizas del M-32,1.

Para la construcción de este modelo, se precisan las siguientes piezas:

PIEZA N° 1 CARAS SUPERFICIALES 30 unidades

La forma y dimensiones se detallan en la figura 1, y se deducen de las del rombo ABCD (fig. 1) del modelo M-32,1.



PIEZA N° 1 30 (u)

Figura 1

Figura 1

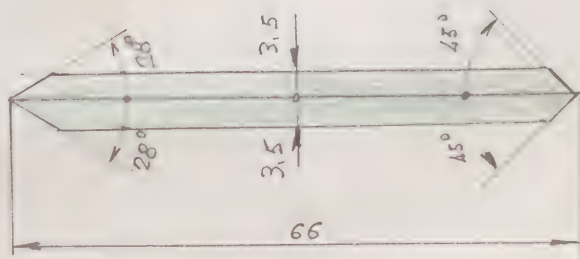


PIEZA N° 2

UNIONES ARISTAS

60 unidades

La forma y dimensiones se detallan en la figura 1



PIEZA N° 2 60(u)

Figura 2

Figura 2

MODELO CORPÓREO EN EL QUE SE
PONE DE MANIFIESTO QUE EL ICO-
SAEDRO REGULAR CONVEXO ES INS-
CRIPTIBLE EN EL POLIEDRO CONVE-
XO ESTUDIADO EN EL MODELO M-32.2

Radio de la esfera circunscrita al
icosaedro generador:

$$r' = 110 \text{ m m.}$$

ENUNCIADO: Construir el modelo corpóreo en el que se pone de manifiesto que el icosaedro regular convexo, es inscriptible en el poliedro convexo estudiado en el modelo M-32.2

En el estudio del modelo M-32.1 vimos que el poliedro convexo derivado del dodecaedro e icosaedro regulares, conjugados por sus aristas, se obtenía al unir los extremos de las aristas de dichos poliedros regulares, las cuales se cortaron perpendicularmente dos a dos en sus puntos medios.

Las caras del mencionado poliedro convexo son cóncavas y su forma y dimensiones se detallan en la fig. 1 del mencionado modelo M-32.1.

Los vértices A, C de la diagonal mayor del rombo, son los vértices del icosaedro regular generador y los vértices B, D, de la diagonal menor, son vértices del dodecaedro generador. La esfera circunscrita a este último es de menor radio del de la circunscrita al icosaedro.

Por consiguiente, ambos poliedros regulares son inscriptibles en el poliedro convexo estudiado en el mencionado modelo M-32.1 y también en el del M-32.2.

El poliedro convexo exterior es de caras vaciadas (M-32.2)

El icosaedro regular convexo es de caras macizas (M-5.107)

Para la construcción de este modelo se precisan las siguientes piezas:

1) POLIEDRO CONVEXO EXTERIOR

PIEZA N° 1 CARAS SUPERFICIALES 30 unidades

Iguales a la pieza n°1 (fig. 1) del modelo M-32.2

PIEZA N° 2 UNIONES ARISTAS 60 unidades

Iguales a la pieza n°2 (fig. 2) del modelo M-32.2

2) ICOSAEDRO REGULAR CONVEXO INSCRITO EN EL POLIEDRO 1)

PIEZA N° 3 CARAS SUPERFICIALES 20 unidades

Iguales a la pieza n°1 (fig. 1) del modelo M-5.101

PIEZA N° 4 REFUERZO NORMAL INTERIOR 80 unidades

Iguales a la pieza n°2 (fig. 2) del modelo M-5.101

PIEZA N° 5 REFUERZO TRANSVERSAL INTERIOR 60 unidades

Iguales a la pieza n°3 (fig. 3) del modelo M-5.101

PIEZA N° 6 UNIONES ARISTAS 30 unidades

Iguales a la pieza n° 4 (fig. 4) del modelo M-5.101

PIEZA N° 7 FORRO COLOREADO DE LAS CARAS SUPERFICIALES

20 unidades

Iguales a la pieza n° 5 (fig. 5) del modelo M-5.101

ESTUDIO

MODELO CORPÓREO EN EL QUE SE
 PONE DE MANIFIESTO QUE EL DODE-
 CAEDRO REGULAR CONVEXO ES INS-
 CRIPTIBLE EN EL POLIEDRO CONVEXO
 ESTUDIADO EN EL MODELO M-32.2 —

Radio de la esfera circunscrita al
 icosaedro generador:

$$r' = 110 \text{ m m.}$$

ENUNCIADO: Construir el modelo corpóreo en el que se pone de manifiesto que el dodecaedro regular convexo, es inscriptible en el poliedro convexo estudiado en el modelo M-32.2.

Las caras del poliedro convexo exterior son cóncavas y su forma y dimensiones se detallan en la figura 1 del modelo M-32.1.

Los vértices B, D, de la diagonal del rombo, son vértices del dodecaedro regular generador, siendo el radio de la esfera circunscrita a éste, de menor tamaño que el de la circunscrita al poliedro exterior.

Eni pues, el dodecaedro regular convexo es inscriptible en el poliedro convexo del modelo M-32.2 de igual forma y tamaño que el del modelo M-32.1.

El poliedro convexo exterior es de caras vaciadas

El dodecaedro regular convexo, inscrito en el anterior, es de caras macizas

Para la construcción de este modelo, se precisan las siguientes piezas:

1) POLIEDRO CONVEXO EXTERIOR

PIEZA N° 1

CARAS SUPERFICIALES

30 unidades

Iguales a la pieza n° 1 (fig. 1) del modelo M-32.2

PIEZA N° 2

UNIONES ARISTAS

60 unidades

Iguales a la pieza n° 2 (fig. 2) del modelo M-32.2

2) DODECAEDRO REGULAR CONVEXO INSCRITO EN EL POLIEDRO 1)

El radio r_{ec}^{12} de la esfera circunscrita al dodecaedro, se obtiene de la fórm. del ejercicio G.E., lám. 32:

$$r_{ec}^{12} = \sqrt{\frac{3(5-\sqrt{5})}{10}} \times r_{ec}^{20} \approx 0.910592997... \times 110 = 100,165297... \\ \approx 100 \text{ mm.}$$

La arista del dodecaedro se obtiene de la fórmula (ver modelo M-4.101)

$$d_{12} = \frac{\sqrt{5}-\sqrt{3}}{3} \times r_{ec}^{20} = 0.713644179... \times 100,165297... \approx 71,48233311... \approx 71.5 \text{ mm}$$

(Valor coincidente con el de la diagonal menor DB de una cara cóncava). - Ver fig. 1 del modelo M-32.1

El radio " r_{c-5} " de la circunferencia circunscrita al pentágono regular convexo de una cara superficial, cuyo lado $l_5 = d_{12}$, será: (ver fórm. 11 del ejercicio G.P. 1400-44)

$$r_{c-5} = \sqrt{\frac{5+\sqrt{5}}{10}} l_5 = 0.850650808... \times 71,48233311... \approx 60.8 \text{ mm}$$



PIEZA N° 3

CARAS SUPERFICIALES

12 unidades

La forma y dimensiones se detallan en la figura 1

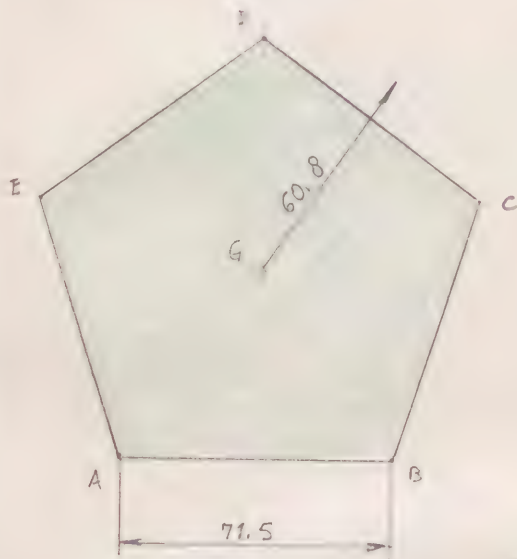


Figura 1

PIEZA N° 3 12 (u)

Figura 1

PIEZA N° 4

REFUERZO NORMAL INTERIOR

12 unidades

La forma y dimensiones se detallan en la figura 2, y se deducen de las del pentágono ABCDEA de la figura 1

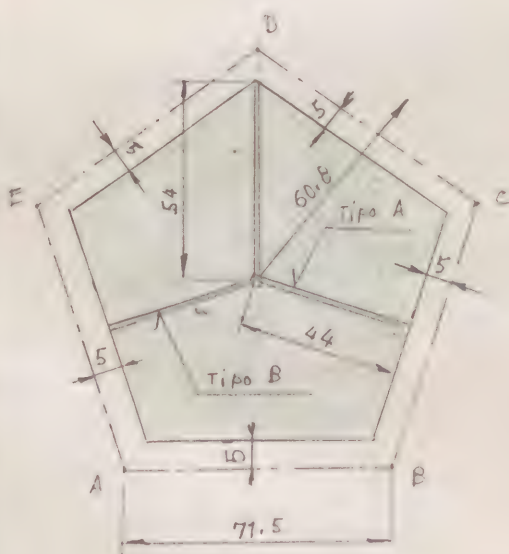


Figura 2

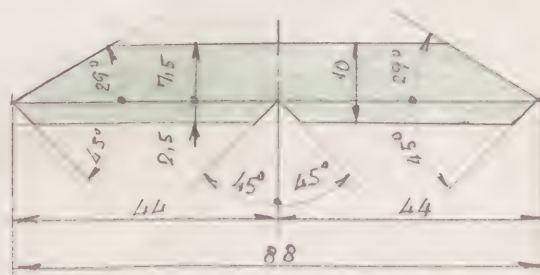
PIEZA N° 4

12 (u)

Figura 2

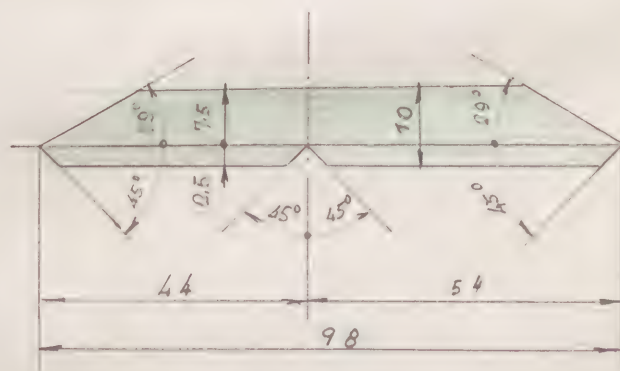
PIEZA N° 5 REFUERZO TRANSVERSAL INTERIOR 36 unidades
(12 del tipo B y 24 del tipo A) (simétricas 2 a 2)

Figura 3



PIEZA N° 5 Tipo B

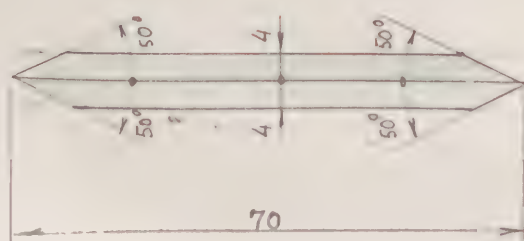
12 (u) (simétricas 2 a 2)



PIEZA N° 5 Tipo A

24 (u) (simétricas 2 a 2)

PIEZA N° 6 UNIONES ARISTAS 30 unidades



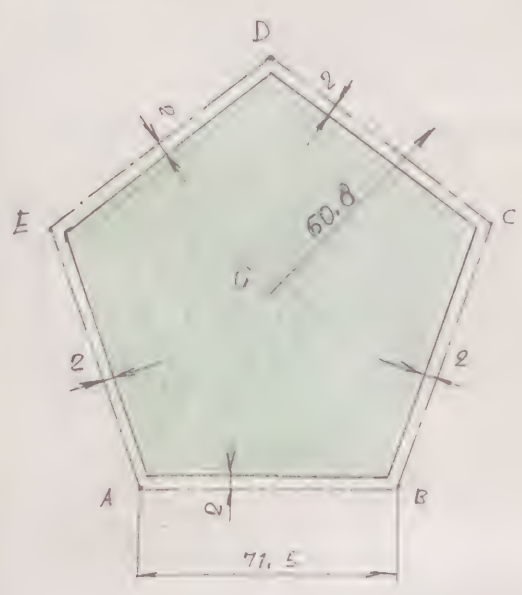
PIEZA N° 6 30 (u)

Figura 4

Figura 4

PIEZA N° 7 FORRO COLOREADO 12 unidades

La forma y dimensiones se detallan en la figura 5, y se deducen de las del pentágono regular ABCDEA de la figura 1



PIEZA N° 7

12 (u)

Figura 5

Figura 5

variante del modelo M - 32.1

Fig. 1

MODELO CORPÓREO DEL POLIEDRO

CONVEXO DERIVADO DEL DODECAE -

DRO E ICOSAEDRO REGULARES, CON-

JUGADOS POR SUS ARISTAS, OBTENIDO

AL UNIR LOS EXTREMOS DE LAS ARIS-

TAS DE AMBOS POLIEDROS REGULARES,

LAS CUALES SE CORTAN PERPENDICU-

LARMENTE EN SUS PUNTOS MEDIOS.

Radio de la esfera circunscrita al
icosaedro generador :

$$r' = 76,1 \text{ m m}$$

Variante del modelo M-32.1

ENUNCIADO:

Construir el modelo corpóreo del poliedro convexo, derivado del dodecaedro e icosaedro regulares, conjugados por sus aristas, obtenido al unir los extremos de las aristas de dichos poliedros regulares, las cuales se cortan perpendicularmente dos a dos en sus puntos medios.

Este modelo es análogo al estudiado en el M-3.1, con la variante de ser de menor tamaño, ya que el radio r_{ec}^{20} de la esfera circunscrita al icosaedro regular generador, es de 76.1 mm, menor que el de 110 mm del mencionado modelo M-3.1.

El coeficiente de proporcionalidad o escala de reducción, será pues:

$$E = \frac{76.1}{110} = 0.6918...$$

que aplicaremos en el cálculo de las longitudes de este modelo en función de las correspondientes del M-3.1

Para la construcción de este modelo, de caras macizas, se precisan las siguientes piezas:

PIEZA N° 1

CARAS SUPERFICIALES

30 unidades

La forma y dimensiones se detallan en la figura 1

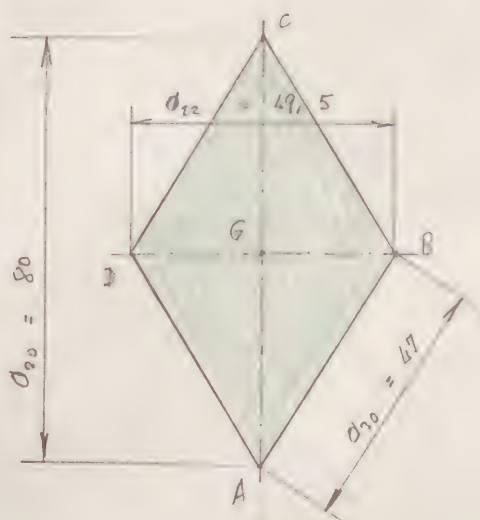


Figura 1

Las magnitudes acotadas se calculan a continuación:

$$115.7 \times 0.6948 \dots \approx 80$$

$$71.5 \times id \approx 49.5$$

$$68 \times id \approx 47$$

PIEZA N° 1 30 (u)

Figura 1

PIEZA N° 2 REFUERZO NORMAL INTERIOR 30 unidades

La forma y dimensiones se deducen de las del rombo ABCD de la figura 1, y se representan en la figura 2



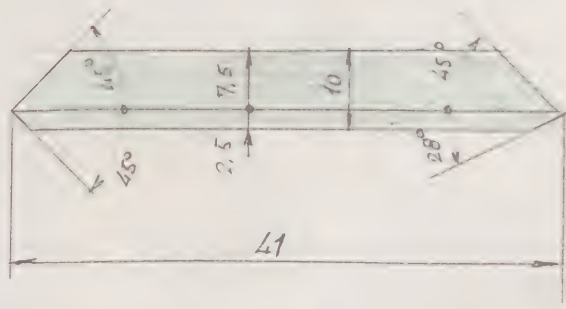
Figura 2

PIEZA N° 2 30 (u)

Figura 2

PIEZA N° 3 REFUERZO TRANSVERSAL INTERIOR 60 unidades
(simétricas 2 a 2)

se colocan en la dirección de la diagonal menor DB (ver fig. 2).
 La forma y dimensiones se detallan en la figura 3.



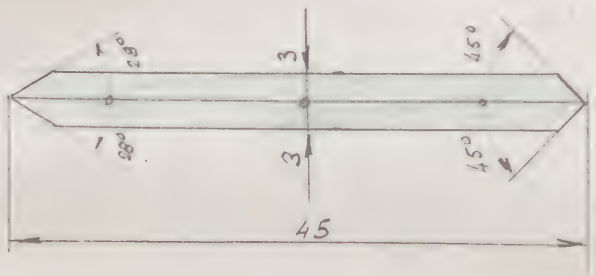
PIEZA N° 3 60 (u)

Figura 3

Figura 3

PIEZA N° 4 UNIONES ARISTAS 60 unidades

La forma y dimensiones se detallan en la figura 4



PIEZA N° 4' 60 (u)

Figura 4

Figura 4

PIEZA N° 5 FORRO COLOREADO 30 unidades



La forma y dimensiones se deducen de las del conito ABCD de la fig. 1 y se detallan en la figura 5

PIEZA N° 5 60 (u)

Figura 5

Figura 5

EN UNIDADES

MODELO CORPÓREO DEL POLIEDRO CONVEXO
DE CARAS MACIZAS "ARQUIMEDIANO III",
FORMADO POR OCHO CARAS TRIANGULARES
REGULARES (C_3) Y SEIS CARAS CUADRA-
DAS (C_4), CONCURRIENDO EN CADA VÉRTI-
CE $2 C_3 + 2 C_4$.

Radio de la esfera circunscrita:

$$r' = 110 \text{ mm.}$$

ENUNCIADO: Construir el modelo corpóreo del poliedro convexo de caras macizas "ARQUIMEDIANO III", formado por ocho caras triangulares (C_3) y seis caras cuadradas (C_4), concurriendo en cada vértice $2C_3 + 2C_4$.

Este poliedro ha sido estudiado analíticamente en el ejercicio G.E. n° ----. Lámina 35, y representado en sus vistas principal, superior y lateral izquierda en la mencionada Lámina 35, a escala 1:1, con el radio r_{ec}^{III} de su esfera circunscrita, de $r_{ec}^{III} = 55$ mm.

DATO ÚNICO DE ESTE EJERCICIO: Radio de la esfera circunscrita

$$r_{ec}^{III} = 110 \text{ mm}$$

Las características geométricas del ARQUIMEDIANO III, son las siguientes:

Número de caras triangulares regulares $C_3 = 8$

Número de caras cuadradas $C_4 = 6$

Número de vértices $= \frac{8 \times 3 + 6 \times 4}{4} = 12$

Número de aristas $= \frac{8 \times 3 + 6 \times 4}{2} = 24$

Número de caras de un ángulo

sólido $2C_3 + 2C_4$

Para poder obtener el despiece de este poliedro, calculemos previamente la longitud " a^{III} " de la arista del mismo, en función del radio " r_{ec}^{III} " de su esfera circunscrita. Para ello utilizaremos la fórmula

$$r_{ec}^{\text{III}} = a^{\text{III}} \quad (1)$$

deducida en el mencionado ejercicio G. E. n°... Lámina 35, que nos da el valor del radio de la esfera circunscrita en función de la arista a^{III} del Arquimediano y viceversa. Por lo que tendremos a su vez

$$a^{\text{III}} = r_{ec}^{\text{III}} \quad (2)$$

En el caso estudiado, tendremos:

$$a^{\text{III}} = r_{ec}^{\text{III}} = 110 \text{ mm}$$

Esta sola magnitud nos permite la construcción del poliedro estudiado, para el cual son necesarias las siguientes piezas:

PIEZA N° 1 CARAS LATERALES TRIANGULARES REGULARES
8 unidades

La forma y dimensiones se detallan en la figura 1

(Calvaras)

junio 1980

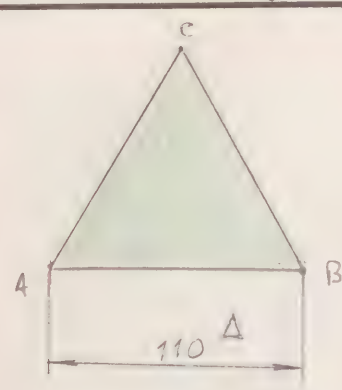


Figura 1

PIEZA N° 1 . 8 (u)

Figura 1

PIEZA N° 2 CARAS LATERALES CUADRADAS. 6 unidades

La forma y dimensiones se detallan en la figura 2

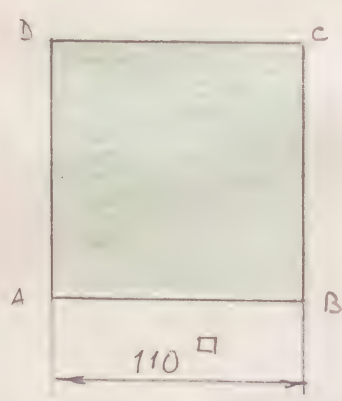


Figura 2

PIEZA N° 2

6 (u)

Figura 2

PIEZA N° 3 REFUERZO NORMAL INTERIOR DE LAS CARAS TRIANGULARES REGULARES

8 unidades

La forma y dimensiones se deducen de las del triángulo ABC de la figura 1, y se detallan en la figura 3.

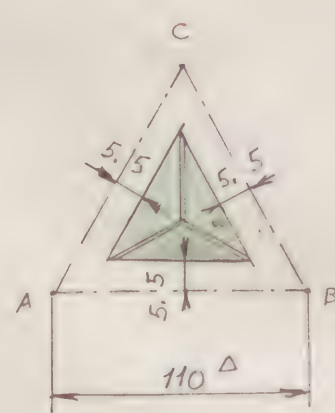
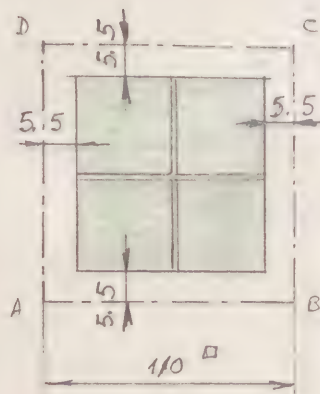


Figura 3

PIEZA N° 3 8 (u)

Figura 3

PIEZA N° 4 REFUERZO NORMAL INTERIOR DE LAS CARAS
CUADRADAS 6 unidades



La forma y dimensiones se deducen de
 las del cuadrado ABCD de la figura 2, y
 se detallan en la figura 4

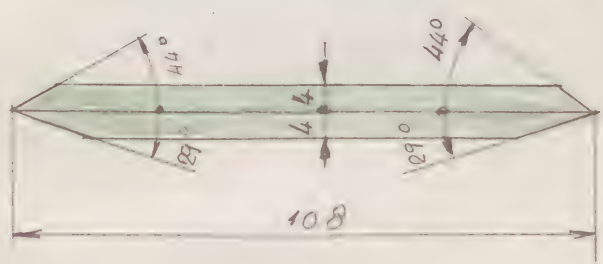
PIEZA N° 4 6 (u)

Figura 4

Figura 4

PIEZA N° 5 UNIONES ARISTAS DE UNA CARA TRIANGU-
LAR CON OTRA CUADRADA 24 unidades

La forma y dimensiones se detallan en la figura 5



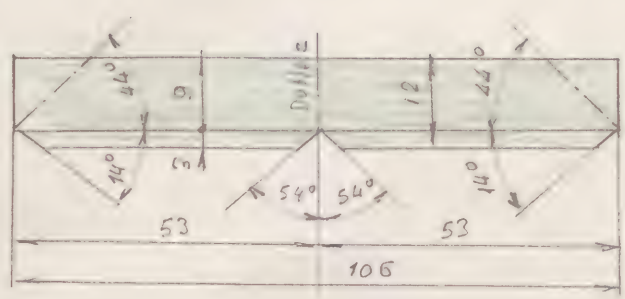
PIEZA N° 5 24 (u)

Figura 5

Figura 5

PIEZA N° 6 REFUERZO TRASVERSAL INTERIOR DE LAS
CARAS TRIANGULARES 24 unidades
 (simétricos 2 a 2)

La forma y dimensiones se detallan en la figu-
 ra 6; su colocación en la figura 3.



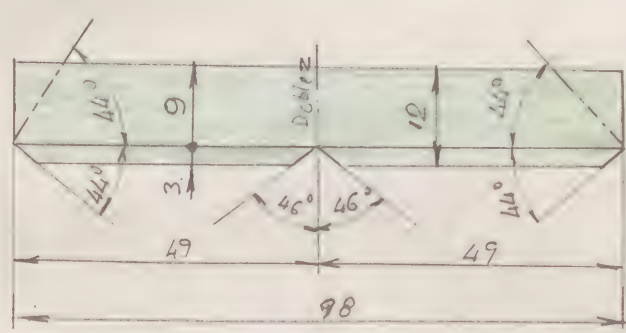
PIEZA N° 6 24 (u)

Figura 6

Figura 6

PIEZA N° 7 REFUERZO TRANSVERSAL INTERIOR DE LAS CA-
RAS CUADRADAS 24 unidades
(simétricas 2 a 2)

La forma y dimensiones se detallan en la figura 7; su colocación en la figura 4.



PIEZA N° 7

24 (u)

Figura 7

Figura 7

PIEZA N° 8 FORRO COLOREADO EN CARAS TRIAN-
GULARES 8 unidades

La forma y dimensiones se detallan en la figura 8, y se deducen de las del triángulo ABC de la figura 1

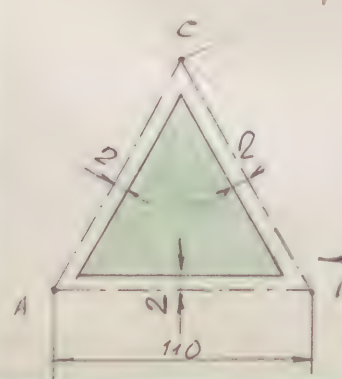


Figura 8

PIEZA N° 8 8 (u)

Figura 8

PIEZA N° 9 FORRO COLOREADO EN CADA CUADRADA
6 unidades

La forma y dimensiones se deducen de las del cuadrado ABCD de la figura 2, y se detallan en la figura 9

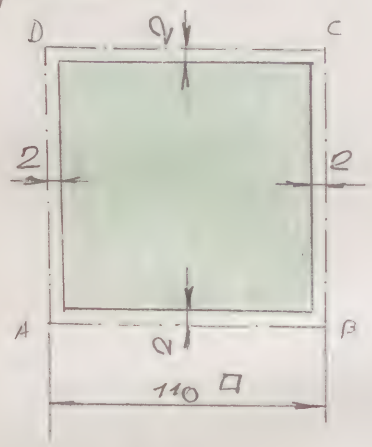


Figura 9

PIEZA N° 9

6 (u)

Figura 9

EN POLIEDRO

MODELO CORPÓREO DEL POLIEDRO CONVEXO DE CARAS VACIADAS, "ARQUIMEDIA-NO III", FORMADO POR OCHO CARAS TRIANGULARES REGULARES (C_3), Y SEIS CARAS CUADRADAS (C_4), CONCURRIENDO EN CADA VÉRTICE $2 C_3 + 2 C_4$.

Radio de la esfera circunscrita:

$$r' = 110 \text{ mm.}$$

ENUNCIADO: Construir el modelo corpóreo del poliedro compuesto de caras vaciadas, "ARQUIMEDIANO III", formado por ocho caras triangulares regulares (C_3), y seis caras cuadradas (C_4), cubriendo en cada vértice $2C_3 + 2C_4$.

Este modelo, puede considerarse como una variante del M-35.1, de igual forma y dimensiones, pero con sus caras vaciadas.

Las propiedades de este poliedro, así como sus dimensiones, son las enunciadas y calculadas en el mencionado modelo M-35.1.

DATO ÚNICO DE ESTE EJERCICIO: $r_{ec}^{III} =$ radio de la esfera circunscrita:

$$r_{ec}^{III} = 110 \text{ mm}$$

Para la construcción de este poliedro, son necesarias las siguientes piezas:

<u>PIEZA N°1</u>	<u>CARAS LATERALES TRIANGULARES.</u>
	<u>REGULARES</u>
	<u>8 unidades</u>

La forma y dimensiones se detallan en la figura 1

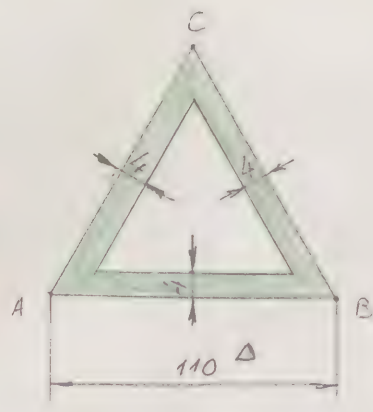


Figura 1

PIEZA N° 1

8 (u)

Figura 1

PIEZA N° 2 CARAS LATERALES CUADRADAS 6 unidades.

La forma y dimensiones se detallan en la figura 2

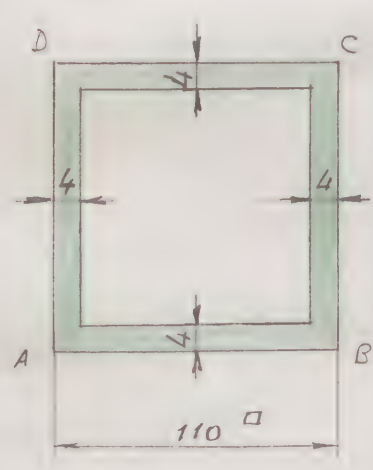


Figura 2

PIEZA N° 2

6 (u)

Figura 2

PIEZA N° 3 UNIONES ARISTAS DE UNA CARA TRIANGULAR
CON OTRA CUADRADA 24 unidades

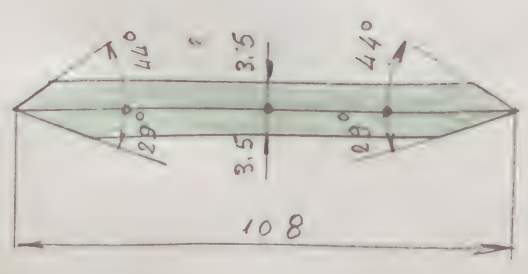


Figura 3

PIEZA N° 3 24 (u)

Figura 3

VARIANTE DEL MODELO M-35.1,
DE IGUAL FORMA QUE ÉSTE, SIEN-
DO MÁS PEQUEÑO EL RADIO DE
SU ESPERA CIRCUNSCRITA.

Radio de la esfera circunscrita:

$$r' = 76.1 \text{ mm.}$$

ENUNCIADO: Construir el modelo corpóreo del poliedro convexo de caras macizas "ARQUIMEDIANO III", formado por ocho caras triangulares regulares (C_3) y seis caras cuadradas (C_4), concu-
riendo en cada vértice $2 C_3 + 2 C_4$.

Este modelo puede considerarse como una variante del modelo M-35.1, de igual forma, pero siendo menor el radio de su esfera circunscrita. ($r_{ec}^{III} = 76.1 \text{ mm}$).

Para obtener el despiece de este modelo, utilizaremos el mismo estudio analítico, hecho en el modelo M-35.1, determinando previamente el coeficiente "k" de reducción $k = 76.1 : 110$, o relación entre los radios correspondientes de sus respectivas esferas circunscritas.

DATO ÚNICO DEL EJERCICIO

$$r_{ec}^{III} = 76.1 \text{ mm}$$

COEFICIENTE DE REDUCCIÓN

$$k = \frac{76.1}{110} = 0.6918 \dots$$

A continuación presentamos diversas tablas de longitudes y ángulos, cuyas dimensiones han sido reseñadas en las distintas figuras del modelo M-35.1, y de los valores correspondientes a aplicar en la construcción de este nuevo modelo M-35.3, en el que son necesarias las siguientes piezas:

PIEZA N°1 CARAS LATERALES TRIANGULARES REGULARES 8 unidades

La figura 1, ha de construirse con las siguientes cotas modificadas:

<u>FIGURA 1</u>	Longitudes mm	Cotas modificadas mm
<u>Pieza n° 1</u> 8 (u)	110	76.1

PIEZA N°2 CARAS LATERALES CUADRADAS 6 unidades

La figura 2, ha de construirse con las siguientes cotas modificadas

<u>FIGURA 2</u>	Longitudes mm	Cotas modificadas mm
<u>Pieza n° 2</u> 6 (u)	110	76.1

PIEZA N° 3 REFUERZO NORMAL INTERIOR DE LAS CARAS
TRIANGULARES REGULARES 8 unidades

La figura 3, ha de construirse con las siguientes cotas modificadas:

<u>FIGURA 3</u>	Longitudes m m	Cotas modificadas m m
<u>Pieza n° 3</u>	110	76.1
<u>8 (u)</u>	5.5	5

PIEZA N° 4 REFUERZO NORMAL INTERIOR DE LAS CARAS
CUADRADAS 6 unidades

La figura 4, ha de construirse con las siguientes cotas modificadas:

<u>FIGURA 4</u>	Longitudes m m	Cotas modificadas m m
<u>Pieza n° 4</u>	110	76.1
<u>6 (u)</u>	5.5	5

PIEZA N° 5 UNIONES ARISTAS DE UNA CARA TRIANGULAR
CON OTRA CUADRADA 24 unidades

La figura 5, ha de construirse con las siguientes cotas modificadas:

Alvarez

junio 1980

<u>FIGURA 5</u>	<u>Longitudes</u> m m	<u>Cotas modificadas</u> m m
<u>Pieza n° 5</u>	108	74
<u>24 (u)</u>	4	4
	29°	29°
	44°	44°

PIEZA N° 6 REFUERZO TRANSVERSAL INTERIOR DE LAS CA-
RAS TRIANGULARES 24 unidades

La figura 6, ha de construirse con las siguientes cotas modificadas:

<u>FIGURA 6</u>	<u>Longitudes</u> m m	<u>Cotas modificadas</u> m m
<u>Pieza n° 6</u>	53	33
<u>24 (u)</u>	106	66
	3	2,5
	9	7,5
	12	10
	14°	14°
	44°	44°

PIEZA N° 7 REFUERZO TRANSVERSAL INTERIOR DE LAS CA-
RAS CUADRADAS 24 unidades

La figura 7, ha de construirse con las siguientes cotas modificadas:

<u>FIGURA 7</u>	Longitudes mm	Cotas modificadas mm
Pieza n° 7	49	32
24 (u)	98	64
	3	2,5
	9	7,5
	12	10
	44°	44°
	46°	46°

PIEZA N° 8 FORRO COLOREADO EN CARAS TRIANGULARES
8 unidades

La figura 8. ha de construirse con las siguientes cotas modificadas:

<u>FIGURA 8</u>	Longitudes mm	Cotas modificadas mm
Pieza n° 8	110	76,1
8 (u)	2	2

PIEZA N° 9 FORRO COLOREADO EN CARAS CUADRADAS
6 unidades

La figura n° 9, ha de construirse con las siguientes cotas modificadas:

<u>FIGURA 9</u>	Longitudes mm	Cotas modificadas mm
Pieza n° 9	110	76,1
6 (u)	2	2

REPLAZADO

VARIANTE DEL MODELO M-35.2

DE IGUAL FORMA QUE ÉSTE, SIEN-
DO MÁS PEQUEÑO EL RADIO DE SU ES-
FERA CIRCUNSCRITA.

Radio de la esfera circunscrita:

$$r' = 76,1 \text{ mm}$$



ENUNCIADO: Construir el modelo corpóreo del poliedro con-
menso de caras vaciadas "ARQUIMEDIANO III",
formado por ocho caras triangulares regula-
res (C_3) y seis caras cuadradas (C_4),
concurriendo en cada vértice $2C_3 + 2C_4$

Este modelo puede considerarse como una variante
del modelo M-35.2, de igual forma, pero siendo me-
nor el radio de su esfera circunscrita ($r_{ec}^{III} = 76.1 \text{ mm}$).

Para obtener el espesor de este modelo, utilizaremos
el mismo estudio analítico, hecho en el modelo
M-35.2, determinando previamente el coeficiente "k"
de reducción $k = 76.1 : 110$, o relación entre los ra-
dios correspondientes de sus respectivas esferas circunscritas.

DATO ÚNICO DEL EJERCICIO

$$r_{ec}^{III} = 76.1 \text{ mm}$$

COEFICIENTE DE REDUCCIÓN

$$k = \frac{76.1}{110} = 0.6918...$$



A continuación presentamos diversas tablas de longitudes y ángulo, cuyas dimensiones han sido reseñadas en las distintas figuras del modelo M-35.2, y de los valores correspondientes a aplicar en la construcción de este nuevo modelo M-35.4, en el que son necesarias las siguientes piezas:

PIEZA N° 1 CARAS LATERALES TRIANGULARES

8 unidades

La figura 1, ha de construirse con las siguientes cotas modificadas:

<u>FIGURA 1</u>	Longitudes m m	Cotas modificadas m m
<u>Pieza n° 1</u>	110	76.1
8(u)	4	3

PIEZA N° 2 CARAS LATERALES CUADRADAS

6 unidades

La figura 2, ha de construirse con las siguientes cotas modificadas:

<u>FIGURA 2</u>	Longitudes m m	Cotas modificadas m m
<u>Pieza n° 2</u>	110	76.1
6(u)	4	3

PIEZA Nº 3 UNIONES ARISTAS DE UNA CARA TRIANGULAR
CON OTRA CUADRADA 24 unidades

La figura 3, ha de constar con las siguientes co-
tas modificadas:

<u>FIGURA 3</u>	<u>Longitudes</u> mm	<u>Cotas modificadas</u> mm
<u>Pieza nº 3</u>	108	74
24 (4)	3,5	2,5
	29°	29°
	44°	44°

MODELO CORPÓREO DEL "ARQUIMEDIANO III" OBTENIDO POR TRUNCADURA DE VÉRTICES DE UN EXAEDRO REGULAR CONVEXO, DE ARISTA " a_6 ", AL TOMAR SOBRE CADA ARISTA, Y DESDE SU VÉRTICE, LA DISTANCIA $\frac{1}{2} a_6$. - EL ARQUIMEDIANO OBTENIDO, SE CONSTRUIRÁ CON LAS CARAS MACIZAS, Y EL EXAEDRO REGULAR GENERADOR, CON LAS CARAS VACIADAS EN LOS VÉRTICES TRUNCADOS.

Radio de la esfera circunscrita al exaedro generador:

$$r_{ec}^6 = 110 \text{ m m.}$$



ENUNCIADO: Construir el modelo corpóreo del "ARQUIMEDIANO III", obtenido por truncadura de vértices de un exaedro regular convexo, de arista " a_6 ", a la distancia $x = \frac{1}{2} a_6$.
El Arquimediano generado se construirá con las caras macizas, y el exaedro regular convexo generador, con las caras vaciadas en los vértices truncados.

DATO ÚNICO DE ESTE EJERCICIO: r_{ec}^6 = radio de la esfera circunscrita al exaedro generador:

$$r_{ec}^6 = 110 \text{ m m}$$

1) CONSIDERACIONES PREVIAS

El proceso geométrico denominado de TRUNCADURA DE VÉRTICES de los poliedros regulares convexos, por el cual se obtienen muchos de los POLIEDROS SEMIREGULARES CONVEXOS, o POLIEDROS ARQUIMEDIANOS, y también los propios poliedros regulares convexos, fue estudiado sistemáticamente y aplicado al TETRAEDRO REGULAR CONVEXO en los ejercicios M-39.1; M-39.5; M-39.7 y M-6.2

Las diversas posiciones del plano secante dan lugar a la obtención de un poliedro núcleo, de muy variadas

Calderín junio 1980



formas, función de la posición del plano secante con respecto al tetraedro generador. Este plano es el que pasa por puntos tomados a la distancia " x " variable, sobre las aristas que concurren en cada vértice del mencionado tetraedro generador, y a partir de dicho vértice. Las cinco posiciones estudiadas, se detallan resumidamente en el ejercicio M-40,5

La POSICIÓN 4ª a la distancia $x = \frac{1}{2} a_4$, en el TETRAEDRO GENERADOR puede aplicarse también, como hacemos en este ejercicio, al EXAEDRO GENERADOR, generalizando los conceptos obtenidos en su ESTUDIO PREVILO a este caso particular.

Por consiguiente, podremos deducir prontamente, que el poliedro núcleo obtenido por la truncadura de vértices del exaedro regular convexo, a la distancia $x = \frac{1}{2} a_6$, es decir cuando el plano secante pasa por los centros de las tres aristas que concurren en cada vértice, es un poliedro convexo en el que:

- a) El plano secante produce en las caras del poliedro generador "polígonos regulares de igual número de lados que el de dichas caras, y cuyos vértices son los puntos medios de los lados de las caras. En el EXAEDRO GENERADOR se obtendrá en cada cara un cuadrado de lado

$$L_4 = \frac{a_6}{2} \times \sqrt{2} = \frac{\sqrt{2}}{2} a_6 \quad (1)$$

- b) El plano secante produce en los ángulos sólidos de los vértices del poliedro generador, "polígonos regulares convexos, cuyo número de lados es el de caras que forman el ángulo sólido, siendo la longitud de sus lados, la misma que la de los polígonos a)". - En el EXAEDRO GENERADOR se obtendría en cada vértice un triángulo regular de lado $l_3 = l_4 = \frac{\sqrt{2}}{2} a_6$ (2)

Como consecuencia de lo expuesto anteriormente, podemos deducir que el poliedro núcleo resultante de la Truncadura de vértices de un EXAEDRO REGULAR CONVEXO, a la distancia $x = \frac{1}{2} a_6$ es un poliedro convexo de las siguientes características geométricas:

- 1) Número de caras triangulares regulares = $8 C_3$
- 2) Número de caras cuadradas = $6 C_4$
- 3) Número de vértices = $\frac{8 \times 3 + 6 \times 4}{4} = 12 V$
- 4) Número de aristas = $\frac{8 \times 3 + 6 \times 4}{2} = 24 A$
- 5) Número de caras en cada vértice = $2 C_3 + 2 C_4$



Estas características son las mismas que las del poliedro semi-regular convexo denominado "AQQUIMEDIANO III" estudiado y representado en sus vistas principal, superior y lateral derecha, a escala 1:1, de arista $a_{III} = 55 \text{ mm.}$ en la Lámina nº 35

Así pues, y como resumen de lo expuesto anteriormente, podemos establecer el siguiente enunciado que justifica el del modelo estudiado:

"El poliedro núcleo obtenido por la TRUNCADURA DE VÉRTICES de un EXAEDRO REGULAR CONVEXO, a la distancia $x = \frac{1}{2} a_6$, es un AQQUIMEDIANO III de arista $a_{III} = \frac{\sqrt{2}}{2} a_6$ "

2) CÁLCULO ANALÍTICO DE LONGITUDES

Previamente determinaremos las siguientes magnitudes en función de $r_{ec}^6 = 110 \text{ mm}$ dato inicial del problema:

2.1 Arista " a_6 " del exaedro regular convexo generador

Se obtiene de la fórmula $r_{ec}^6 = \frac{\sqrt{3}}{2} a_6$ deducida en

el ejercicio G.E. n° Lámina 2. Despejando en ella a_6 , tendremos:

$$\boxed{a_6} = r_{ec}^6 : \frac{\sqrt{3}}{2} = \frac{2}{\sqrt{3}} \times r_{ec}^6 = \boxed{\frac{2\sqrt{3}}{3} r_{ec}^6} \quad (3)$$

2.2 Arista " a_{III} " del ARQUIMEDIANO III

Se deduce de las fórmulas (1) y (2) sustituyendo en ellas el valor (3)

$$\boxed{a_{III}} = \frac{\sqrt{2}}{2} a_6 = \frac{\sqrt{2}}{2} \times \frac{2\sqrt{3}}{3} \times r_{ec}^6 = \boxed{\frac{\sqrt{6}}{3} r_{ec}^6} \quad (4)$$

2.3 Distancia " x " en que la truncadura de vértices del exaedro regular convexo produce el Arquimédiano III

$$\boxed{x} = \frac{1}{2} a_6 = \frac{1}{2} \times \frac{2\sqrt{3}}{3} \times r_{ec}^6 = \boxed{\frac{\sqrt{3}}{3} r_{ec}^6} \quad (5)$$

3) CONSTRUCCIÓN DEL MODELO PROPUESTO

Para poder efectuar la construcción de este modelo, determinemos previamente los valores numéricos correspondientes a las fórmulas (3), (4) y (5).

Éstos son los siguientes:

$$d_6 = \frac{2\sqrt{3}}{3} \times r_{ec}^6 \approx 1,154700539... \times 110 \approx 127,0 \text{ mm}$$

$$a_{III} = \frac{\sqrt{6}}{3} \times r_{ec}^6 \approx 0,816496581... \times 110 \approx 89,8 \text{ mm}$$

$$x = \frac{\sqrt{3}}{3} \times r_{ec}^6 \approx 0,577350269... \times 110 \approx 63,5 \text{ mm}$$

A) ARQUIMEDIANO NÚCLEO III DE CARAS MACIZAS

PIEZA N° 1 CARAS LATERALES TRIANGULARES REGULARES
8 unidades

La forma y dimensiones se detallan en la figura 1

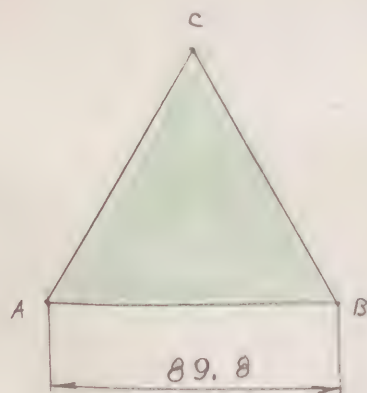


Figura 1

PIEZA N° 1

8 (u)

Figura 1

PIEZA N° 2 CARAS LATERALES CUADRADAS

6 unidades

La forma y dimensiones se detallan en la figura 2

(Calvarae

junio 1980



Figura 2

PIEZA N° 2

6(u)

Figura 2

PIEZA N° 3

REFUERZO NORMAL EN CARAS TRIANGULARES REGULARES 8 unidades

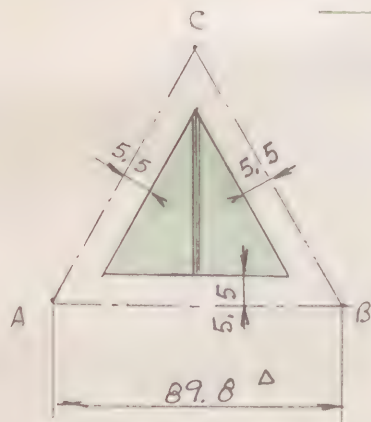


Figura 3

La forma y dimensiones se deducen de las del triángulo ABC de la figura 1, y se detallan en la figura 3

PIEZA N° 3

8(u)

Figura 3

PIEZA N° 4

REFUERZO NORMAL EN CARAS CUADRADAS

6 unidades

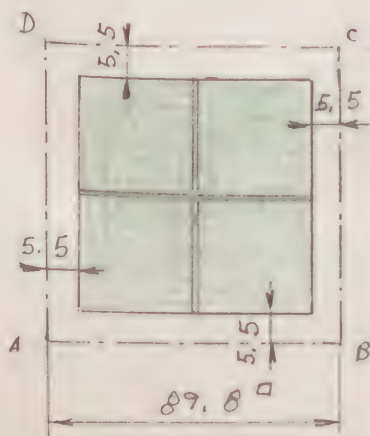


Figura 4

La forma y dimensiones se deducen de las del cuadrado ABCD de la figura 2, y se detallan en la figura 4

PIEZA N° 4

6(u)

Figura 4



PIEZA N° 5 REFUERZO TRANSVERSAL EN CARAS TRIANGU-
LADES REGULARES 16 unidades
 (simétricas 2 a 2)

La forma y dimensiones se detallan en la figura 5;
 su colocación en la figura 3.

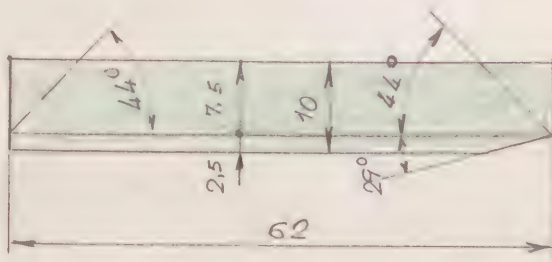


Figura 5

PIEZA N° 5 16 (u)

Figura 5

PIEZA N° 6 REFUERZO TRANSVERSAL EN CARAS CUA-
DRADAS 24 unidades
 (simétricas 2 a 2)

La forma y dimensiones se detallan en la figura 6;
 su colocación en la figura 4.

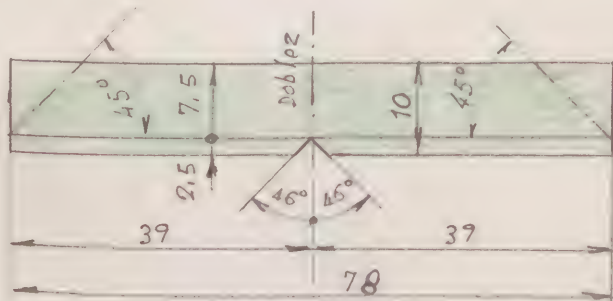


Figura 6

PIEZA N° 6

24 (u)

Figura 6

PIEZA N° 7 UNIONES ARISTAS DE UNA CARA CUADRADA
CON OTRA TRIANGULAR 24 unidades

La forma y dimensiones se detallan en la figura 7

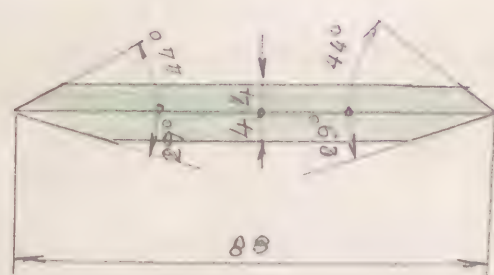


Figura 7

PIEZA N° 7 24 (u)

Figura 7

PIEZA N° 8 FORRO COLOREADO EN CARAS TRIANGULARES REGULARES 8 unidades

La forma y dimensiones se deducen de las del triángulo ABC de la figura 1, y se detallan en la fig. 8

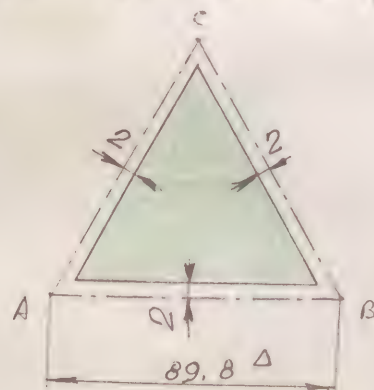


Figura 8

PIEZA N° 8

8 (u)

Figura 8

PIEZA N° 9 FORRO COLOREADO EN CARAS CUADRADAS

6 unidades

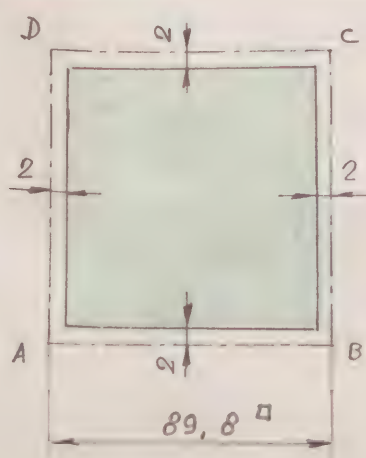


Figura 9

La forma y dimensiones se deducen de las del cuadrado ABCD de la figura 2, y se detallan en la figura 9.

PIEZA N° 9 6 (u)

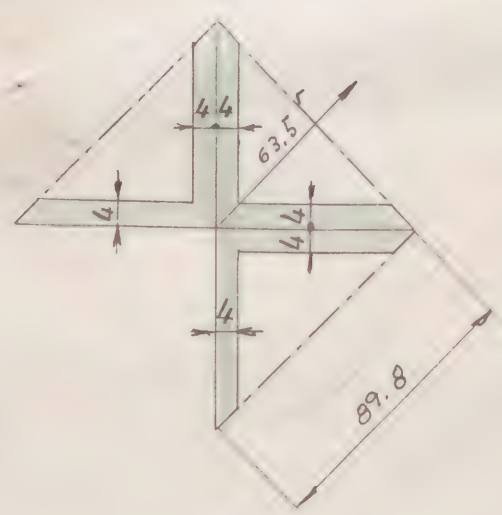
Figura 9

B) EXAEDRO GENERADOR DE CARAS VACIADAS

Queda reducido a ocho pirámides triangulares rectas, regulares, cuyo desarrollo lateral es el siguiente:

PIEZA Nº 10 DESARROLLO LATERAL DE LAS OCHO PIRÁMI-
DES TRUNCADAS 8 unidades

La forma y dimensiones se detallan en la figura 10.



PIEZA Nº 10

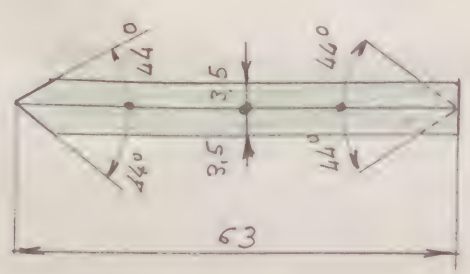
8 (u)

Figura 10

Figura 10

PIEZA Nº 11 UNIONES ARISTAS 24 unidades

La forma y dimensiones se detallan en la figura 11



PIEZA Nº 11

24 (u)

Figura 11

Figura 11



MODELO M - 35.5

PATRONES





EJEMPLO
 VARIANTE DEL MODELO CORPÓREO M-35.5, CONSISTENTE EN ADICIONAR AL MISMO, SEIS PIRÁMIDES RECTAS, CUADRADAS, DE CARAS VACIADAS, QUE TENGAN POR BASES LAS CARAS CUADRADAS DEL "ARQUIMEDIANO III" GENERADO, Y POR VÉRTICE, LAS PROYECCIONES, SOBRE LA ESFERA CIRCUNSCRITA AL EXAEDRO GENERADOR, DE LOS CENTROS DE LAS CARAS CUADRADAS, DESDE EL CENTRO "O" DEL POLIEDRO GENERADOR

Radio de la esfera circunscrita:

$$r_{ec}^s = 110 \text{ m m.}$$

ENUNCIADO: Construir el modelo corpóreo obtenido al adicionar al modelo M-35.5, seis pirámides rectas, cuadradas, de caras vaciadas, que tengan por bases las caras cuadradas del "Arquimediano III" generado, y por vértices, las proyecciones, sobre la esfera circunscrita al escaedo generador, de los centros de las caras cuadradas, desde el centro "O" del poliedro generador.

Como se deduce del enunciado, ha de construirse previamente un modelo igual al M-35.5, al cual ha de añadirsele seis pirámides rectas de base cuadrada, y de caras vaciadas, cuyo desarrollo y dimensiones estudiamos a continuación.

La altura " h_u " de dichas pirámides, se obtiene como diferencia del radio " r_{ec}^6 " de la esfera circunscrita al escaedo regular convexo generador, y del radio " r_{ei}^{III-4} " de la esfera tangente a las caras cuadradas del Arquimediano generado. Así pues será:

$$h_u = r_{ec}^6 - r_{ei}^{III-4} \quad (1)$$

El radio r_{ec}^6 , se obtuvo en el ejercicio G.E. n°... Lám. 2, en función de la arista " a_6 " del escaedo generador. Su

valor es :

$$r_{ec}^6 = \frac{\sqrt{3}}{2} a_6 \quad (2)$$

el radio " r_{ei}^{III-4} " de la esfera tangente a las caras cuadradas del Arquimediano III, se obtuvo en el ejercicio G.E. n° ... Lámina 35. Su valor, en función de la arista " a_{III} " de dicho Arquimediano, es :

$$r_{ei}^{III-4} = \frac{\sqrt{2}}{2} a_{III} \quad (3)$$

y sustituyendo a_{III} por su valor $\frac{\sqrt{2}}{2} a_6$ (ver fórmula (4) del ejercicio M-35.5, tendremos:

$$r_{ei}^{III-4} = \frac{\sqrt{2}}{2} \times \frac{\sqrt{2}}{2} a_6 = \frac{1}{2} a_6 \quad (4)$$

Sustituyendo en (1) los valores (2) y (4), tendremos:

$$h_4 = r_{ec}^6 - r_{ei}^{III-4} = \frac{\sqrt{3}}{2} a_6 - \frac{1}{2} a_6 = \frac{\sqrt{3}-1}{2} a_6 \quad (5)$$

Sustituyendo en (5) el valor de $a_6 = \frac{2\sqrt{3}}{3} r_{ec}^6$, en función del radio r_{ec}^6 de la esfera circunscrita al escaedro generador (ver fórmula (3) del modelo M-35.5), tendremos

$$h_4 = \frac{\sqrt{3}-1}{2} a_6 = \frac{\sqrt{3}-1}{2} \times \frac{2\sqrt{3}}{3} r_{ec}^6 = \frac{6-2\sqrt{3}}{6} r_{ec}^6 = \frac{3-\sqrt{3}}{3} r_{ec}^6 \quad (6)$$

Para obtener la longitud de la arista " a_6 " de las ca-

ras laterales de las pirámides cuadradas, tendremos en cuenta que " a_4 " es la hipotenusa de un triángulo rectángulo, uno de cuyos catetos es " h_4 ", y el otro es el radio " r_{c-4} " de la circunferencia circunscrita a la cara cuadrada del Arquimédiano III. Así pues, será:

$$a_4 = \sqrt{(h_4)^2 + (r_{c-4})^2} \quad (7)$$

El radio r_{c-4} de la circunferencia circunscrita a un cuadrado, en función de su lado l_4 , es:

$$r_{c-4} = \frac{\sqrt{2}}{2} l_4 \quad (8)$$

(ver fórmula (1) del ejercicio G.P. 1.400-43)

En la fórmula (8), aplicada a este estudio, es $l_4 = a_{III}$, siendo a su vez $a_{III} = \frac{\sqrt{2}}{2} a_6$ (ver fórm. (4), modelo M-35.5) y también $a_6 = \frac{2\sqrt{3}}{3} r_{ec}^6$ (ver fórm. (3), modelo M-35.5) por lo que tendremos:

$$l_4 = a_{III} = \frac{\sqrt{2}}{2} a_6 = \frac{\sqrt{2}}{2} \times \frac{2\sqrt{3}}{3} r_{ec}^6 = \frac{\sqrt{6}}{3} r_{ec}^6 \quad (9)$$

valor que sustituido en (8), nos dará:

$$r_{c-4} = \frac{\sqrt{2}}{2} l_4 = \frac{\sqrt{2}}{2} \times \frac{\sqrt{6}}{3} r_{ec}^6 = \frac{\sqrt{3}}{3} r_{ec}^6 \quad (10)$$

Sustituyendo en (7) los valores (6) y (10), tendremos:

$$\begin{aligned}
 d_4 &= \sqrt{(h_4)^2 + (r_{c-4})^2} = \sqrt{\left[\frac{3-\sqrt{3}}{3} r_{ec}^6\right]^2 + \left[\frac{\sqrt{3}}{3} r_{ec}^6\right]^2} \\
 &= \sqrt{\left(\frac{3-\sqrt{3}}{3}\right)^2 + \left(\frac{\sqrt{3}}{3}\right)^2} r_{ec}^6 = \sqrt{\frac{(3-\sqrt{3})^2 + (\sqrt{3})^2}{9}} r_{ec}^6 = \sqrt{\frac{9+3-6\sqrt{3}+3}{9}} r_{ec}^6 \\
 &= \sqrt{\frac{15-6\sqrt{3}}{9}} r_{ec}^6 = \boxed{\sqrt{\frac{5-2\sqrt{3}}{3}} r_{ec}^6} \quad (11)
 \end{aligned}$$

Las fórmulas (9) y (11) nos permiten calcular los elementos necesarios para el desarrollo lateral de las pirámides cuadradas que se adicionan al modelo M-35.5, para obtener el que se estudia.

Para este caso particular de $r_{ec}^6 = 110 \text{ mm}$, será:

$$d_{III} = l_4 = \frac{\sqrt{6}}{3} \cdot r_{ec}^6 \approx 0.81649658 \dots \times 110 \approx \boxed{89.8 \text{ mm}}$$

7

$$d_4 = \sqrt{\frac{5-2\sqrt{3}}{3}} \cdot r_{ec}^6 \approx 0.715518084 \dots \times 110 \approx \boxed{78.7 \text{ mm}}$$

Para la construcción de este modelo, se precisan las siguientes piezas:

A) MODELO CORPÓREO DEL ADQUIMEDIANO III, OBTENIDO POR TRUNCADURA DE VÉRTICES DE UN EXAE-

Calvar

Junio 1980

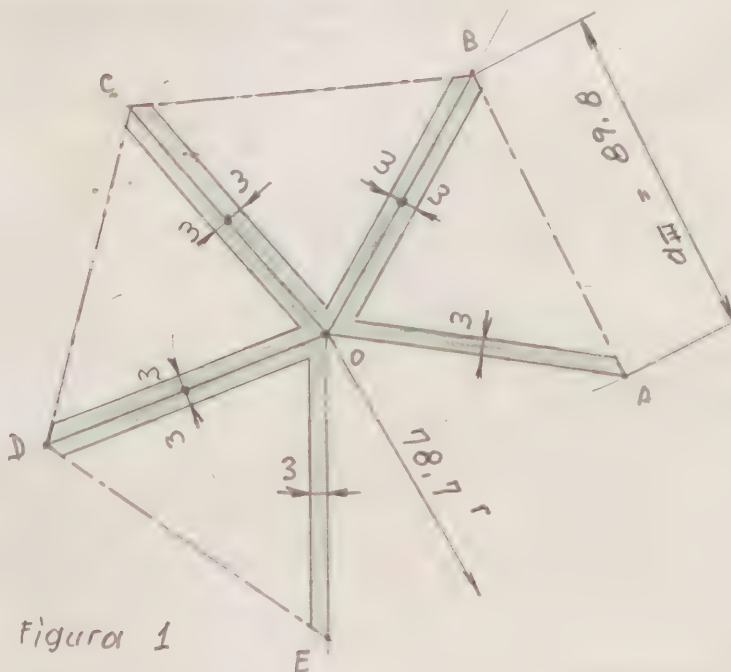
DRO REGULAR CONVEYO, A LA DISTANCIA $\frac{1}{2} d_6 = x$

Piezas 1 al 11, iguales a las del modelo M-35.5

B) PIRÁMIDES RECTAS, CUADRADAS, DE CARAS VACIADAS,
QUE SE ADICIONAN AL MODELO M-35.5

PIEZA N° 12 DESARROLLO LATERAL DE LAS PIRÁMIDES
ADICIONADAS 6 unidades

La forma y dimensiones se detallan en la figura 1.



$$AB = BC = CD = DE = \\ = 89.8 \text{ mm}$$

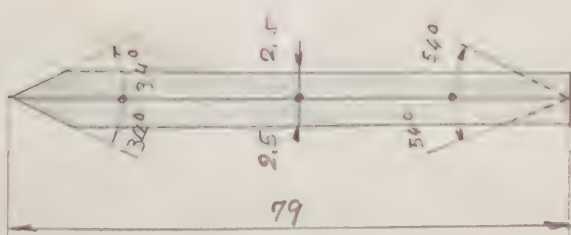
PIEZA N° 12

6 (u)

Figura 1

PIEZA N° 13 UNIONES A RISTAS 24 unidades

La forma y dimensiones se detallan en la figura 2



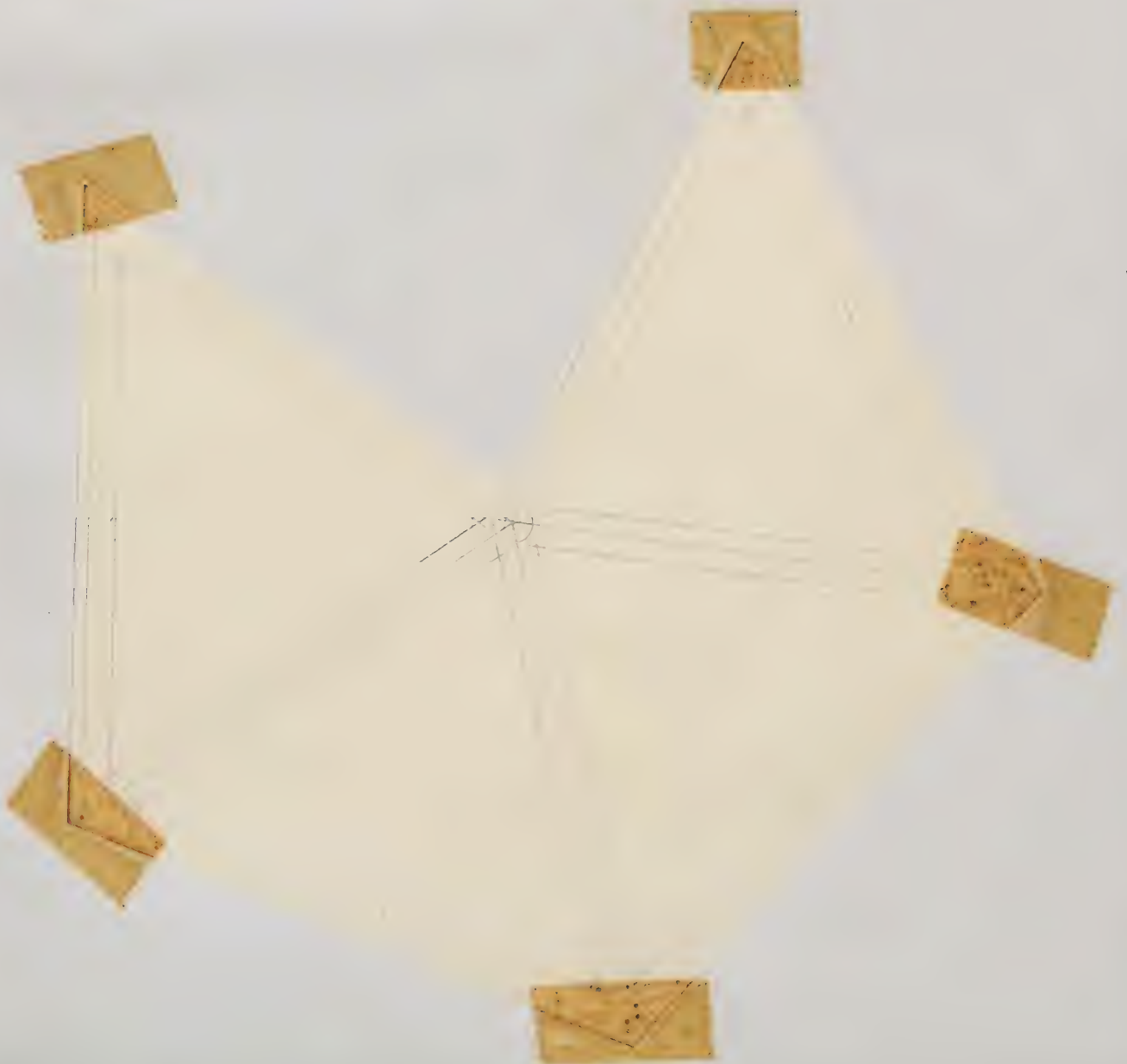
PIEZA N° 13 24 (u)

Figura 2



MODELO M- 35.6

PATRONES



EJEMPLO

MODELO CORPÓREO DEL "ARQUIMEDIANO III" OBTENIDO
 POR TRUNCADURA DE VÉRTICES DE UN OCTAEDRO REGU-
 LAR CONVEXO, DE ARISTA " a_8 ", AL TOMAR SOBRE CA-
 DA ARISTA, Y DESDE SU VÉRTICE, LA DISTANCIA $\frac{1}{2} a_8$.
 EL ARQUIMEDIANO OBTENIDO, SE CONSTRUIRÁ CON LAS
 CARAS MACIZAS, Y EL OCTAEDRO REGULAR GENERA-
 DOR, CON LAS CARAS VACIADAS EN LOS VÉRTICES
 TRUNCADOS.

Radio de la esfera circunscrita al octaedro
 generador:

$$r_{cc}^8 = 110 \text{ mm}$$

ENUNCIADO: Construir el modelo corpóreo del "ARQUIMEDIANO III", obtenido por truncadura de vértices de un octaedro regular convexo, de arista " a_8 ", al tomar sobre cada arista, y desde su vértice, la distancia $x = \frac{1}{2} a_8$. El Arquimedeiano generado se construirá con las caras planas, y el octaedro generador, con las caras vaciadas en los vértices truncados.

DATO ÚNICO DE ESTE EJERCICIO: r_{ec}^8 = radio de la esfera circunscrita al octaedro generador:

$$r_{ec}^8 = 110 \text{ mm}$$

Teniendo presente lo expuesto en las CONSIDERACIONES PREVIAS del modelo M-40.5, en las que se destaca el proceso geométrico denominado TRUNCADURA DE VÉRTICES de los poliedros regulares convexos, y por el que se obtienen muchos de los POLIEDROS ARQUIMEDIANOS, entre los que se encuentra el ARQUIMEDIANO III de este ejercicio, podemos establecer de inmediato las siguientes propiedades del poliedro núcleo que se obtiene por truncadura de vértices del octaedro regular convexo, a la distancia $x = \frac{1}{2} a_8$. El valor de " x " se obtiene por



las condiciones geométricas siguientes, cuando el plano recante produzca:

- a) En las caras del octaedro generador, polígonos regulares convexos de igual (o doble) número de lados que los de las mencionadas caras (en este caso particular, estos polígonos serán triángulos equiláteros, cuyos vértices son los centros de los lados de las caras del octaedro.)
- b) En los ángulos sólidos de los vértices, polígonos regulares convexos de tantos lados como caras concurren en los vértices de dichos ángulos sólidos, y situados en el plano recante (en este caso particular serán "cuadrados").

Así pues: Por la condición a) el poliedro mideo tendrá ocho caras triangulares equiláteras, C_3 sobre las caras del poliedro generador, y

Por la condición b), tendrá también seis caras cuadradas, C_4 sobre el plano recante

Consecuentemente, el poliedro mideo resultante de esta truncadura de vértices, tendrá las siguientes características geométricas:

$$1) \text{ Número de caras triangulares regulares } = 8 C_3$$

$$2) \text{ Número de caras cuadradas } = 6 C_4$$

$$3) \text{ Número de vértices } = \frac{8 \times 3 + 6 \times 4}{4} = 12 V$$

$$4) \text{ Número de aristas } = \frac{8 \times 3 + 6 \times 4}{2} = 24 A$$

$$5) \text{ Número de caras en cada vértice } = 2 C_3 + 2 C_4$$

Así pues, y a la vista de los resultados anteriores, se deduce que el poliedro mides convexo, resultante de la truncadura de vértices en el octaedro regular convexo, es un ARQUIMEDIANO III, estudiado y representado en el ejercicio G.E. n°... :- Lámina 35.

Las conclusiones anteriores justifican el enunciado de este ejercicio

CÁLCULO ANALÍTICO DE LONGITUDES

Pasivamente a la construcción de este modelo, calculamos las siguientes magnitudes en función de r_{ec}^8 ; dato de este ejercicio.

1) Arista " a_8 " del octaedro generador

Se deduce de la fórmula " $r_{ec}^8 = \frac{\sqrt{2}}{2} a_8$ ", obtenida en el ejercicio G.E. n°... :- Lámina 3; despejando en ella " a_8 ", tendremos:



$$a_8 = r_{ec}^8 : \frac{\sqrt{2}}{2} = \frac{2}{\sqrt{2}} r_{ec}^8 = \boxed{\sqrt{2} r_{ec}^8} \quad (1)$$

2) Distancia "x" en la que la truncadura de vértices del octaedro regular convexo, produce el ARQUIMEDIANO III

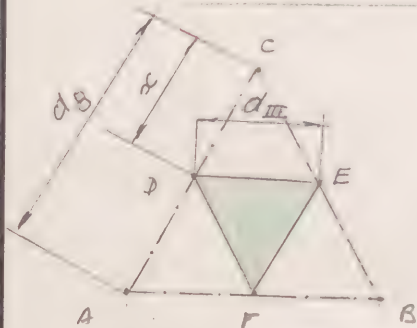


Figura 1

verificándose que $\overline{CD} = \overline{DE} = \frac{1}{2} \overline{CD}$, o sea:

$$x = a_{III} = \frac{1}{2} a_8 \quad \text{de donde se deduce:}$$

$$x = \frac{1}{2} a_8 = \frac{1}{2} \times \sqrt{2} r_{ec}^8 = \boxed{\frac{\sqrt{2}}{2} r_{ec}^8} \quad (2)$$

3) Arista "a_{III}" del ARQUIMEDIANO III

es igual a la distancia "x"

$$a_{III} = \frac{\sqrt{2}}{2} r_{ec}^8 \quad (3)$$

Las fórmulas (1) y (3) aplicadas al modelo estudiado nos dan los siguientes valores numéricos:

$$(1) \quad a_8 = \sqrt{2} r_{ec}^8 \approx 1.414213562... \times 110 \approx \boxed{155.6 \text{ mm}}$$

$$(2) \quad a_{III} = \frac{\sqrt{2}}{2} \Gamma_{oc} \approx 0.70710678 \text{ (unidades)} \times 110 \approx 77.8 \text{ mm}$$

CONSTRUCCIÓN DEL MODELO PROPUESTO

Para la construcción de este modelo son necesarias las siguientes piezas:

A) ARQUIMEDIANO NÚCLEO III DE CARAS MACIZAS

PIEZA N° 1 CARAS LATERALES TRIANGULARES REGULARES

8 unidades

La forma y dimensiones se detallan en la figura 2

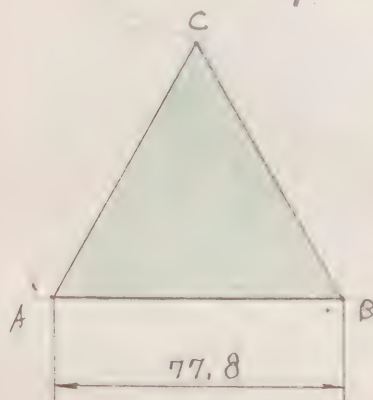


Figura 2

PIEZA N° 1 8 (u)

Figura 2

PIEZA N° 2 CARAS LATERALES CUADRADAS 6 unidades

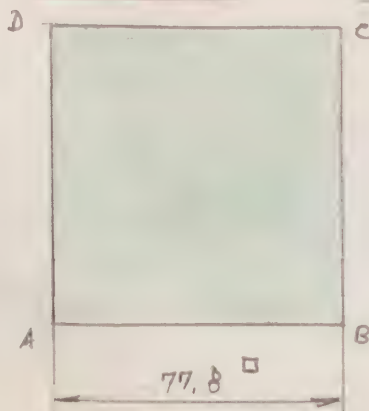


Figura 3

La forma y dimensiones se detallan en la figura 3

PIEZA N° 2 6 (u)

Figura 3

PIEZA N° 3 REFUERZO NORMAL EN CARAS TRIANGULARES RE-
GULARES 8 unidades

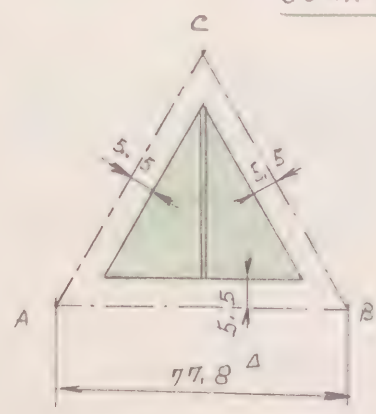


Figura 4

La forma y dimensiones se deducen de las del triángulo ABC de la figura 2, y se detallan en la figura 4

PIEZA N° 3 8 (u)

Figura 4

PIEZA N° 4 REFUERZO NORMAL EN CARAS CUADRADAS

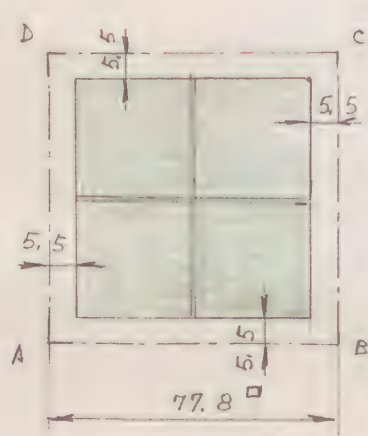


Figura 5

La forma y dimensiones se deducen de las del cuadrado ABCD de la figura 3, y se detallan en la figura 5

PIEZA N° 4 6 (u)

Figura 5

PIEZA N° 5 REFUERZO TRANSVERSAL EN CARAS TRIANGULA-
RES REGULARES 16 unidades

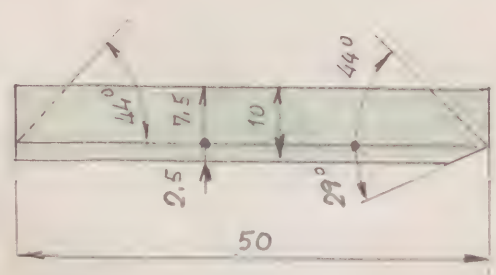


Figura 6

La forma y dimensiones se detallan en la figura 6; su colocación, en la figura 4

PIEZA N° 5 16 (u)

Figura 6



PIEZA N° 6

REFUERZO TRANSVERSAL EN CARAS CUADRADAS

24 unidades

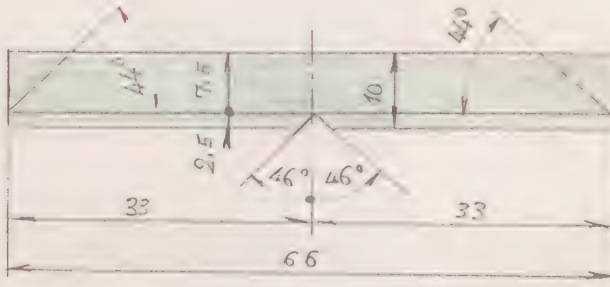


Figura 7

La forma y dimensiones se detallan en la figura 7; su colocación, en la figura 5.

PIEZA N° 6 24(u)

Figura 7

PIEZA N° 7

UNIONES ARISTAS

24 unidades

La forma y dimensiones se detallan en la figura 8

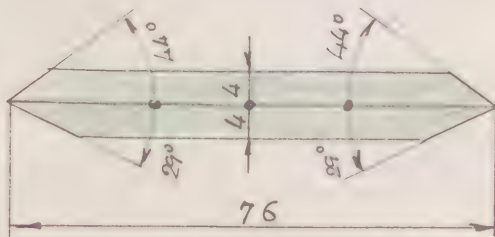


Figura 8

PIEZA N° 7 24(u)

Figura 8

PIEZA N° 8

FORRO COLOREADO EN CARAS TRIANGULARES REGULARES

8 unidades

La forma y dimensiones se deducen de las del triángulo ABC de la figura 2 y se detallan en la figura 9.

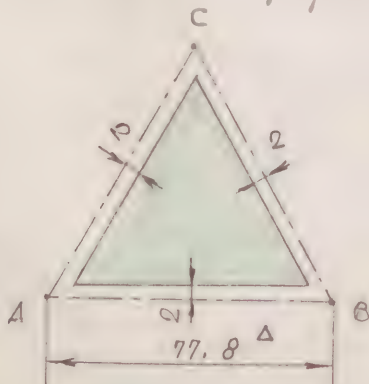


Figura 9

PIEZA N° 8 8(u)

Figura 9



PIEZA N° 9 FORRO COLOREADO EN CARAS CUADRADAS

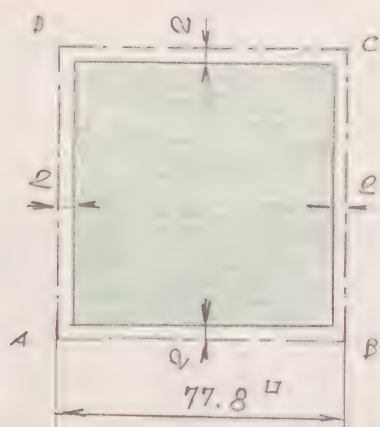


Figura 10

6 unidades

La forma y dimensiones se deducen de las del cuadrado ABCD de la figura 3, y se detallan en la figura 10

PIEZA N° 9 6 (u)

Figura 10

B) OCTAEDRO GENERADOR DE CARAS VACIADAS

Queda reducido a seis pirámides regulares, rectas, de base cuadrada, cuyo desarrollo es el siguiente:

PIEZA N° 10 DESARROLLO LATERAL DE LAS SEIS PIRÁMIDES
TRUNCADAS

6 unidades

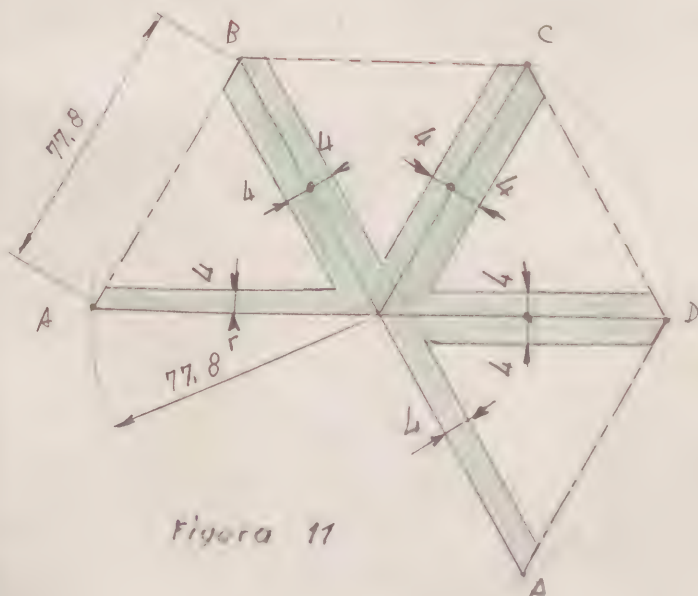


Figura 11

La forma y dimensiones se detallan en la figura 11.

PIEZA N° 10

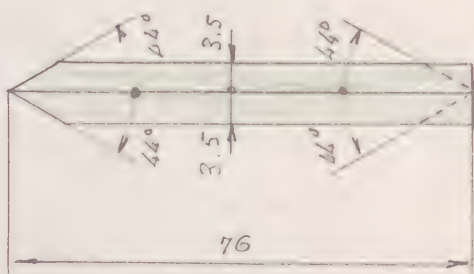
8 (u)

Figura 10



PIEZA N° 11 UNIONES ARISTAS 32 unidades

La forma y dimensiones se detallan en la figura 12



PIEZA N° 11 24 (u)

Figura 12

Figura 12



MODELO M-35.7

PATRONES

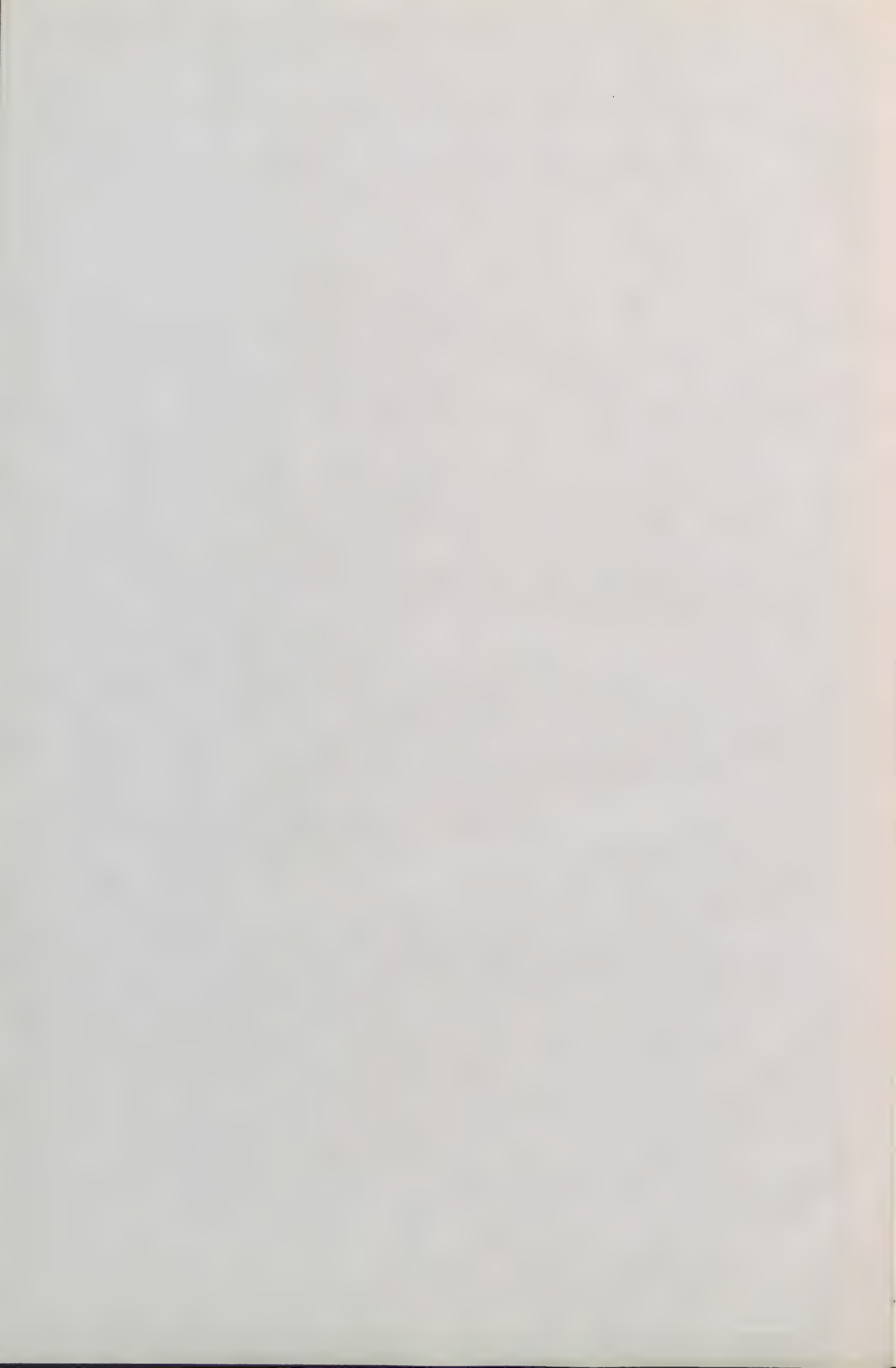


CONSTITUCIÓN

VARIANTE DEL MODELO CORPÓREO M-35,7, CONSIS-
TENTE EN ADICIONAR AL MISMO, OCHO PIRÁMIDES
RECTAS, TRIANGULARES, REGULARES, DE CARAS VACIA-
DAS, QUE TENGAN POR BASES LAS CARAS TRIANGU-
LARES DEL "ARQUIMEDIANO III" GENERADO, Y POR VÉR-
TICES, LAS PROYECCIONES, SOBRE LA ESFERA CIRCUNSC-
RITA AL OCTAEDRO GENERADOR, DE LOS CENTROS DE
LAS CARAS TRIANGULARES, DESDE EL CENTRO DEL
POLIEDRO GENERADOR "0".

Radio de la esfera circunscrita:

$$r_{cc}^0 = 110 \text{ m m.}$$



ENUNCIADO: Construir el modelo corpóreo obtenido al adicionar al modelo M-35.7, ocho pirámides rectas, triangulares, regulares, de caras vaciadas, que tengan por bases las caras triangulares del "Arquimédiano III" generado, y por vértices las proyecciones, sobre la esfera circunscrita al octaedro generador, de los centros de las caras triangulares, desde el centro "O" del poliedro generador.

Como se deduce de este enunciado, ha de constanciarse previamente un modelo igual al M-35.7, al cual ha de añadirsele ocho pirámides rectas de base triangular, regular, y de caras vaciadas, cuyo desarrollo y dimensiones estudiamos a continuación.

La altura " h_3 " de dichas pirámides, se obtiene como diferencia del radio " r_{ec}^8 " de la esfera circunscrita al octaedro regular convexo generador, y del radio " r_{ei}^{III-3} " de la esfera tangente a las caras triangulares del Arquimédiano III generado. Así pues, será:

$$h_3 = r_{ec}^8 - r_{ei}^{III-3} \quad (1)$$

El radio r_{ec}^8 , se obtuvo en el ejercicio G.E. n.º... - Lámina 2,

en función de la arista " a_8 " del octaedro generador. Su valor es:

$$\boxed{r_{ec}^8 = \frac{\sqrt{2}}{2} a_8} \quad (2)$$

El radio " r_{ei}^{III-3} " de la esfera tangente a las caras triangulares del Arquimédiano III, se obtuvo en el ejercicio G.E. n°----- Lámina 35. Su valor, en función de la arista " a_{III} " de dicho Arquimédiano, es:

$$\boxed{r_{ei}^{III-3} = \frac{\sqrt{6}}{3} a_{III}} \quad (3)$$

y sustituyendo a_{III} por su valor $\frac{1}{2} a_8$ (ver fórmula (2) del ejercicio M-35.7, tendremos:

$$\boxed{r_{ei}^{III-3} = \frac{\sqrt{6}}{3} \times \frac{1}{2} a_8 = \frac{\sqrt{6}}{6} a_8} \quad (4)$$

Sustituyendo en (1) los valores (2) y (4), tendremos:

$$\boxed{h_3 = r_{ec}^8 - r_{ei}^{III-3} = \frac{\sqrt{2}}{2} a_8 - \frac{\sqrt{6}}{6} a_8 = \frac{3\sqrt{2} - \sqrt{6}}{6} a_8} \quad (5)$$

Sustituyendo en (5) el valor de $a_8 = \sqrt{2} r_{ec}^8$, en función del radio r_{ec}^8 de la esfera circunscrita al octaedro generador (ver fórmula (1) del modelo M-35.7), tendremos:

$$\boxed{h_3 = \frac{3\sqrt{2} - \sqrt{6}}{6} a_8 = \frac{3\sqrt{2} - \sqrt{6}}{6} \times \sqrt{2} r_{ec}^8 = \frac{6 - 2\sqrt{3}}{6} r_{ec}^8 = \frac{3 - \sqrt{3}}{3} r_{ec}^8} \quad (6)$$



Para obtener la longitud de la arista " a_3 " de las caras laterales de las pirámides triangulares, tendremos en cuenta que " a_3 " es la hipotenusa de un triángulo rectángulo, uno de cuyos catetos es " h_3 " y el otro es el radio " r_{c-3} " de la circunferencia circunscrita a la cara triangular regular del Arquimediano III. Así pues será:

$$a_3 = \sqrt{(h_3)^2 + (r_{c-3})^2} \quad (7)$$

El radio r_{c-3} de la circunferencia circunscrita a un triángulo equilátero, en función de su lado l_3 , es (ver fórmula (2) del ejercicio G.P. 1.400-4):

$$r_{c-3} = \frac{\sqrt{3}}{3} l_3 \quad (8)$$

En la fórmula (8), aplicada a este estudio, es $l_3 = a_{III}$, siendo a su vez $a_{III} = \frac{1}{2} a_8$, y también $a_8 = \sqrt{2} r_{ec}^8$ (ver fórmula (2) del modelo M-35.7), por lo que sustituyendo valores, tendremos:

$$l_3 = a_{III} = \frac{1}{2} a_8 = \frac{1}{2} \times \sqrt{2} \times r_{ec}^8 = \frac{\sqrt{2}}{2} r_{ec}^8 \quad (9)$$

valores que sustituido en (8), nos dará:

$$r_{c-3} = \frac{\sqrt{3}}{3} l_3 = \frac{\sqrt{3}}{3} \times \frac{\sqrt{2}}{2} r_{ec}^8 = \frac{\sqrt{6}}{6} r_{ec}^8 \quad (10)$$

Sustituyendo en (7) los valores (6) y (10), tendremos:

$$\begin{aligned}
 a_3 &= \sqrt{(h_3)^2 + (r_{c-3})^2} = \sqrt{\left[\frac{3-\sqrt{3}}{3} r_{ec}^8\right]^2 + \left(\frac{\sqrt{6}}{6} r_{ec}^8\right)^2} = \\
 &= \sqrt{\left(\frac{3-\sqrt{3}}{3}\right)^2 + \left(\frac{\sqrt{6}}{6}\right)^2} r_{ec}^8 = \sqrt{\frac{(3-\sqrt{3})^2}{9} + \frac{6}{36}} r_{ec}^8 = \\
 &= \sqrt{\frac{(9+3-6\sqrt{3})}{9} + \frac{1}{6}} r_{ec}^8 = \sqrt{\frac{6 \times (12-6\sqrt{3}) + 9}{54}} r_{ec}^8 = \\
 &= \sqrt{\frac{2 \times (12-6\sqrt{3}) + 3}{18}} r_{ec}^8 = \sqrt{\frac{24-12\sqrt{3}+3}{18}} r_{ec}^8 = \sqrt{\frac{27-12\sqrt{3}}{18}} r_{ec}^8 = \\
 &= \left[\sqrt{\frac{9-4\sqrt{3}}{6}} r_{ec}^8 \right] \quad (11)
 \end{aligned}$$

Las fórmulas (9) y (11) nos permiten calcular los elementos necesarios para el desarrollo lateral de las pirámides triangulares que se adicionan al modelo M-35.7, para obtener el que se estudia.

Para este caso particular, es $r_{ec}^8 = 110 \text{ mm}$, y por consiguiente:

$$a_{III} = l_3 = \frac{\sqrt{2}}{2} r_{ec}^8 \approx 0.707106781... \times 110 \approx 77.8 \text{ mm}$$

$$a_3 = \sqrt{\frac{9-4\sqrt{3}}{6}} r_{ec}^8 \approx 0.587621869... \times 110 \approx 64.6 \text{ mm}$$

Para la construcción de este modelo se precisan las siguientes piezas:



A) MODELO CORPÓREO DEL ARQUIMEDIANO III, OBTENIDO POR TRUNCADURA DE VÉRTICES DE UN OCTAEDRO REGULAR CONVEXO A LA DISTANCIA $x = \frac{1}{2} a_8$

Piezas 1 al 11, iguales a las del modelo M-35.7

B) PIRÁMIDES RECTAS, TRIANGULARES REGULARES, DE CARAS VACIADAS QUE SE ADICIONAN AL MODELO M-35.7.

PIEZA N° 12 DESARROLLO LATERAL DE LAS PIRÁMIDES ADICIONADAS 8 unidades

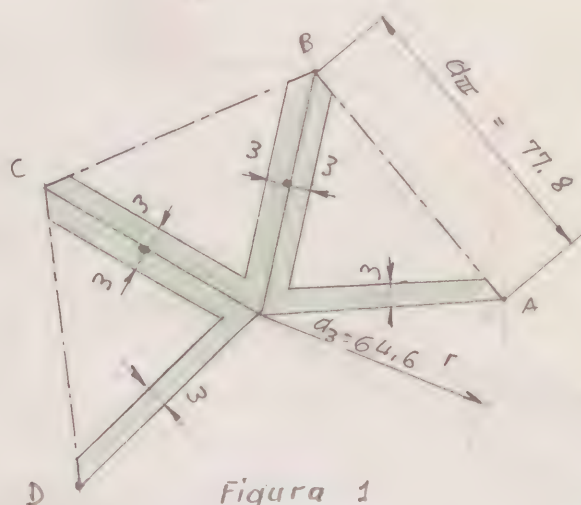


Figura 1

La forma y dimensiones se detallan en la figura 1

$$AB = BC = CD = 77.8 \text{ mm}$$

PIEZA N° 12 8(u)

Figura 1

PIEZA N° 13 UNIONES ADISTAS 24 unidades

La forma y dimensiones se detallan en la figura 2

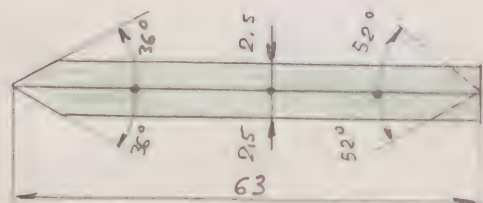


Figura 2

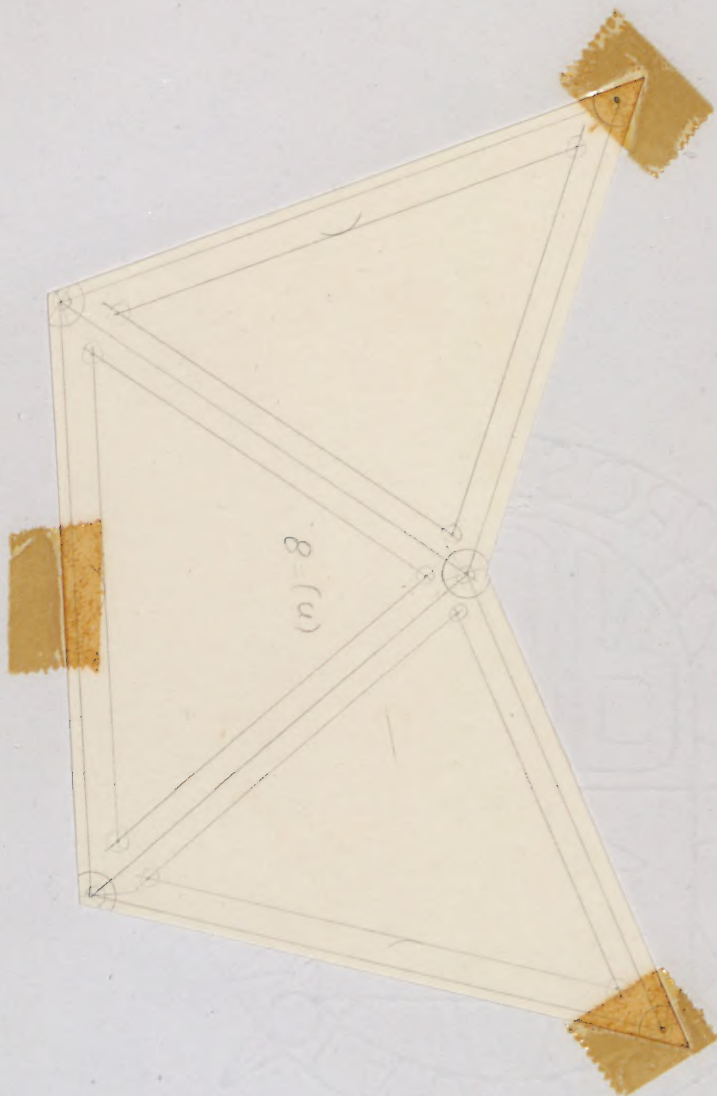
PIEZA N° 13

24 (u)

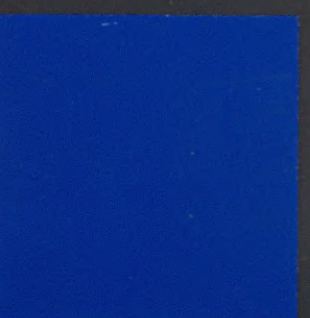
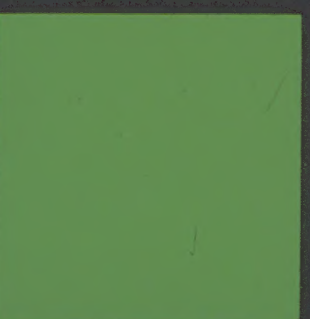
Figura 2

MODELO M - 35.8

PATRONES



colorchecker CLASSIC



calibrite